

KOZMAOS

4

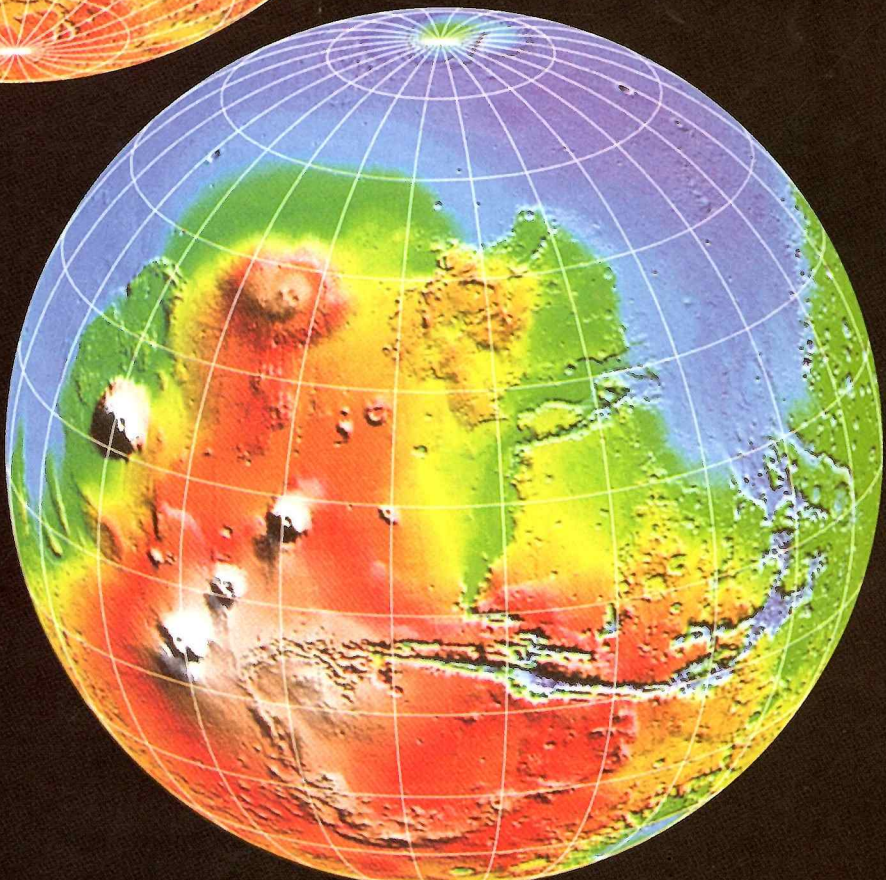
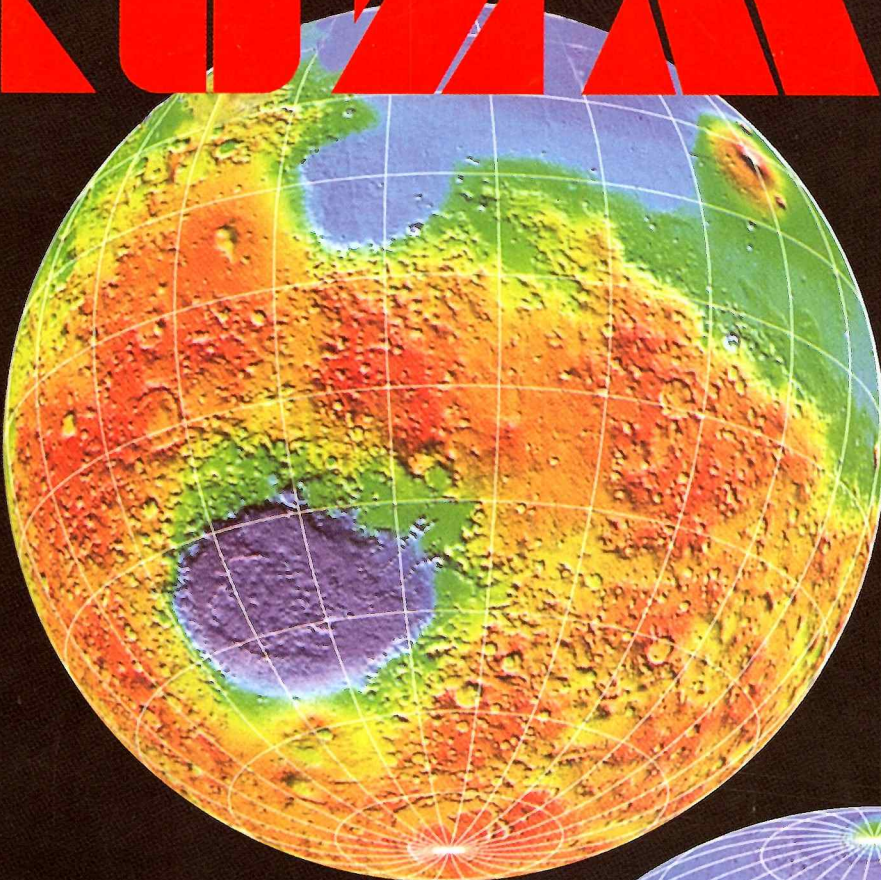
1999
ROČNÍK XXX.
Sk 25,-

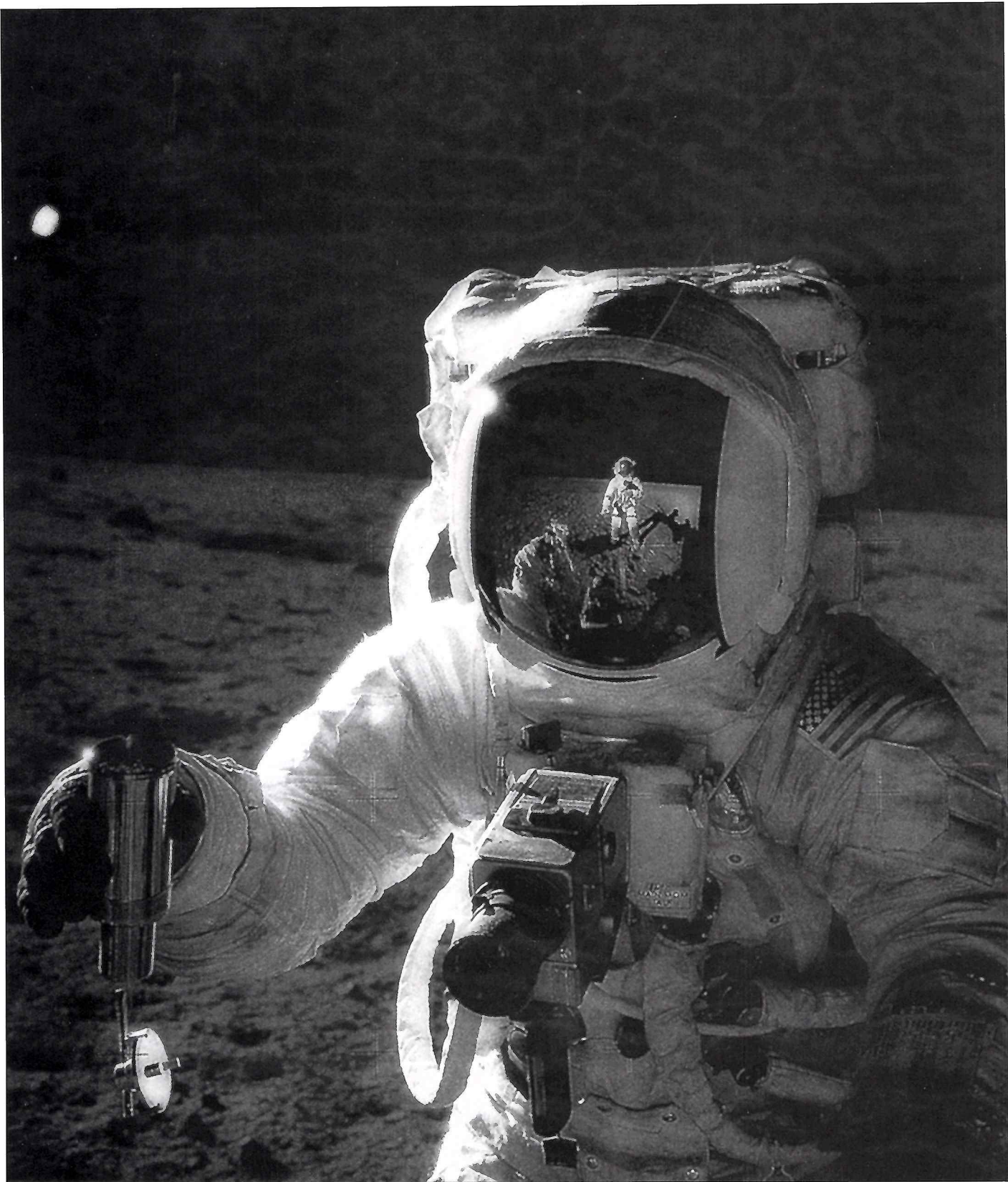
Senzačná
mapa
Marsu

Úplné
a prstencové
zatmenia Slnka
u nás od čias
Samovej ríše

V zajatí
čiernej diery

Žeň objevů





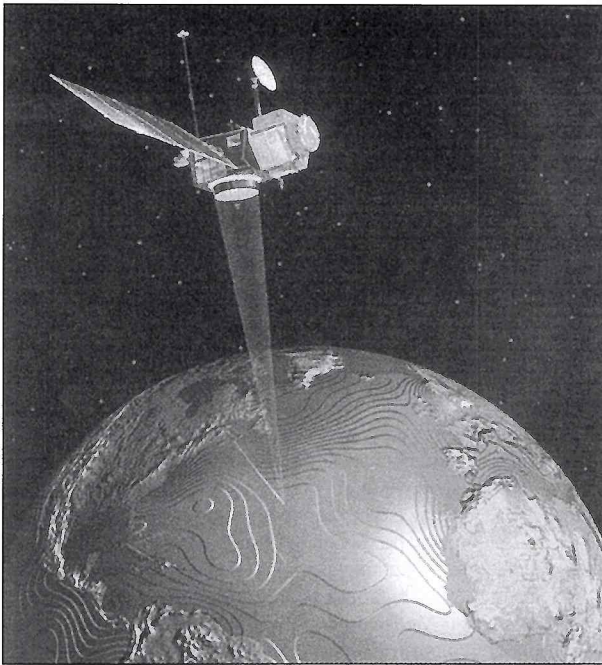
Vraciame sa na Mesiac

Už tridsať rokov uplynulo od chvíle, keď na povrch Mesiaca vystúpil prvý pozemštan, Američan Neil Armstrong. NASA pri príležitosti toho jubilea uvoľnila z depozitov viaceré, doteraz nepublikované fotografie. Autorom snímky, ktorú uverejňujeme je nedávno zosnulý Charles Conrad, kapitán lode Apollo 12, ktorý zvečnil svojho kolegu Alana Beanu vo chvíli, keď špeciálnym prístrojom deteguje zloženie lúrneho regolitu tesne pod rovníkom na pláňach, medzi krátermi Landsberg a Fra Mauro, kde pristala aj automatická sonda Surveyor a neskôr i pristávací modul Apolla 14. Autora snímky vidíte na priezore kukly Beanovho skafandra. V jednom z budúcih čísel uverejníme materiály o „Veľkom návrate na Mesiac“, ktorý by mal vyvrcholiť v polovici prvej dekády budúceho tisícročia.

TÉMY ČÍSLA



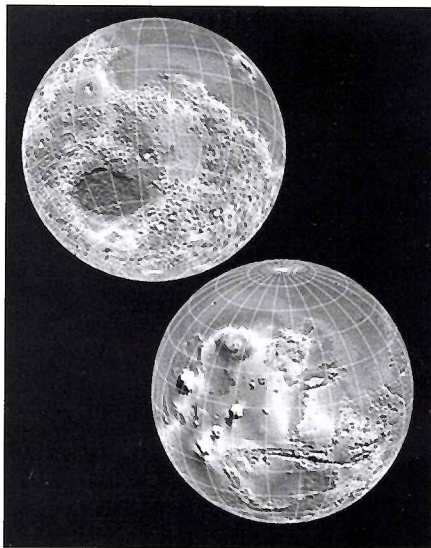
- 2 Rotujúci priestor
- 3 V zajatí čiernej diery /
/ Thomas Bührke
- 6 Výprava do čiernej diery /
/ Rüdiger Vass
- 7 Astronomické otázky a odpovede / Pripravuje A. Kulinová
- 8 MARS
- Senzačná mapa Marsu / Bernice Wuethrich; Magnetické pruhy uchovali záznam o starom Marse (str. 10); O planetárnom magnetizme (str. 10); Život v meteorite z Marsu (str. 11)
- 13 GALILEO
- Io očami HST; Objav chlóru pri Io; Život na Europe je nepravdepodobný; Drvina po impaktoch v okolí Ganymeda (str. 14)
- 16 Žen objevů 1998 (XXXIII.) / Jiří Grygar
- 20 Úplná a prstencová zatmení Slunce u nás odoby Samovy říše / Jindřich Šilhán, kresby mapiek Ján Mánek
- 27 El Niño 97–98 skončilo. Ať žije La Niña 98–99! /
/ Jaroslav Klokočník



- 27 Súhvezdia letnej oblohy / Beata a Peter Zimníkovcovci

obálka

Topografia Marsu, ktorú vyslala sonda Mars Global Surveyor 15. apríla 1999 na základe údajov z výškomera Mars Orbiter Laser Altimeter (MOLA). Na hornej snímke dominuje impaktný bazén Hellas (priemer 2300 km), na dolnej vulkanická Oblasť Tharsis a Valles Marineris. (MIT a Goddard Space Flight Center).



RUBRIKY

- 15 SLNEČNÁ AKTIVITA
April – máj 1999 / Milan Rybanský
- 25 TECHNICKÉ OKIENKO
Konštrukcia dalekohľadu Ritchey-Chrétien pre náročného amatéra-astronóma / František Závodský
- 29 POZORUJTE S NAMI
Obloha v kalendári (august – september 1999) / Pavol Rapavý, Jiří Dušek; Kalendár úkazov (august – september) a výročí (str. ?)
- 33 NIELEN PRE ZAČIATOČNÍKOV
Stránka pre začínajúcich astronómov (3) / Milan Rybanský
- PODUJATIA
Stellarý seminár Bezovec '99 / Zdeněk Komárek (str. 26)
Letná škola v Nórsku / Alena Kulinová (str. 35)
Testovanie teleskopov MEADE v Sobotišti / František Závodský (str. 36)

AKTUALITY

- 2. ob. Kométa Hale-Bopp: ešte vždy obrovská
- 2 Mesiac má jadro
- 15 Astronómovia našli najchladnejších slnečných susedov; Nový typ polárnej žiary; Rozpad guľových hviezdomôp
- 36 CO z Hale-Bopp odhaluje pôvod kométy

CONTENTS

Rotating Space	2
Enigmatic Face of Black Holes.....	3
New Map of Mars.....	8
Finishing Galileo.....	13
Astronomical Highlights	16
El Niño, La Niña.....	27

Vydáva: Slovenská ústredná hvezdáreň v Hurbanove, Národné metodické centrum. Adresa vydavateľa: Slovenská ústredná hvezdáreň, 947 01 Hurbanovo, tel. 0818/760 24 84, fax 0818/760 24 87. Za vydavateľa zodpovedný: Ing. Teodor Pintér. • **Redakcia:** Eugen Gindl – šéfredaktor, Milan Lackovič – grafický redaktor, Alena Kulinová – redaktorka, Lýdia Priklerová – sekretár redakcie, Mária Štefánková – jazyková redaktorka. Adresa redakcie: Konventná 19, 811 03 Bratislava, tel./fax 07/544 141 33, e-mail kozmos@netlab.sk. • **Redakčný kruh:** doc. RNDr. Mária Hajduková, CSc., RNDr. Ladislav Hric, CSc., RNDr. Drahomír Chochol, CSc., doc. RNDr. Ladislav Kulčák, CSc., RNDr. Bohuslav Lukáč, CSc., RNDr. Zdeněk Mikulášek, CSc., RNDr. Daniel Očenáš, RNDr. Pavol Rapavý, RNDr. Ján Svoření, DrSc., RNDr. Juraj Zverko, DrSc. Predseda redakčného kruhu: RNDr. Milan Rybanský, DrSc. • **Tlač:** Tlačiareň GARMOND a. s., ul. gen. Svobodu 1099/58, 958 30 Partizánske, tel. 0815/493 111. • **Vychádzka:** 6x do roka. Neobjednané rukopisy nevraciam. Cena jedného čísla 25,- Sk/Kč. Pre abonentov ročne 120,- Sk/Kč vrátane poštovného. Rozšíruje Poštová novinová služba – voľný predaj, Ústredná expedícia a dovoz tlače, Pribinova 25, 813 81 Bratislava. **Predplatiteľ:** V Čechách A.L.L. Productions, P. O. Box 732, 110 00 Praha 1, tel. 663 114 38, na Slovensku L. K. Permanent, Hattalova 12, 831 03 Bratislava, tel. 44 453 711. Podávanie novinových zásielok povolené Riadiťstvom poštovéj prepravy Bratislava, pošta 12, pod číslom 152/93. V Čechách rozšíruje A. L. L. Productions, P. O. Box 732, 110 00 Praha 1. Podávanie novinových zásielok v Čechách bolo povolené Českou poštom, s.p. OZSeC Ústí nad Labem, 19. 1. 1998, pod číslom P-291/98. Indexné číslo: 498 24. Reg. číslo: 9/8. © Ministerstvo kultúry SR, Bratislava 1998. Zadané do tlače 26. 7. 1999

ISSN 0323 – 049X

Mesiac má jadro

Po vyhodnotení údajov, nazbieraných počas éry lunárnych misií Apollo dospeli vedci k názoru, že Mesiac (s najväčšou pravdepodobnosťou) nemá tvrdé, na železo bohaté jadro. V posledných mesiacoch však názor zmenili: na základe viacerých, veľmi odlišných pozorovaní a meraní, vysvetlovali, že Mesiac tvrdé, železité jadro má.

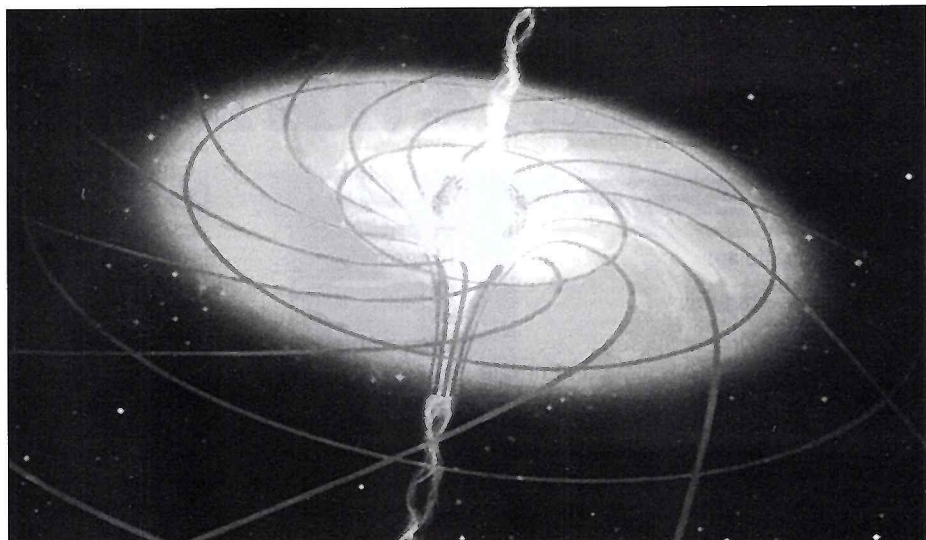
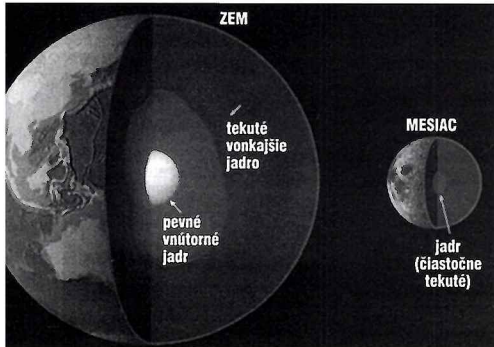
Významné údaje dodala sonda Lunar Prospector, ktorá z výšky 100 kilometrov dôkladne zmapovala gravitačné pole Mesiača; údaje spresnili predstavy o štruktúre mesačného vnútra. Alex S. Konovalov, pracovník Jet Propulsion Laboratory už dávnejšie vyslovil podozrenie, že mesačné jadro predstavuje 1 až 4 percenta hmotnosti Mesiača. Ak by bolo jadro z čistého železa, malo by priemer od 440 do 900 kilometrov.

Iná skupina študovala magnetické pole, ktoré sa indukuje v čase, keď sa Mesiac pravidelne, (každý mesiac), ocitne v dosahu zemskej magnetosféry. Toto indukované magnetické pole je však veľmi slabé, a tak ho možno detegovať iba priamo na mesačnom povrchu, alebo zo sondy na blízkej obežnej dráhe, aj to iba v prípade, ak je pole stabilné. Táto technika sa po prvýkrát použila začiatkom 70. rokov, keď na lunárnu obežnú dráhu boli vypustené (z lodí Apollo 15 a 16) dva mikrosatelia. Až sonda Lunar Prospector sa však podarilo získať údaje, z ktorých vedci z University of Arizona vypočítali, že priemer mesačného jadra je medzi 600 a 850 kilometrami.

Tretí tím sa sústredil na presné meranie lunárnych librácií, ktoré sa, vďaka laserovým lúčom zo špeciálnych reflektorov, (na palube sovietskych sond – landerov i rozmiestnených na povrchu astronautami z lodi Apollo), podarilo určiť s presnosťou niekoľkých centimetrov. Libracie do istej miery spôsobujú slapové sily, prejavujúce sa na povrchu Mesiača, ako dôsledok jeho obiehania Zeme, ale má na ne vplyv existencia jadra, ktoré nemá viač ako 700 km a do istej miery je tekuté. Roztavené železné jadro by malo mať teplotu pri najmenšom 1660 stupňov Celzia. Isté množstvo sýra a niklu v železnej tavenine by pod topenia znížilo na 1000 stupňov Celzia, čo je podľa vedcov teplota, primeraná ostatným parametrom Mesiača. Jadro s obsahom 2 až 3 percent lunárnej hmotnosti dokazuje vznik Mesiača ako vedľajšieho produkta ozrutného impaktu, ktorý vymrštil do kozmickej priestoru časť zemskej kôry a plášta. Jadro Zeme predstavuje 32 percent hmotnosti našej planéty. Ak by obe telesá vznikli nezávisle na sebe, museli by mať oveľa podobnejšie zloženie i prametre jadier.

Podľa internetových stránok NASA – eg-

Priemer mesačného jadra tvorí pätninu priemera mesačného telesa. (Jadro Zeme má priemer 7000 km, 55 % priemeru planéty.)



Einsteinova teória relativity predpovedala, že rotujúca hmota strháva so sebou aj okolity priestor, rovnako ako mixér hustý koktail. Iba nedávno sa vedcom podarilo dokázať, že tento efekt sa v prírode naozaj vyskytuje.

Rotujúci priestor

Prednedávnom vedci po prvý raz dokázali, že niektoré čierne diery rotujú. To potvrzuje predpovede všeobecnej teórie relativity: čierne diery, otáčajúce sa okolo svojej osi, strhávajú so sebou aj okolity priestor.

– Donedávna sme dokázali zmerať iba polohu a hmotnosť čiernej diery. Dnes dokážeme určiť aj jej moment hybnosti, – vráví Shuang Nan Zhang z Marshall Space Flight Center pri NASA v alabamskom meste Huntsville. – Podľa teórie relativity má každá čierna diera tzv. poslednú stabilnú obežnú dráhu. Hmota, ktorá klesne pod ňu, dostane sa definitívne do moci čiernej diery. Vzdialenosť poslednej stabilnej obežnej dráhy závisí od rýchlosťi rotácie čiernej diery; túto rýchlosť môžeme určiť, ak sa nám podarí zmerať rýchlosť, ktorou sa hmota okolo čiernej diery pohybuje.

Spolu so svojím kolegom Wei Cui z Massachusetts Institute of Technology vyhodnotil Zhang údaje z troch röntgenových satelitov: amerického RXTE, nemeckého Rosatu a japonského ASCA. Vedci takto preskúmali približne tučet spoloahlivo identifikovaných čiernych diier v našej Galaxii, ktorých hmotnosť troj- až tridsaťnásobne prevyšuje hmotnosť nášho Slnka. Výsledok: niektoré z týchto čiernych diier sa otáčajú pomaly, niekoľko nerotuje vôbec. Dve čierne diery sa však otáčajú okolo vlastnej osi neuveriteľnou rýchlosťou.

– Meranie rýchlosťi rotácie čiernej diery je mimoriadne dôležité, – vráví Mario Livio zo Space Telescope Science Institute v Baltimore. – Nielen kvôli tomu, že takto dokážeme spoloahlivo určiť, kolko hmoty čierna diera počas svojho života nasaže, ale aj to, do akej miery súvisí moment hybnosti s výtryskmi, ktoré v spojitosti s nimi pozorujeme.

Zhang je presvedčený, že prišiel na to, kde je pes zakopaný: – Obe „bláznive“ čierne diery neustále vyrhujú do okolitého priestoru prúdy vysokoenergetických častic, ktoré pozorujeme ako výtrysky, „džety“. Ich rýchlosť približne zodpovedá rýchlosťi rotácie materských čiernych diier.

Neobyčajne presné merania satelitu RXTE umožňujú astronómom určiť, akú rýchlosť dosiahne rotujúca hmota okolo čiernej diery skôr, ako ju tá prehlne. Tím Wei Cuiho objavil prav-

delné výkyvy intenzity uvoľneného röntgenového žiarenia.

Tieto pozorovania priviedli vedcov roku 1997 na stopu ešte bizarrejšieho fenoménu: prachoplynové disky okolo oboch „rýchlych“ čiernych diier vykazujú periodický pohyb, ktorý hvezdári nazývajú precesiou. To znamená, že os, okolo ktorej sa otáčajú, nie je stabilná, ale sama sa pohybuje okolo inej osi.

Na tom by ešte nebolo nič neobyčajné. Podobne sa správa aj naša Zem, ktorej póly, premietnuté na pozadie, opisú na oblohe počas 25 800 rokov dokonalý kruh. Pri oboch rotujúcich čiernych diierach je však precesia oveľa silnejšia: os disku čiernej diery GRS 1915+105 sa otočí 67-krát za sekundu, os disku čiernej diery J1655-40 dokonca 300-krát za sekundu.

Tento objav sa dá vysvetliť iba tak, že priestor okolo čiernej diery je jej rotáciou strhávaný rovnako ako voda, v ktorej víri habarka. Tento úkaz predpovedali už roku 1918 Joseph Lense a Hans Thirring na základe Einsteinovej všeobecnej teórie relativity. Na počesť oboch rakúskych hvezdárov nazvali tento úkaz Lense-Thirrigovým efektom.

Cuiho objav po prvý raz dokázal, že tento efekt v prírode naozaj existuje. – Pozorovanie je nádherné, – nadchýna sa Cui. – Z tohto aspektu Einsteinovu teóriu doteraz nikto nepreveroval. Tento objav čierne diery poľudštil: vo svetle nových objavov prestávajú byť exotickými objektmi, ale čoraz významnejšími pomocníkmi hvezdárov, ktorí sa usilujú bizarné vlastnosti prírody odhalovať.

Medzičasom sa aj dvom talianskym astronómom z Rímskej univerzity podarilo na základe meraní satelitu RXTE objaviť príznaky rotujúceho priestoru v okolí jednej neutrónovej hviezdy. Luigi Stella a Mario Vietri inšpirovali aj svojich kolegov, ktorí pod vedením Ignazia Ciufoliniho objavili podobný efekt dokonca na obežných dráhach satelitov LAGEOS! Lense-Thirringove efekty v blízkom i vzdialom vesmíre bude vyladávať aj satelit Gravity Probe B, ktorý vypustia v roku 2000. Jeho úlohou je najmä testovanie teórie relativity. Podaktorí astronómovia sa nazdávajú, že tento satelit začne fungovať už s krížkom po funuse.

V zajatí čiernej diery



Aké veľké sú čierne diery?

Na začiatku to bola iba hypotéza teoretikov spoza písacieho stola; ak sa nabalí isté kritické množstvo hmoty do jediného balíka, musí hmota nevyhnutne a nezadržateľne kolabovať, až kým sa nevytvorí superhustý, tmavý objekt. Tento hypotetický, dlho nepomenovaný objekt deštruuje v dosahu svojej gravitácie všetky okolité telesá a ich triest, spolu s medzhviezdnym prachom a plynom, nasáva ako ozrutný vysávač do svojho vnútra. Astrofyzici tento spočiatku iba virtuálny objekt pomenovali „čierna diera“. Táto poetická metafora vyplynula z úvahy, že gravitácia týchto superhustých objektov musí nabalovať aj fotóny viditeľného svetla, takže by mala byť neviditeľná. Ba čo viac: gravitačná sila čiernej diery by mala deformovať aj okolity časopriestor.

V posledných rokoch objavili astronómovia zvláštne objekty, ktorých vlastnosti zodpovedajú vlastnostiam gravitačných pascí vymyslených teoretikmi. Hvezdárov do istej miery prekvapuje, že počet čiernych dier je oveľa väčší, ako predpokladali. Objavujú ich ako na bežacom páse; od malých čiernych dier, ktoré vznikli krátko po big bangu, cez stelárne čierne diery, ktoré vznik-

li po kolapse obrích hviezd, až po čierne diery v strede niektorých galaxií, ktoré majú hmotnosť niekoľkých miliónov Slnk.

Čierne diery sa stali oblúbeným objektom astronómov; zakaždým, keď objavia vo vesmíre nevysvetliteľné úkazy, kde sa prejavujú gigantické hmotnosti a energie, často ich zdôvodňujú existenciou čiernych dier. A skoro vždy sa ukáže,

Velkosť čiernej diery určuje Schwarzschildov polomer. Ten vymedzuje uzavretý vesmír čiernej diery, ohraňuje ho voči okolitému priestoru. Ak označíme Schwarzschildov polomer R_s a hmotnosť čiernej diery M , potom $R_s = (2G/c^2)M$, pričom $G = 6,672 \cdot 10^{-11} \text{ m}^3 \text{ kg}^{-1} \text{ s}^{-2}$ je gravitačnou konštantou a $c = 3 \cdot 10^8 \text{ m s}^{-1}$ rýchlosťou svetla. Ak R_s vyjadrieme v kilometroch a M v jednotkách hmotnosti Slnka (M_s), potom získame vzorec: $R_s = 3M_s$ (Schwarzschildov polomer).

V prípade Slnka má Schwarzschildov polomer hodnotu 3 kilometre. Čierna diera s hmotnosťou milióna hmotnosťí Slnka, taká, akú predpokladajú astronómi v jadre našej Galaxie, mala by polomer 3 milióny kilometrov, bola by teda štyrikrát väčšia ako Slnko. Obrovské čierne diery v jadrach kvarzov a galaxií s hmotnosťou niekoľkých stoviek miliónov Slnk môžu mať „horizont udalostí“ vo vzdialosti obežnej dráhy Marsu či Jupitera.

Ak by sa na čiernu dieru premenila naša Zem, jej priemer by bol 1,8 centimetra.

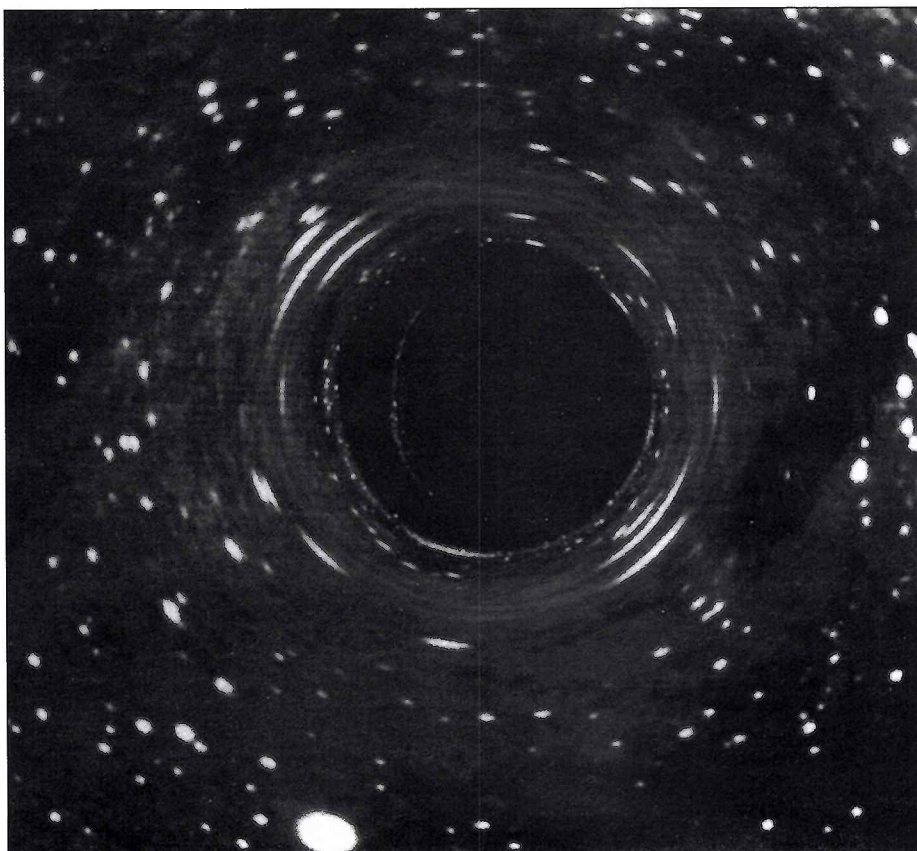
že mali pravdu. Zdá sa, že čierne diery nie sú nijakou zvláštnosťou, ale vyvolenými výtvormi prírody. Nemecký populárno-vedecký mesačník Bild der Wissenschaft uverejnil nedávno seriál článkov, ktorý zhŕňa nielen historiu objavovania a poznávania, ale aj najnovšie poznatky o objektoch, ktorých vlastnosti nevplývajú iba na okolity priestor, ale aj na naše predstavy o vývoji vesmíru.

Ked sa čas zastaví

V čiernej diere zmeravie okamih na večnosť. Čierne diery sú také mysteriozne, že sám Albert Einstein odmietol pripustiť ich existenciu. Dnes je väčšina astrofyzikov presvedčená, že čierne diery existujú. To však ešte neznamená, že ich tajomstvo je objasnené.

Asi pred štyrmi rokmi pozorovala skupina amerických a japonských hvezdárov špirálovú galaxiu M 106 v súhvezdí Polovných psov. Túto galaxiu dokáže rozlíšiť aj dalekohľad astroamatéra: nachádza sa vo vzdialosti 20 miliónov svetelných rokov. Na prvý pohľad ide o obyčajnú galaxiu, až na to, že sa v jej strede nachádzajú zvláštne objekty – masery.

Masery sú veľké oblaky plynu, ktorých molekuly, vybudené silnou radiáciou, začnú aj samy žiarí. Tieto molekuly však nevyžarujú svetlo; ich



Pokrivené svetlo: hviezdy a oblaky plynu v hmlovine Andromedy sa na počítačovom modeli gravitačnej šošovky sformovali do podoby krútňavy. Takýto obraz by pozemský pozorovateľ videl, keby sa medzi našu Galaxiu a Andromedu dostala čierna diera.

produkтом je lúč, podobne ako laser, v oblasti mikrovlní, ktorý dostať meno **maser**. Tieto oblaky robia astronómom dobrú službu: pomerne spoľahlivo im umožňujú odhadovať nielen ich rýchlosť, ale aj polohu.

Makoto Moyoshi spolu so svojimi kolegami však objavili pri maseroch aj čosi naviac: zistili, že maserové oblaky plynú krúžia okolo centra, vzdialenosť sotva pol svetelného roka, rýchlosťou 4 milióny kilometrov za hodinu! Z týchto údajov odvodili, že v strede maserov sa musí nachádzať objekt s hmotnosťou 36 miliónov Slnk.

Dá sa celkom spoľahlivo vylúčiť, že by v tomto prípade išlo o prachom zahalenú hviezdkopu. V takejto hviezdkope by museli byť jednotlivé hviezdy vzdialene od seba nanajvýš na vzdialenosť 100 AU, čo je priemer dráhy Pluta okolo Slnka. Takáto prehustenosť by rýchle vyvolala gravitačné karamboly sesterských hviezd, čo by viedlo k skorému zániku hviezdkopy. Jediné vysvetlenie pre takú obrovskú hmotu sústredenú do tak malého priestoru je čierna diera.

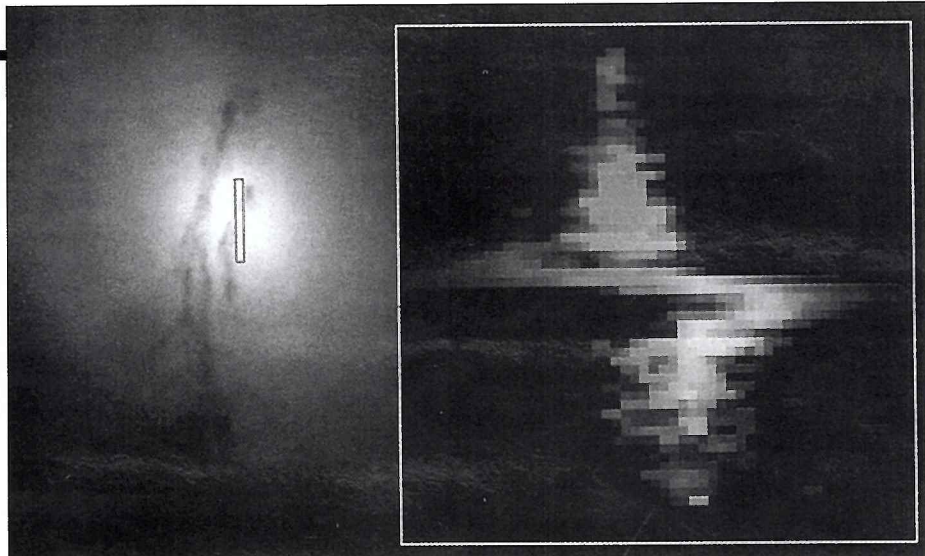
M 106 však nie je jedinou galaxiou, v ktorej sa (nepriamo) podarilo dokázať existenciu čiernej diery. Aj v hmlovine Andromedy, v susednej galaxii, objavili hvezdári čiernu dieru, ktorej hmotnosť sa vyrovna hmotnosti 37 miliónov Slnk! A v srdci galaxie M 87 sa nachádza čierna diera, ktorej hmotnosť sa vyrovna hmotnosti 2 miliárd Slnk.

Čierne diery predpovedal už pred 200 rokmi istý nevelmi známy filozof: reverend John Michell. Už vtedy si položil otázku, do akej miery môže gravitácia hviezy vplývať na šírenie slnčného sveta.

V tom čase boli predstavy prírodovedcov ovplyvnené Newtonovou fyzikou, ktorý si svetlo predstavoval ako roj malých čiastic. Už vtedy sa vedelo (Huygens), že čiastočky svetla sa pohybujú rýchlosťou 300 000 kilometrov za sekundu. Michell predpokladal, že čiastočky svetla sa v gravitačnom poli hviezy alebo planéty musia pohybovať pomalšie. Vypočítal aj hmotnosť telesa, ktoré by dokázalo rýchlosť svetla spomaliť na nulu. 27. novembra 1783 prednesol Michell pred Kráľovskou spoločnosťou v Londýne svoje názory: – Ak je nejaké teleso, ktorého stredná hmotnosť je 500-krát väčšia ako hmotnosť nášho Slnka, svetlo z jeho povrchu musí gravitácia spútať. Ak také objekty vo vesmíre naozaj existujú, potom nikdy nedokážeme zaznamenať ich svetlo. Michelleve názory vzbudili súčasť pozornosť, ale záhradko upadli do zabudnutia.

O trinásť rokov neskôr si dospel francúzsky filozof Pierre Simon de Laplace (údajne bez toho, že by

Obrovské množstvá energie, ktorú vyžarujú kvazary (hore) a aktívne galaxie (dole je M87) sú „smrteľným výkrikom“ hmoty v relatívne malom priestore. Vo vnútri M87 hniezdi čierna diera, ktorú obopína prstenec rotujúceho prachu a plynu.



V Galaxii M84, vzdalenej 50 miliónov svetelných rokov, hniezdi čierna diera s hmotnosťou najmenej 300 miliónov Slnk. Astronómovia to vyčítali zo spektra. Spektrálne posuvy svedčia o tom, že okolo centra, čiernej diery, krúžia plynové oblaky rýchlosťou 400 km za sekundu.

o Michellovych teóriach vedel) vo svojej knihe „Exposition du Système du Monde“ k podobnému záveru. Lenže už o desať rokov neskôr sa presadil názor, ktorého zástancovia tvrdili, že svetlo je druhom vlnenia, čo sa s teóriami Michella a Laplacea nezhodovalo. Opatrný Laplace preto záverečné kapitoly, v ktorých písal o „tmavých hviezdoch“, zo svojej knihy vyškrtol.

Vyše 100 rokov si na „tmavé hviezdy“ nikto nespomenu. Vzkriesil ich až Albert Einstein v rámci svojej všeobecnej teórie relativity, ktorú roku 1915 publikoval ako nový, revolučný výklad gravitácie. Od tejto chvíle nebolo možné vysvetlovať gravitáciu ako silu, ktorá podobne ako gumené traky príťahuje k sebe všetky okolité telesá. Gravitácia pôsobí na okolity časopriestor a deformuje ho.

Kvôli zjednodušeniu si môžeme ešte nepokrčený priestor predstaviť ako gumenú plachtu. Ak po nej rozkotúlame bilíardovú guľu predstavujúcu hviezdu, materiál sa prehýba. Ak po tomto deformovanom priestore rozkotúlame nejakú inú guľu, na jej pohybe sa deformácia priestoru musí

prejavit: teleso sa jednoducho vychýli zo svojej priamej dráhy asi tak ako kométa, ktorá obieha Slnko.

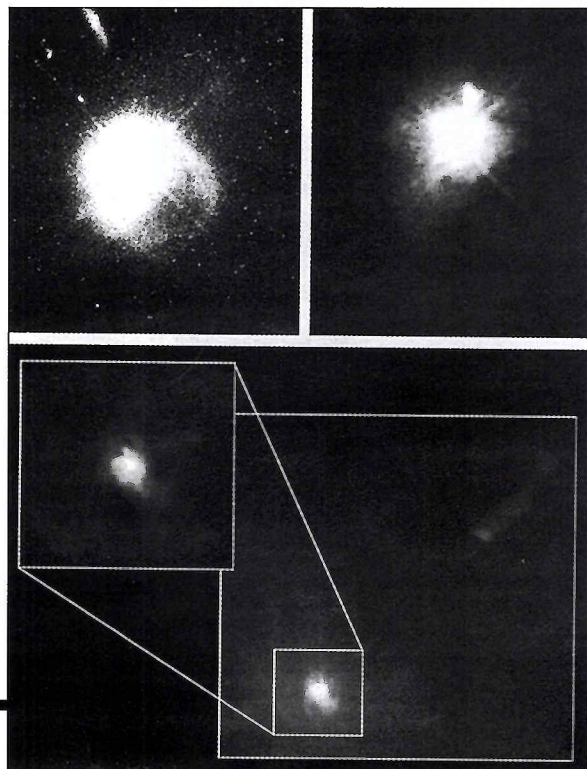
Deformácia priestoru však neovplyvňuje iba pohyb telies, ale aj pohyb svetla. Na rozdiel od nebeských telies sa však jeho pohyb nespomalí, ale v istom fažisku sa jeho priamočiara dráha ohne.

Nemecký astronóm Karl Schwarzschild, ktorého Einsteinova teória nesmerne nadchla, sa pokúsil zistiť, ako gravitácia ovplyvňuje pohyb hviezd. Časom prišiel na závažný objav: v istej vzdialosti od hviezy si čas a priestor vymieňajú úlohy. Priestor sa stáva časom a čas priestorom – tak to aspoň vyplývalo zo vzorcov. Celé desaťročia trvalo, kým sa teoretikom podarilo rozlúštiť posolstvo ukryté v Schwarzschildových rovniciach. Spočiatku túto z čistej matematiky zrodenu katastrofu celkom ignorovali. Bolo ju možné dokázať iba pri veľmi malých polomeroch hviezd: Hviezda, veľká ako náš Slnko, musela by sa scvrknúť na polomer 3 kilometrov, aby sa ocitla vo vnútri tzv. Schwarzschildovho polomeru. Vedcom sa v tom čase zdalo, že v prírode sa niečo podobné nemôže odohrať.

V nasledujúcich rokoch objavili astrofyzici ďalšie vlastnosti hviezd: zistili, že ide o veľké gule horúceho plynu, ktorých energia vzniká premenou vodíka na hélium, vďaka jadrovej fúzii. Čo sa však stane s hviezdou, ktorá svoje palivo spotrebuje?

Indicko-americký astrofyzik a neskôr nositeľ Nobelovej ceny Burahmany Chandrasekhar roku 1930 zistil, že hviezdy s maximálnou hmotnosťou 1,4 Slnka skolabujú na konci svojho života do podoby „bieleho trpaslíka“, ktorý nepresahuje veľkosť Zeme. V takomto telesu musí byť hmota stlačená do takej miery, že elektróny sa uvoľnia zo zajatia protónov a žijú „vlastným životom“. Jedným z dôsledkov tejto nezávislej existencie elektrónov je to, že vytvárajú protiváhu gravitačnej sily a v istom štádiu kolaps vyhorennej hviezy zabrzdia. Hmotnejšie hviezdy by sa však (podľa vtedajších predstáv) museli pod vplyvom vlastnej gravitácie celkom zrútiť. To sa zdalo byť aj astrofyzikom nepredstaviteľné.

Iba o dva roky neskôr objavil fyzik Charles Chadwick neutrálnu tehličku atomárnej štruktú-



ry – neutrón. Tým sa zmenili aj predstavy o stavbe hmoty a vtedy si preto dokázali predstaviť aj existenciu ešte bizarnejších objetov – neutrónových hviezd. Ak kolabuje hvieza, ktorej hmotnosť je väčšia ako 1,4 hmotnosti Slnka, gravitácia vlačí voľné elektróny do pozitívne nabitych častic – protónov. Neutróny, ktoré takto vzniknú, musia odolať aj enormnej sile gravitácie. V neutrónovej hviezde väží potom „kocka cukru“ neutrónovej hviezdy miliardu ton.

Neutrónové hviezdy však môžu vzniknúť iba vtedy, ak hmotnosť hviezdy neprevyšuje hmotnosť 3 Slnk. Čo sa však stane, ak je kolabujúca hvieza ešte hmotnejšia?

Odpoveď na túto otázku našli Johann Robert Oppenheimer a jeho žiak Hartland S. Snyder roku 1939. Podľa ich teórie neexistuje sila, ktorá by mohla zabrániť kolapsu hviezdy, ktorej hmotnosť prevyšuje hmotnosť neutrónovej hviezdy, pretože by sa musela zrútiť do jediného bodu. Matematici nazývajú takýto prípad, v ktorom sa hmotnosť stáva nekonečne veľkou, **singularitou**. Takáto hvieza by prirodzene vyhovovala aj zákonom Schwarzschildovo polomeru. Takto nadobudlo Schwarzschildovo mysteriozne riešenie gravitačnej teórie aj fyzikálny zmysel.

Počas kolapsu hviezdy enormne narastá jej gravitačné pôsobenie na okolitý priestor, ktorý sa čoraz markantnejšie deformuje. Ak kolabuje pod hodnotu Schwarzschildovo polomeru, priestor okolo kolabujúcej sa hviezdy sa uzavrie. Teleso sa voči zvyšku vesmíru zakapsí. Nijaká hmota ani čiastočky svetla už z jeho vnútra neuniknú. Stane sa neviditeľným – presne tak, ako to John Michell predpokladal. Astrofyzici, vzhľadom na skutočnosť, že vonkajší pozorovateľ z vnútra čiernej diery nemôže získať nijaké informácie, nazvali imaginárnu šupku kolabovanej, zakapslenej hviezdy „horizontom udalostí“. Hranice tejto šupky sú definované Schwarzschildovým polomerom.

Hypotetické čierne diery však astronómov 30. rokov iritovali. Dokonca Albert Einstein, ktorého teória relativity položila základný kameň k týmto úvahám, neveril, že tieto hviezdné oblydy naozaj existujú. Veľký fyzik sa však tento raz pomýlil. Einstein sa neobľubenými singularitami už nikdy nezapodieval a ani Oppenheimer sa viac k tejto téme po druhej svetovej vojne nevrátil. Až v 60. rokoch sa tieto zvláštne objekty ocitli opäť v zornom poli astrofyzikov.

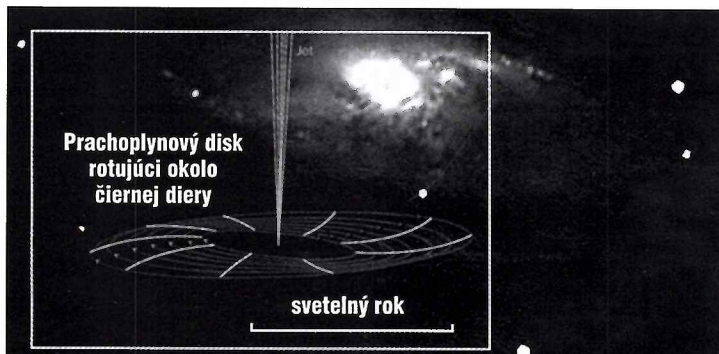
Roku 1963 objavil americký astronóm Maarten Schmidt podstatu niektorých bodových zdrojov rádiového žiarenia, ktoré boli krátko predtým objavené. Išlo o miliardy rokov vzdialenosť kvasárov. Astronómom bolo jasné, že ide o najzárievšie objekty celého vesmíru. V priesatore, ktorý nemusí byť väčší ako naša Slnečná sústava, produkuje nejaký mechanizmus viac energie ako 100 miliárd hviezd našej Galaxie.

Už necelý rok po Schmidtovom objave vyslovili americký fyzik Edwin Salpeter a jeho sovietsky kolega Boris Zeldovič domienku, že týmto záhadným mechanizmom vo vnútri kvazarov by

mohli byť čierne diery. Ich model platí v podstate dodnes:

Čierna diera nasáva z okolitého priestoru medzihviezdny plyn, ktorý sa najskôr sformuje do podoby disku krúžaceho okolo centrálneho telesa. V dôsledku vysokej rýchlosťi a narastajúceho trenia sa plyn natoliko zohreje, že stráca energiu, jeho rotácia sa spomaľuje, a preto sa začína po zostupnej špirále blížiť k čiernej diere. V blízkosti „horizontu udalostí“ sa pohybuje na milióny stupňov zohriatý plyn rýchlosťou 100 000 kilometrov za sekundu. Jeho prenikavé žiarenie „rozsvietí“ lampu kvazaru. Vzápätí hmoty dosiahne „horizont udalostí“ a nenávratne sa prepadne do čiernej diery. Masery s M 106 sa nachádzajú v disku, ktorý krúži okolo čiernej diery.

Čierne diery v jadre kvazarov a galaxií sú v tomto štadiu oveľa hmotnejšie ako tie, ktoré vznikajú (podľa Oppenheimerovej teórie) po kolapse hviezdi. Zatiaľ netušíme, ako sa tieto



Kvôli dôkazu existencie čiernej diery meria sa pohyb rotujúcej hmoty. Vďaka rádiovým snímkam maserov v centrálnom disku M106 určili vedci rýchlosť hmoty obiehajúcej čiernu dieru: 900 kilometrov za sekundu. Hmotnosť centrálneho objektu, odvodená z rýchlosťi rotujúceho disku, je 36 miliónov hmotností Slnka.

superhmotné gigenty tvoria. Na základe simulácií na počítačoch sa predbežne uprednostňuje téza, podľa ktorej môže obrovský oblak v tvoracej sa galaxii skolabovať do podoby čiernej diery. Nie je vylúčené, že tento obrovský oblak sa najskôr rozpadne na menšie oblaky, z ktorých sa vyvinú obrie hviezdy s hmotnosťou niekolkých miliónov Slnk. Tie však, ako všetky superhmotné hviezdy, majú iba krátky život. Rýchle spotrebujú svoje palivo a opäť explodujú/kolabujú. Napokon väčšina pôvodného plynu skolabuje do podoby čiernej diery.

Podľa tejto teórie sa v jadre skoro každej galaxie, aj v tej našej, uhniesdziela čierna diera. Viaceré pozorovania z posledných desiatich rokov naznačujú, že sa v srdci Mliečnej cesty nachádza čierna diera s hmotnosťou niekoľkých miliónov Slnk.

Veľmi pravdepodobná je dnes aj existencia „klasických“ čiernych dier, ktoré predpovedali Oppenheimer a Snyder: v niektorých dvojhvieznych systémoch obieha normálna hviezda potenciálne čiernu dieru. Obe telesá sa obiehajú tak tesne, že čierna diera odsáva hmotu svojho súpútnika. Plyn sa najskôr sformuje, podobne ako pri kvazare, do disku, ktorý sa nahreje a žiarí v röntgenovej oblasti. V niektorých prípadoch dokázali astronómovia zistiť nielen dobu obehu a vzdialosť súpútnika, ale aj hmotnosť čiernej diery.

Prvým kandidátom takého bizarného páru sa stala dvojhviezda, objavená začiatkom 70. rokov: röntgenový zdroj Cygnus X1 v súhvezdí Labute. Spoločné ťažisko v tomto prípade obieha horúca modrá hvieza a čierna diera s hmotnosťou 16 Slnk.

Dalšími kandidátmi sú V404 Cygni s dvanásťimi a röntgenový zdroj LMC X3 s minimálne deviatimi hmotnosťami Slnka. Oba zdroje sa nachádzajú vo Veľkom Magellanovom oblaku. Táto metóda mimochodom zodpovedá domeniam Johna Michella, ktorý roku 1783 o „tmaivých hviezdach“ napísal: – Ak okolo nich krúžia iné, viditeľné telesá, potom by sme mohli na základe ich pohybu odvodíť aj vlastnosti neviditeľných súpútníkov.

Z hľadiska všeobecnej teórie relativity žijú čierne diery neobmedzene dlho. Táto predstava sa však zmenila: keď fyzik Stephen Hawking študoval čierne diery z hľadiska zákonov kvantovej mechaniky (teórie o stavebných kameňoch

hmoty), čierne diery stratili časť svojho mystéria. (Všeobecnú teóriu relativity sa doteraz nepodarilo zjednotiť s kvantovou mechanikou. Hawking sa o to pokúsil a vedľajším produkтом jeho štúdia sa stal čudesný efekt.)

Pre fyzikov je vákuum všetko možné, ale nie nič. Neustále v ňom vznikajú a zanikajú rôzne časticie. Fyzici ich nazývajú virtuálnymi časticami, pretože existujú iba nepatrny okamih. Virtuálne časticie vznikajú vždy v pároch. Ak takýto pár vznikne bezprostredne pri čiernej diere, enormná gravitácia ho môže rozdeliť. Počas tohto procesu odovzdá gravitačné pole páru isté množstvo energie. Táto dodatočná energia umožňuje časticiam skok do reality: stanú sa „skutočnými“.

Jedna z oboch častic môže padnúť do čiernej diery. Druhá sa však stratí vo vesmíre, pričom odnesie so sebou aj časť energie, ktorú jej čierna diera vydelila krátko pred skokom do reality. Túto energiu stratí aj čierna diera: jej hmotnosť sa (nepatrne) zmení.

Odtučňovacia kúra však nie je produktívna. Čierna diera s hmotnosťou troch Slnk by stratila svojú celú hmotnosť až po uplynutí 10^{67} rokov. To je viac ako 10^{57} dlhšia doba ako vek dnešného vesmíru. Hawking vyslovil hypotézu, že sa počas big bangu, vďaka nesmierнемu tlaku po zárodočnej explózii vesmíru, sa museli vytvoriť aj malé čierne diery. Ak tieto trpasličie čierne diery v tom čase naozaj vznikli (ich hmotnosť nepresahovala niekoľko sto miliónov ton, čo je hmotnosť stredne veľkej hory), potom sa museli podnes rozplynnúť. Hawking predpokladá, že aj tieto telesá končia explóziou, pričom vyžarujú žiarenie gama. Hľadanie týchto zdrojov gama žiarenia je však dodnes bezvýsledné, takže aj Hawkingov scenár je zatiaľ iba šedivou teóriou. Všetky nevyriešené problémy by sa však v prípade zjednotenia gravitačnej teórie a kvantovej mechaniky do jedinej „teórie všetkého“ rozplynuli. Väčšina fyzikov o tom nepochybuje.

Thomas Bührke

Podľa Bild der Wissenschaft spracoval –eg–

Výprava do čiernej diery

Kozmonaut v gravitačnej pasci: odstredivá sila ho natiahne a roztrhá.

Vnútro sa stane vonkajšom; to, čo bolo rovné, sa ohne. Naša každodená skúsenosť je postavená na hlavu. Extrémne nahostená hmota ohne priestor do takej miery, že sa zastaví aj čas. Hranica medzi naším svetom a inými vesmírmi sa rozplynie.

Čierne diery sa ľudskej predstavivosti vymykajú viac ako čokoľvek iné vo vesmíre. Pre fyzikov sú však, napriek bizarným vlastnostiam, objektmi, ktoré možno skúmať, pochopiť a popísť: hmota, náboj a moment hybnosti. Čierne diery sú zároveň najhmotnejšími objektmi vo vesmíre: ich hmotnosť je taká veľká, že ani svetlo z jej gravitačného poľa nemôže uniknúť.

Ako už Albert Einstein vo svojej všeobecnej teórii relativity predpovedal, hmota deformează priestor. V takomto priestore sa priamočiara dráha svetelných lúčov ohviezd okolo masívneho objektu. Ten efekt po prvý raz, roku 1919 počas úplného zatmenia Slnka, pozoroval anglický astronóm Eddington. Pre modernú fyziku bol tento majstrovský výkon astronomického merania historickou udalosťou. Keď lúče svetla miňajú čiernu dielu, gravitácia superhmotného objektu ich stiahne na šikmú dráhu. Kvôli tomuto gravitačnému efektu sa pozície blízkych hviezd v pozadí systematicky posúvajú: vzdialenosť galaxie sa nám zdajú byť neforemné pretiahnuté a jasnejšie ako v skutočnosti. Gravitáciou znásilnené svetlo sa rozkladá a pozorovateľ vidí niekoľko virtuálnych kópií vzdialého objektu, ba niekedy aj viac či menej dokonalý prstenec.

V istej vzdialnosti sa svetlené lúče, miňajúce čiernu dielu, môžu dostať na kruhovú dráhu okolo gravitačnej pasce, alebo sa k nej po špirálovej dráhe priblížia do takej miery, že ich vonkajší pozorovateľ navždy stratí z dohľadu.

Vedci pomocou počítačových modelov dokázali, že okolo rotujúcej čiernej diery krúži disk mimoriadne horúceho prachu a plynu, ktorý intenzívne žiari. Priestor je v týchto miestach taký deformovaný, že by si pozorovateľ videl aj vlastný chrbát. Pozorovatelia v posledných rokoch identifikovali viacero takýchto diskov, ba v dvoch prípadoch zaznamenali aj známky deformovaného priestoru, neklamný to znak blízkosti čiernej diery.

Nemeckí experimentátori z Interdisciplinárneho centra pre vedecké výpočty v Heidelbergu nasimulovali situáciu, pri ktorej vonkajší pozorovateľ hľadí spočiatku pod 13-stupňovým uhlom na disk bez centrálneho, superhmotného objektu. Disk mu priponá Saturnov prstenec. Ten istý disk sa však v gravitačnom poli čiernej diery (s hmotnosťou) 100 miliónov Slnk ohne ako strecha klobúka. Ak čierna diera a disk s priemerom jednej miliardy kilometrov rotujú, v rotujúcej hmote disku sa vyskytujú bizarné asymetrie.

V gravitačnom potrubí: prach a plyn sa rútia do čiernej diery. Ak okolo čiernej diery rotuje svetlo, vytvárajú sa bizarné asymetrie.

Ešte prekvapujúcejšie boli zážitky pozorovateľa v okrúhlom tuneli, ktorý sa okolo čiernej diery vytvára. Pri určitom odstupe sa už pozorovateľovi nebude zdať, že sa rúra ohýba smerom k čiernej diere; rúra sa mu bude zdať zdať rovná. Navyše: v tejto čudesnej rúre bude rovno pred sebou vidieť temeno svojej hlavy. Ak by sa tunnel k čiernej diere ešte viac priblížil, ukázalo by sa, že sa od nej odsklánia. Pozorovateľ by však aj odstredivú silu vnímal ako zameranú dovnútra. Pôsobenie extrémne silného gravitačného poľa dokáže dovnútra preklopíť aj vonkajší priestor.

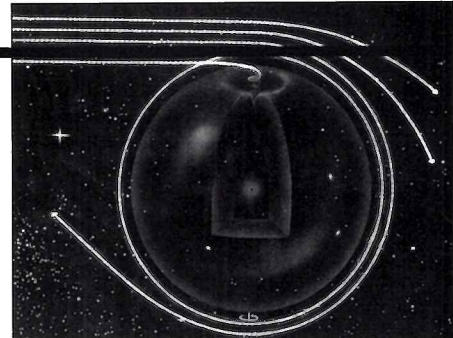
Všeobecná teória relativity nás učí, že „vonkajšok“ a „vnútro“ nie sú objektívne, absolútne pojmy: sú rovnako relativne ako pojmy vpravo či vľavo, alebo hore a dole. To všetko je ľahko zlúčiteľné s našou každodennou skúsenosťou, v blízkosti čiernej diery však ide o celkom normálne úkazy.

Predpokladajme, že odvážneho kozmonauta premoží zvedavosť a rozhodne sa preniknúť do bezprostrednej blízkosti čiernej diery. Čo sa stane?

Vonkajší pozorovateľ nezaznamená nič mimoriadne. Palubné hodiny budú ukazovať ten istý čas ako hodiny na palube materskej lode. Potom sa však hodiny kozmonauta-prieskumníka začnú oneskorovať. Túto „dilatáciu času“ Einstein vo svojej teórii relativity popísal takto: hodiny v gravitačnom poli tikajú pomalšie ako hodiny vo volnom priestore. Čím viac sa kozmonaut priblíží k horizontu udalostí, k vonkajšiemu okraju čiernej diery, tým pomalšie sa bude z hľadiska vonkajšieho pozorovateľa sekundová ručička posúvať. Vo chvíli, keď prieskumná loď prenikne k horizontu udalostí, ostane čas stáť.

Pozorovatelia z materskej lode nebudú však môcť prekonanie horizontu udalostí sledovať. Obraz pred ich očami zamrzne, bude sa im zdať, že prieskumná loď sa nad čiernom dielu vznáša ako balón v bezvetri. Zaznamenajú, že priestor pred nimi červenie, pretože svetlo v boji s gravitáciou stráca čo raziť viac energie.

Kozmonaut však bude let k čiernej diere prežívať celkom ináč. Spomaľovanie palubného času si vôbec nevšimne. Naopak, bude sa mu zdať, že hodiny na palube materskej lode sa zbláznili. Priestor v okolí prieskumnnej lode sa čudesne preformuje,



Svetelné lúče sa blížia k čiernej diere, ktorá ich v istej vzdialnosti prehltnie. Vzdialenejšie lúče gravitácia v určitom bode zachytí, ohne a prinúti ich obiehať po obežnej dráhe, ktorej polomer závisí od veľkosti čiernej diery.

bude žiariť premenlivými farbami v neviedaných odtieňoch. Gravitačná sila čiernej diery bude narastať.

Ak pôjde o čiernu dielu, ktoré hmotnosť bude iba niekoľkokrát väčšia ako hmotnosť Slnka, budú slapové sily už také silné, že kozmickú loď i jej pilota najprv natiahnu ako špagetu a krátko nato ich roztrhajú na märne kúsky.

Pri veľkých čiernych dierach, ktoré hniezdia v jadrách galaxií, je však hustota na horizonte udalosti taká nízka, že odvážny kozmonaut preletí touto hranicou, spoza ktorej niet návratu, bez akýchkoľvek problémov. Všetko svetlo vesmíru sa vzápäť scvrkne do malého, trblietavého disku. Ešte niekoľko minút bude môcť kozmonaut vnútri ozrutej gravitačnej pasce pozorovať. Pre vonkajší svet by boli jeho pozorovania bezcenné, lebo jeho rádiové signály by nemohli z gravitačného poľa čiernej diery uniknúť.

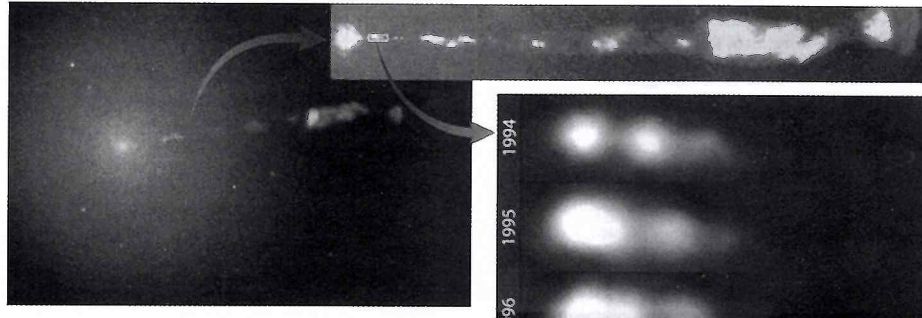
To, čo sa deje s hmotou vo vnútri čiernej diery, sa však ani tento kozmonaut nikdy nedozvie: pád do jadra čiernej diery neprežijú ani jeho atómy. Zničí ich ozrutná gravitácia bez zvyšku, alebo sa hámam niekde inde, možno v nejakom inom vesmíre, opäť objavia?

Rovnako ľahké je odpovedať na otázku, čo sa stane s informáciou, ktorú nesie hmotu, nasatú čiernom dielu. Nie je vylúčené, že základné fyzikálne zákony vo vnútri čiernej diery neplatia. Akákoľvek odpoveď na podobné otázky je čistou špekuláciou.

Rüdiger Vass

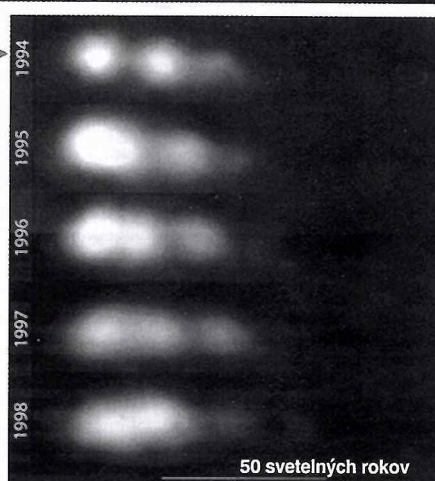
Podľa Bild der Wissenschaft spracoval –eg





Supersvetelný výtrysk z M87

Objavil ho Heber D. Curtis, ešte v roku 1916. Tento výtrysk relativistickej plazmy z objektu M87, dlhý 5000 svetelených rokov, sa stal ozajstným laboratóriom astrofyziky. Žiaři vo všetkých oblastiach elektromagnetického spektra, čo pripomína radiáciu generovanú synchrotronami, ktoré urýchľujú nabité časticie na rýchlosť blížiacu sa rýchlosťi svetla. Z pozorovania M87 v rádiovnej oblasti vyplynulo, že výtrysk sa šíri nadsvetelnou rýchlosťou. Takto pohyb môže byť jednou z einsteinovských ilúzií. Vedci tento efekt vysvetľujú tým, že sa výtrysk šíri rýchlosťou blízkou rýchlosťi svetla pozdĺž imaginárnej spojnice M87 so Zemou smerom k nám. Podobné výtrysky boli pozorované pri niekoľkých čiernych dierach



v dvojhviezdných systémoch našej Galaxie, ale aj pri niekoľkých kvazaroch, ktoré sú oveľa žiarivejšie a vzdialenejšie ako táto eliptická galaxia v súhvezdí Panny. HST sa tento výtrysk po prvýkrát podarilo naexponovať vo viditeľnom svetle: Faint Object Camera dokázala vo výtrysku rozlíšiť svetlo emitujúce bubliny, ktoré širokouhlá kamera (snímka vľavo hore) rozlíšiť nedokázala. Každá z bublín má desatinu hmotnosti Slnka, ich zdanlivá rýchlosť dosahuje šestnásobok rýchlosťi svetla.

Astronomické otázky a odpovede

Otázka: Na jakém principu fungujú tekutá zrcadlá ze rtuti a gália? Jak s nimi lze manipulovat? Co s nimi skutečně pozorujeme?

(Zdeněk Lubas, Nový Hradec Králové)

Odpoved: Kapalná rtuťová zrcadla (či zrcadla z jiných kovů, jež jsou za běžných teplot tekuté) jsou vlastně ploché otáčející se mísy, kde se vlivem odstředivé síly volná hladina tekutého kovu prohne ve tvaru paraboloidu (tzv. Newtonovo vědro). Mísy jsou uloženy vodorovně a mohou proto zrcadlit oblohu v nadhľadu jako klasické zenitní teleskopy. Optická kvalita těchto zrcadel je překvapivě dobrá a za malých finančních nákladů lze zhodnotit až 3 m zrcadla, které se hodí hlavně pro přehlídky slabých galaxií a kvasarů, případně pro sledování částeček kosmického směti v okolí Země. **Jiří Grygar, FÚ AV ČR**

Otázka: Mohla by se nacházeti v našem galaktickém systému mikrocerná díra? Jestli ano, co by mohla později ovlivňovat?

(Zdeněk Lubas, Nový Hradec Králové)

Odpoved: Ano, Galaxie může obsahovat nezjištěný počet mikroskopických černých dér, neboť je téměř nemožné je odhalit na dálku. Dokonce je obtížné je odhalit i zblízka, neboť se chovají velmi podobně jako běžné částice hmoty.

Jiří Grygar, FÚ AV ČR

Otázka: Einstein, Hawking, ale aj ďalší, tvrdia, že rýchlosť svetla je maximálna rýchlosť. V jednej knihe od S. Hawkinga bolo napísané: „Rýchlosťou svetla sa pohybuje aj zmena gravitačného pola, nie však gravitácia samotná.“ Znamená to, že planéty, hviezdy a galaxie, ale aj ďalšie telesá, plávajú v akejkoľvek polievke a svojim pohybom (existenciou), „čerria jej hladinu“ a dávajú tým o sebe vediet? (Karol Szelecký, Galanta)

Odpoved: Hawking měl na mysli, že gravitace statického vesmíru se nepohybuje vůbec; gravitačné vlny vznikají a šíří se rychlosťou svetla teprve tehy, když sa pohybují nebeská tělesa nebo pozemské kameny atd. Ve skutečnosti však žádné těleso v klidu neexistuje, takže si s tím nemusíme příliš lámat hlavu.

Jiří Grygar, FÚ AV ČR

Otázka: V jednej odpovedi v K2/99 sa píše, že posun vlnovej dĺžky je smerom k červenému a fialovému okraju spektra rovnaký. Pri uvedenej obvodovej rýchlosťi (2 km/s) to možno považovať za správne konštatova-

Deep Impact

V rámci programu Discovery, (ide program lacných, rýchlych a spopahlivých) misia NASA bola schválená misia Deep Impact (hlboký impakt), ktorej cieľom je vyslanie sondy ku kométe P/Tempel 1 s cieľom zasiahnuť jej povrch explozívnym projektilom. Výbuchom uvoľnenú hmotu komety, rozptýlenú v okolitej priestore, budú skúmať prístroje na palube sondy.

Projekt bude vážiť 500 kilogramov a na povrchu komety vyhľbi kráter veľký ako futbalové ihrisko, hlbočky ako sedemposchodová budova. Kamera a infračervený spektrometer, ale i pozemskí pozorovatelia, budú študovať nielen rozmetaný materiál, ale aj výbuchom obnaženú, primordiálnu hmotu na dne krátera.

Sondu vyhotovila firma Ball Aerospace v Boulderi, USA. Deep Impact odštartuje v januári 2004. Výbuch na povrchu „čiernej komety“ P/Tempel 1 sa uskutoční 4. júla 2005, vo sviatok americkej nezávislosti. Cena misie: 240 miliónov dolárov.

Ďalšiu schválenú misiu NASA v rámci programu Discovery uskutoční sonda, ktorá zmapuje Merkur. Jej názov: Mercury Surface, Space Environment, Geochemistry and Ranging Mission, skrátene Messenger (Posol).

Ešte pred týmito misiami odštartovala sonda Stardust (január 1999), ktorej cieľom je zber kometárneho prachu z komy a návrat na Zem. V roku 2002 odštartuje Comet Nucleus Tour (CONTOUR), ktorá uskutoční blízky oblet troch komét.

Podľa internetových stránok NASA

nie. Ak by však obvodová rýchlosť bola povedzme 0,5-násobok rýchlosťi svetla, potom zmena podľa ďalej uvedeného vzorca už nie je symetrická:

$$ff_0 = (1 \pm v/c)/(1 - v^2/c^2)^{1/2}; + \text{zdroj a pozorovateľ sa približujú} ; - \text{zdroj a pozorovateľ sa vzdalujú}.$$

Je takáto nesymetria možná a bola už niekedy pozorovaná? Podľa vzorca $ff_0 = (1 \pm v/c)$ je zmena frekvencie vždy symetrická.

(Marián Rovňák, Košice)

Odpoved: Uvažujme najskôr zvukové vlny. Nech zdroj vysiela na frekvenci f_0 , potom platí:

1. Ak sa zdroj pohybuje vzhľadom na prostredie a prijímač je v pokoji, vzhľadom na prostredie, frekvencia, ktorú registruje prijímač je $f = f_0/(1 \pm v/u)$, kde u je rýchlosť zvuku v danom prostredí. (+ platí, keď sa zdroj vzdaluje a - platí, keď sa zdroj približuje rýchlosťou v k prijímaču.)

2. Ak je zdroj v pokoji vzhľadom na prostredie a prijímač sa pohybuje (vzhľadom na prostredie), frekvencia registrovaná prijímačom bude $f = f_0/(1 \pm v/u)$, kde u je rýchlosť zvuku v danom prostredí. (+ platí, keď sa prijímač približuje k zdroju a - platí, keď sa prijímač vzdaluje od zdroja.)

Vidíme, že v klasickej fyzike na popis Dopplerovho javu nestačí povedať, že jedno teleso sa pohybuje vzhľadom na to druhé, ale treba uvažovať aj o tom, ktoré z nich je v pokoji vzhľadom na prostredie, v ktorom je rýchlosť zvuku práve u . Teda výsledky plynúce z klasickej fyziky vôbec nie sú tak symetrické, ako je uvedené v otázke. Tá sa však týkala svetla. Pokiaľ by existoval éter, t. j. prostredie, v ktorom by sa svetlo šírilo rýchlosťou c , platili by vyššie uvedené vzťahy aj pre svetlo, len rýchlosť u by sme vymenili za c . Vďaka dvom postulátom, na ktorých Albert Einstein vybudoval ŠTR, už netreba predpokladať existenciu éteru a Dopplerov jav je jednoznačne určený len relativnou rýchlosťou zdroja a prijímača: $f = f_0[(1 + v/c)/(1 - v/c)]^{1/2}$, ak sa prijímač a zdroj približujú; $f = f_0[(1 - v/c)/(1 + v/c)]^{1/2}$, ak sa prijímač a zdroj vzdalujú. Tieto relativistické vzťahy sú nádherne symetrické voči zámenie znamienok + a - .

Vzťah $ff_0 = (1 \pm v/c)$ je len prvým približením: $ff_0 = (1 \pm v/c)/(1 - v^2/c^2)^{1/2} = 1 \pm v/c + 1/2(v/c)^2 \pm 1/2(v/c)^3 + \dots$; kedže pre väčšinu našich astronomických pozorovaní platí $v \ll c$, uvažujeme len prvé dva členy tohto rozvoja. Experimentálne potvrdenie (relativistického) Dopplerovho javu do druhého rádu urobili v rokoch 1938–1941 H. E. Ives a G. R. Stilwell. Výsledky pokusov potvrdili platnosť tretiego člena rozvoja relativistického vzťahu, s presnosťou na niekoľko percent.

(Jozef Klačka, AÚ MFF UK)

Senzačná mapa Marsu

Vďaka sonda Mars Global Surveyor, ktorá celé mesiace mapovala červenú planétu, získali planetológovia a marsológovia mapu, vďaka ktorej vieme dnes o povrchu Marsu viac ako o povrchu Zeme. Prístroje sondy dokázali zaznamenať topografiu tejto planéty s výškovým rozlišením 13 metrov; niektoré časti Zeme máme zmapované iba s výškovým rozlišením 100 metrov a viac. – Získali sme definitívnu predstavu o tvare a topografii Marsu, – vráví David Smith z Goddard Space Flight Center v Greenbelte (Maryland), ktorý je šéfom tímu vyhodnocujúceho snímky prístroja Mars Orbiter Laser Altimeter (MOLA); bol to práve tento laserový výškomer na palube sondy MGS, ktorý údaje, potrebné na vytvorenie mapy získal.

Vďaka MOLA sa podarilo rôznorodý marťanský terén, vrátane polárnych čiapočiek, vysokoín a znížení, naexponovať oveľa ostrejšie, s výšim rozlišením. – Mapy z MOLA nám umožnili rozlúštiť topografické záhadu, nad ktorými sme si lámalí hlavy viac ako 25 rokov, – dodáva Jeff Moore, planetárny geológ z Ames Research Center v kalifornskom Moffet Field. – Vidíme na nej útvary, o ktorých sme ani netušili, že existujú, – dopĺňa kolegu Bruce Jaskosky z University of Colorado v Boulderi. – V istom zmysle vidíme úplne novú planétu.

Nová mapa vznikla presným meraním výšok z polárnej dráhy; najvyššie vrcholky na novom globuse Marsu sú vyššie a najzanorenejšie rokliny a zníženia hlbšie, ako sme pôvodne predpokladali. Celkové prevýšenie terénu dosahuje až 30 kilometrov, čo je o 10 kilometrov viac ako na Zemi. Z údajov vyplýva, že južná hemisféra je v priemere o 6 kilometrov vyššia ako severná hemisféra. To znamená, že terén sa z juhu na sever znižuje. V prípade, že by planéta mala vodu (presnejšie toľko vody, ako pred troma miliaďami rokov), severné zníženia, zasahujúce až pod rovník, by pokrýval oceán. Presnejšie: až tri štvrtiny planéty by sa ocitli pod vodnou hladinou.

Oko MOLA pomôže planetológom spresniť genézu Marsu. Vedci už dávnejšie predpokladali, že Mars nie je ideálne guľatý; pod rovními, neveriteľne hladkými planinami na severe je iba tenká kôra; naproti tomu početnými krátermi poznamenané vysočiny a pohoria južnej hemisféry ležia na oveľa hrubšej kôre. Najpriateľnejší vysvetlením týchto globálnych disproporcii bola donedávna hypotéza mohutného impaktu, ktorý dopadol na severnú hemisféru a na veľkom priestore stenčil hrúbku pôvodnej kôry. Genézu severného bazéna však najnovšie objasňujú aj dve alternatívne hypotézy: prvou je proces (na Marse už podľa všetkého dôvodne utlmený), ktorý pripomína tektoniku platní na povrchu Zeme. V dávnej minulosti mohol byť generátorom tohto procesu planetárny geostroj vynášajúci z podlo-

žia obrovské množstvá lávy, ktorá (na Zemi) roztláča jednotlivé platne zemskej kôry, unášajúce aj kryhy z oceánu vynorených kontinentov. Druhá hypotéza uprednostňuje skôr proces rozpínania obrovskej „guče“ roztavených hornín v podloží Marsu, ktorá svojou teplotou odspodu nahriala kôru severnej hemisféry a plastické, skoro tekuté horniny celkom preformovala.

– Údaje z MOLA podporili skôr alternatívne hypotézy, – vráví geofyzika Maria Zuberová, spoluautorka topografickej analýzy, pracovníčka Massachusetts Institute of Technology v Cambridge. – Napriek tomu, že MOLA neobjavil zatiaľ priamy dôkaz tektoniky platní, napríklad pásmo pohorí v oblasti subdukcie či obrovské priekopy a trhliny, na niektorých snímkach vedci rozlíšili útvary svedčiace o obrovskej vulkanickej aktivite, čo je nepriamym dôkazom horúceho vnútra počas dlhého obdobia vo vývoji Marsu. Napríklad: okrúhlastá, vyklenutá planina Tharsis (zasahujúca zo severu až pod rovník), ktorá má v priemere 4000 km, je podľa všetkého dielom dvoch obrovských vulkanických dómov. Olympus Mons, najväčší vulkán Slnečnej sústavy, však nie je, ako sa vedci donedávna domnievali, súčasťou tejto planiny, ale vyrástol na jej západnom okraji. – To všetko svedčí o tom, že pod planinou Tharsis je oveľa hrubší plášť, ako sme predpokladali, – vráví Zuberová. Ak zohľadníme aj nedávno objavené magnetické pruhy na povrchu Marsu, ďalší možný dôkaz platňovej tektoniky, potom môžeme s vysokou pravdepodobnosťou predpokladať, že povrch červenej planéty formovalo najmä jej horúce vnútro.

Zdá sa, že údaje z MOLA hypotézu o severnom impakte nadobro spochybnieli. Na najnovšej mape nie ani stopy po typických štruktúrach impaktného krátera, ktorého južný okraj je príliš nepravidelný na to, aby sme ho mohli počkať za okrúhly val vyvrhnutých hornín, taký typický pre impakty. Vedci sa násťažajú, že južný okraj zdanlivého impaktu tvorí skôr mozaika regionálnych efektov vytvorených eróziou, vulkanizmom a vyvrhnutými horninami z južných impaktov.

– Ak už ide o impakty, – vráví Zuberová –

potom ich musíme študovať na južnej pologuli. MOLA objavil, že impaktný bazén Hellas, 9 kilometrov hlboký, s priemerom 2300 km, je obrúbený 2 kilometre vysokým valom, ktorý pokrýva povrch do vzdialnosti 4000 km od stredu krátera.

Mnohí marsológovia však trvajú na tom, že sever planéty musel sformovať veľký impakt. – Také obrovské zmeny v planetárnom merítku, aké pozorujeme na severnej pologule, mohol spôsobiť iba megaimpakt, – vráví George McGill z University of Massachusetts. – Typické stopy po dávnom impakte sa mohli v priebehu miliárd rokov stratiť pod príkrovom erodovaných, vodou a vetrom premiestňovaných materiálov.

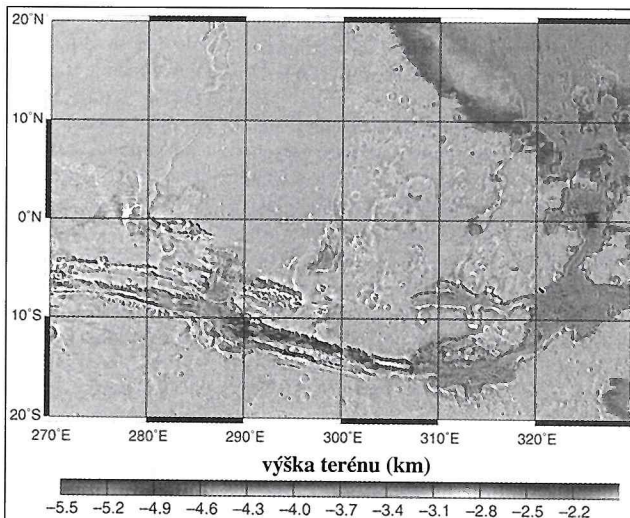
Aj McGilla však viaceré údaje prekvapili. Ukázalo sa, že severná polárna čiapočka je oveľa menšia, ako sa predpokladalo, naproti tomu južná polárna čiapočka je mimoriadne mohutná. Analýzu topografie sa zistilo, že značnú časť južnej polárnej čiapočky prekrývajú pomerne hrubé nánosy prachu a ľadových kryštálikov, čo pozemských pozorovateľov a doterajšie sondy pomýlio. Detailná topografia terénu, získaná prístrojom MOLA, však prekryté polárne ľadovce prezradila.

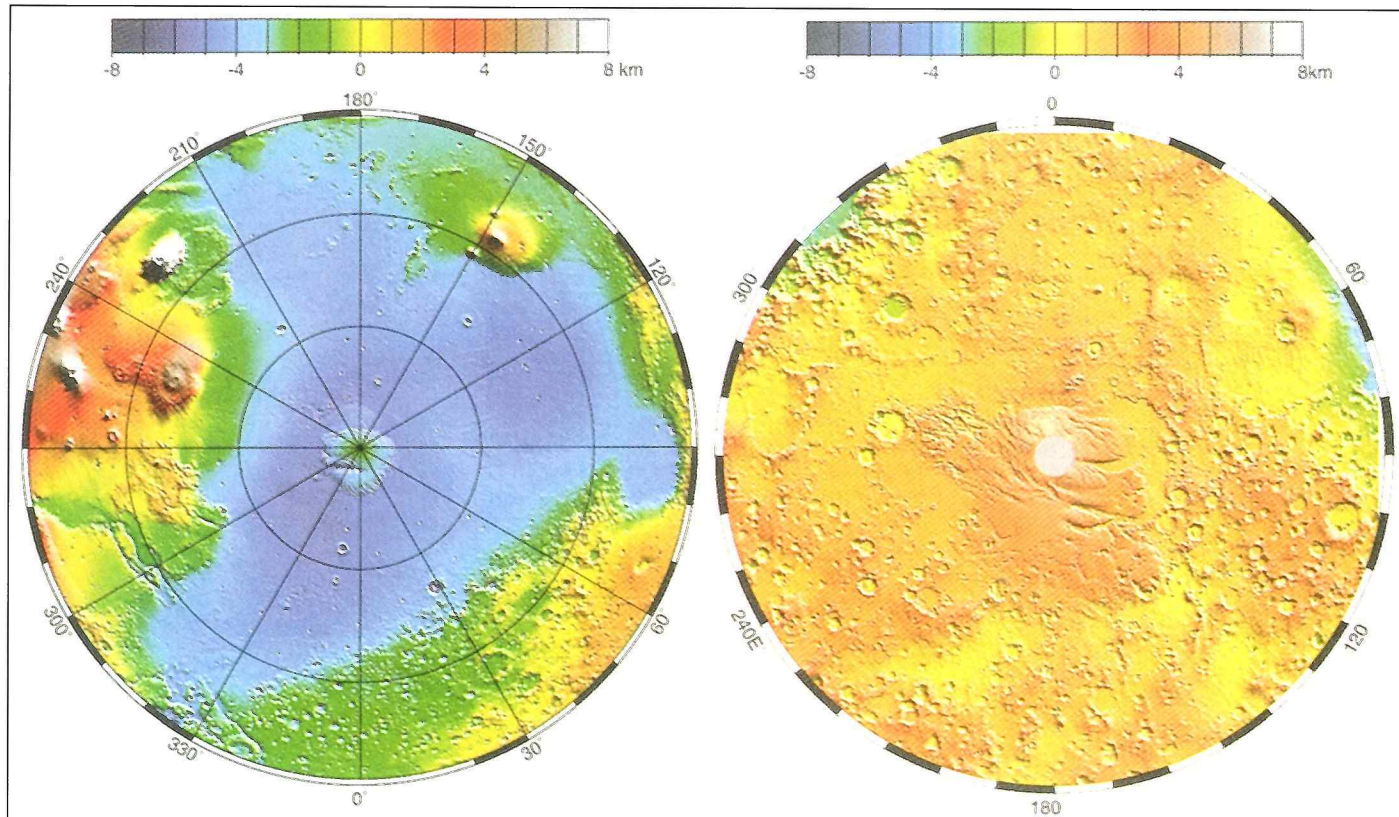
Vedci vypočítali, že ak obe polárne čiapočky tvorí vodný ľad, potom maximálny objem ľadu v polárnych končinách Marsu nepresahuje 4,7 milióna kubických kilometrov; to je o tretinu menej, ako sa pôvodne predpokladalo. Väčšina vody, ktorú Mars mal, sa teda buď vyparila do okolitého priestoru, alebo sa skrýva kdeś v podzemí.

MOLA na palube sondy MGS bude pracovať ešte najmenej 2 roky: každý deň získa 900 000 altimetrických údajov skúmaného terénu. Vedci po ich analýze spresnia výskyt voľakedajších rezervoárov vody na povrchu Marsu a vytipujú najvhodnejšie miesta na pristátie ďalších sond. – Teším sa, že ľudia si už čonevidieť budú môcť kúpiť nový atlas Marsu, – vráví Zuberová.

Bernice Wuethrich

Na snímke kaňonového systému Valles Marineris a bludiska výtokových kaňákov Chrys (vpravo) môžete podľa čiernobielej škály rozlišiť výšku terénu oproti nulovej vrstevnici. Najhlbším miestom je Coprates Chasma na priečeníku kaňonu s poludníkom označujúcim 300° východnej dĺžky; dno kaňon dosahuje na tomto mieste 5 km pod nulovou vrstevnicou. Dno kaňonu až po toto miesto klesá (sklon 0,3 stupňa), ale východne od neho začína mierne stúpanie (sklon 0,03 stupňa), a to na dĺžke celých 1500 km, čo však pre periodické prívaly neboli nijaký problém. Sivý terén severne od Valles Marineris tvorí plošina, ležiacia 1,9 km pod nulovou vrstevnicou.





Na snímke vľavo vidíte topografiu severnej hemisféry od Severného pólu až po rovník. Na snímke vpravo topografiu južnej hemisféry od 55 stupňa južnej šírky až po Južný pól. Južná polárna čiapočka je väčšia ako severná, ale jej značnú časť prekrývajú vrstvy naviateho materiálu. Výška ľadovej čiapočky dosahuje na oboch póloch až 3 km. Väčšie zaľadnenie Južného pólu je spôsobené tým, že terén južnej polárnej oblasti leží o 6,5 km vyšie ako podložie severnej polárnej čiapočky.

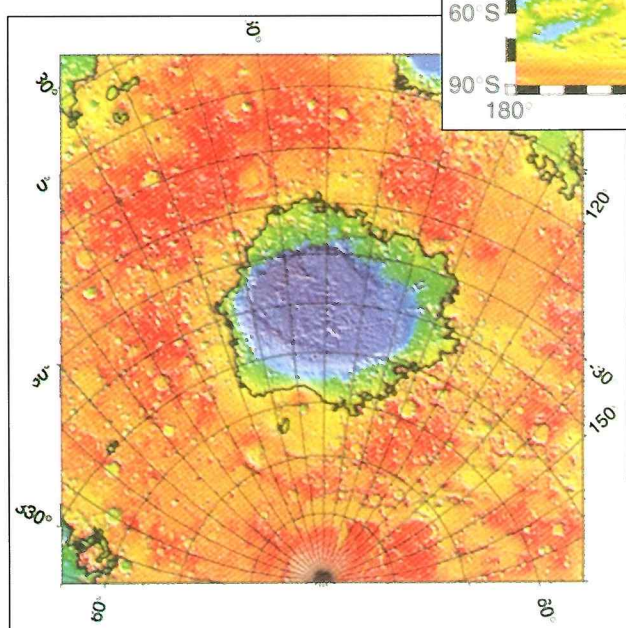
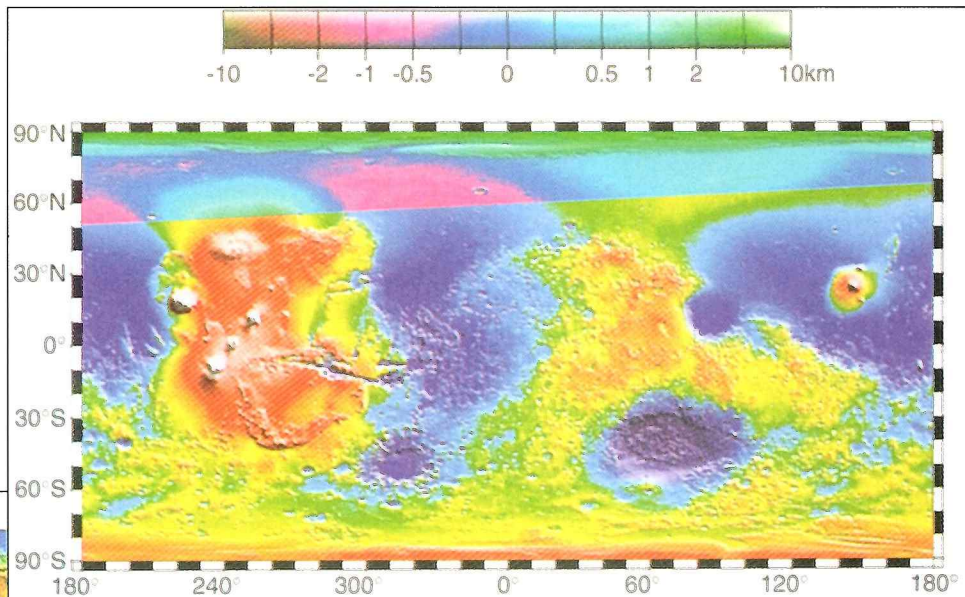
Na snímke vidíte výškový profil Marsu od Severného až po Južný pól, pravdaže v skreslenej, nesférickej projekcii.

Už na prvý pohľad je nápadný rozdiel medzi hornatou južnou a plochou, zahĺbenou severnou hemisférou.

Severná hemisféra je geologicky mladšia, impakty ju takmer nepoznamenali.

Južná hemisféra je členitejšia, poznamenaná množstvom impaktov.

Zniženiny severnej hemisféry a impaktné bazény južnej hemisféry vypĺňala pred 3 miliardami rokov voda.



Regionálny topografický model impaktného bazénu Hellas.
Na snímke možno jasne rozoznať steny krátera, vysoké bezmála 7 km, i 2 km vysoký val vyvrhnutého materiálu v jeho okolí. Tenká čierna nitka hranice označuje tzv. nulovú vrstevnicu. Dno bazéna Hellas je jedným z najhlbších miest na Marse. Vyvrhnutý materiál v okolí krátera Hellas obsahuje horniny z hlbokých, inde nedostupných vrstiev martánskej kôry, takže je takmer isté, že jedna z najbližších sond pristane práve tam. Výškové rozpätie medzi najhlbším a najvyšším miestom Marsu je 30 km, o 10 km viac ako na Zemi.

Magnetické pruhy uchovali záznam o starom Marse

Sonda Mars Global Surveyor odhalila prekvapujúci dôkaz o dávnych pohyboch martánskej kôry. Je to ďalšie svedectvo o tom, že Mars býval kedysi oveľa dynamickejšou planétou a podobal sa Zemi.

Vedci, analyzujúci údaje magnetometra na sonda MGS, objavili paralelné pruhy, zviditeľňujúce magnetické polia na povrchu Marsu. Susediace magnetické pruhy sa vzdialujú v opačnom smere, čo nápadne pripomína podobné útvary na dne pozemských morí a oceánov. Ako vieme, systém trhlín, parcelujúcich dná pozemských oceánov, funguje ako globálny geostroj, ktorý tlakom neustále vyvieračajúcej magmy pôsobí na platne zemskej kôry; tie pomaly driftujú po tekutom podloží smerom od trhliny na jednu i druhú stranu. (Vyvretá, stuhnutá magma sa vrási do podmorských hrebeňov a neustále tak obnovuje zemskú kôru. Na iných miestach sa driftujúce platne opäť ponárajú, či presnejšie posúvajú pod kontinentálne kryhy, ktoré im prekážajú v drifte, čím sa uchováva bilancia hmoty v podloží kôry. Táto recyklácia vyvretých i usadených hornín vplýva prostredníctvom sprievodnej sopečnej činnosti i na zloženie atmosféry, a tým aj na pozemskú klímu). Smerovanie magnetického pola Zeme sa občas otočí, čo vytvára striedavé pruhy v novej kôre, ktorá takto uchováva fosílny záznam o posledných stovkách miliónov rokov magnetickej história Zeme. Tento objav prispel k definitívному odobreniu kedysi kontraverznej teórie o tektonike plátní.

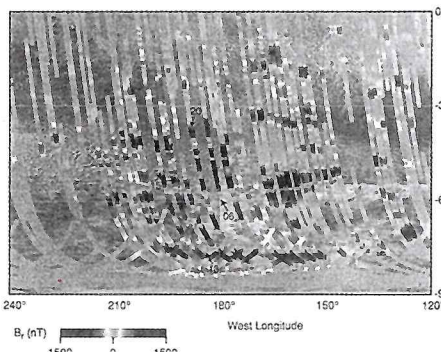
– Objav týchto útvarov na Marse môže revolučnizovať dnešné predstavy o evolúcii Červenej planéty, – vrávi Jack Connerney z Goddard Space Flight Center pri NASA, jeden z pracovníkov vyhodnocujúcich údaje magnetometra na MGS. – Ak sa ukáže, že tie pruhy sú skutočne odtlačkom na obnovujúcej a posúvajúcej sa kôre, potom to bude dôkaz, že aj na mladom Marse existovala tektonika plátní, čo doneďdávna planetológovia nepriptúštili. Tektonická aktivity však podľa všetkého nadobro vyhasla.

Existujú aj alternatívne vysvetlenia pásových štruktúr: rozlámanie a posuny pradávnej, pôvodne zmagnetizovanej kôry mohla spôsobiť aj sopečná činnosť, alebo tektonické stresy po vertikálnych posunoch kôry na susednom teréne.

– Predstavte si tenkú kôru zaschnutej farby na povrchu balóna, pričom farba je kôrou Marsu – vysvetluje Mario Acuna, hlavný výskumník tímu. – Ak budeme balón ďalej nafukovať, na farbe sa objavia trhliny, pričom každá bude mať svoj profilák na opačnej strane. V prírode neexistuje kladný pól bez záporného protájku.

Pozorovania magnetických pásov umožnil aerobraking sondy na takzvanej približovacej, eliptickej dráhe; počas tejto fázy sa sonda periodicky vnárala do atmosféry, ktorá jej pohyb spomaľovala a zároveň upravovala jej dráhu z eliptickej na kruhovú. Magnetometer v bode najväčšieho priblíženia, ktorý ležal pod hladinou ionosféry, mohol získať hodinové údaje. – Na nominálnej, kruhovej dráhe vo výške 320 kilometrov by prístroje rušila magnetická interferencia, ktorá by rozlišenie týchto štruktúr znemožnila.

Pruhy zmagnetizovanej kôry sa určite vytvorili v dávnej minulosti; vtedy ešte aj Mars mal aktívne dynamo, horúce, rotujúce jadro z rozopených kovov, ktoré bolo generátorm magnetického pola. Mars bol geologicky aktívny; z jeho vnútra, podobne ako na Zemi, vyvieraťi roztažené horniny na povrch,



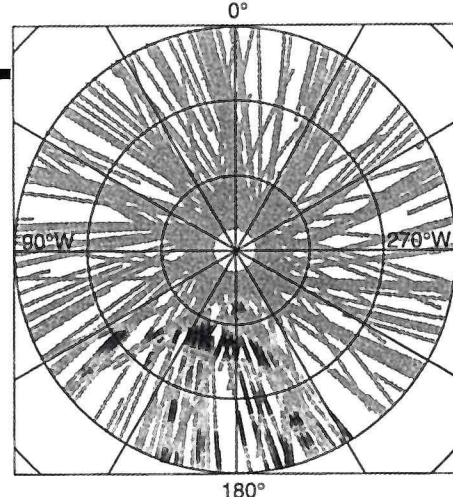
Na obrázku vidíte zebrovitú štruktúru magnetického imprentu vysvetľajúcej magnetosféru Marsu na treťine južnej hemisféry červenej planéty. Na miestach, kde sa križujú dva pásy, možno ten najčerstvší imprint rozlíšiť podľa toho, že jeho oblúk preniká južnejšie ako oblúk pásu, ktorý ho prekrýva.

kde postupne tuhli a vytvárali kôru. Keď nová kôra spevnela, magnetické pole do nej „vmrzlo“. Činnosť planetárneho dynama sa však periodicky menila, pričom tieto procesy formovali aj tvar magnetického pola. Protismerné sformované magnetické pole priamo vymrzaťo až do novej kôry.

– Martánská kôra ako svojprázny magnetofón uchovala fosílny záznam o smerovaní magnetického pola v rozličných časových obdobiach, – vrávi Connerney. – Keď neskôr horúce vnútro planéty vychladlo, dynamo sa zastavilo: Mars prišiel o svoje magnetické pole. Jeho odtlačok sa však v martánskej kôre uchoval a prístroje MGS ho zviditeľnili.

Mapa martánskych magnetických oblastí môže objasniť aj ďalšiu záhadu: planetológovia nechápu, prečo sa povrch severných, krátermi iba vzácné poznamenaných, plochých nížin tak výrazne odlišuje od južných vysočín, ktoré sú impaktnými krátermi husto posiate. Po analýze mapy vedci zistili, že na severných nížinach sa zachovali iba nepatrne stopy po magnetizme; to prehrázda, že severná kôra sa vytvorila až vtedy, keď už dynamo nefungovalo.

– Dynamo sa zastavilo už po uplynutí niekoľkých



Polárna stereografická projekcia zviditeľňuje magnetický imprent v južnej hemisfére Marsu od 55 stupňa južnej šírky až po Južný pól.

stoviek miliónov rokov po sformovaní Marsu. Je možné, že neskôr bombardovanie asteroidmi, po ktorom nastalo obdobie mohutnej vulkanickej aktivity, zohriali a geologicky šokovali rozsiahle oblasti severnej kôry, pričom impaktní a sopkami vyvrhnutý materiál prekryl magnetické polia a zahľadil výšinu kráterov, – vrávi Acuna. – Keď kôra vychladla, globálne magnetické pole, ktoré by mohlo do novej kôry opäť vmrznúť, už zaniklo.

Z mapy vyplýva, že jednu z oblastí vysočín na južnej pologule Marsu tvorí najstaršia, nepretvorená kôra. V tejto oblasti sú magnetické pásy najzreteľnejšie. Pásy sa táhajú západovo-východným smerom: v priemere sú 160 kilometrov široké a 1000 kilometrov dlhé; najdlhší pás dosahuje dĺžku bezmála 2000 kilometrov.

Pásy sú širšie ako ich náprotivky na Zemi, a to z viacerých možných dôvodov, – vrávi Connerney. – Martánská kôra mohla byť magnetický silnejsie generovaná, čo spôsobilo, že záznam magnetického pola pokryl oveľa väčšiu plochu. Až potom došlo k jeho presmerovaniu. Preveriť však treba aj takú možnosť, že sa pole až tak často nepresmerovalo; v takom prípade by magnetický záznam do kôry trval dlhšie, bez ohľadu na neustále, i protismerné sa pohybujúcu kôru. V oboch prípadoch by vznikli široké pruhy.

– Musíme nájsť rozhranie, podobné podmorským chrbotom na Zemi, z ktorého výlevom magmy rozláčaná kôra driftovala na obe strany. Ide o centrálny bod symetrie, pozdĺž ktorého útvary na jednej strane kopírujú útvary na strane druhej. Po takomto type symetrie sme však zatiaľ nenašli ani stopy.

Spracoval –eg-

Informácie, grafy a mapky nájdete v internete na adrese:
<FTP://PAO.GFSC.NASA.GOV/newsmedia/MARS/MAGNETIC/>
<http://mpfwww.jpl.nasa.gov/mgs/index.htm>

O planetárnom magnetizme

Vieme, že horniny Zeme, ktoré obsahujú množstvo železnych rúd, dokážu uchovať štruktúry magnetického pola; na dne oceánov, vyvieraťi z pozdižších trhlín čádiciové lávy, bohaté na železo. Aj v nich sa na miliardy rokov uchovávajú štruktúry premenlivého magnetického pola, z ktorých vedci dokážu odčítať aj zmeny magnetických pôlov. Pozemský paleomagnetizmus nám odhalil prinajmenšom tri závažné faktory. Po prvé: pruhované intarzie magnetického pola v istom období planetárnej evolúcie sa nikdy neprekryvajú s magnetickými „zápismi“ v inom období. (Jednotlivé obdobia vymedzuje zmena magnetických pôlov). Po druhé: magnetické polia po oboch stranách trhlín/riftov na dne oceánov sú vzhľadom na vek symetrické; najmladšie štruktúry sú na novom podloží, ktoré sa vytvorilo z vyvretého materiálu v posledných tisícočiacich, najstaršie možno detegovať v najväčšej vzdialenosťi od riftov.) Po tretie: štruktúry magnetického pola dokazujú, že severný a južný magnetický pól sa cyklicky menili, pričom počas tejto výmeny magnetické pole celkom zanikalo! Treba poznámať, že počas dočasného zániku magnetického pola boli živé organizmy zbavené ochrany pred rozličnými typmi žiarenia, čo však, okrem zániku početných druhov, mohlo generovať aj najrozličnejšie mutácie a urýchlovať evolúciu. Ak pásy normálneho a prevráteného magnetického pola z magnetizovaného dna oceánov nanesieme na mapu a odlišime ich bielou a čiernom farbou, vznikne štruktúra, ktorá pripomína kožu zebry. Vedci túto zebrovitú štruktúru nazvali čiarovým kódom.

Život v meteorite z Marsu

Na tlačovke NASA, ktorá sa konala 7. augusta 1996, vybuchla „bomba storčia“. Vedecký tím v Johnsonovom vesmírnom centre spolu s vedcami zo Standford University objavili v marťanskom meteorite stopy primitívnych baktérií. Mediálna vlna, ktorú táto správa vytvárala, obletela niekoľkokrát našu matičku Zem a nikto nepochyboval, že navždy zhubrala piedestál jej výnimočnosti ako nositeľky života. No vedecká pravda, na rozdiel od jej politickej sestry, nie je určená tým, kolko ľudí jej verí. A tak sa začal kolotoč skúmania vzoriek tohto meteoritu v ďalších špičkových laboratóriach po celom svete, ktorý doslova spochybnil pôvodné vyhlásenia.

Kozmos samozrejme nezostal pozadu a objavili sa v ňom články popisujúce dianie okolo tohto meteoritu. Takže len v krátkosti zopakujeme okolnosti, pri ktorých sa tu na Zemi našiel a jeho predpokladanú minulosť na Marse a pri putovaní v Slnečnej sústave.

V osemdesiatych rokoch sa našli na Zemi prvé meteority z Marsu a počet doteraz nájdených prekročil prvú desiatku. Až na jeden austriátsky sa všetky našli na ľadových pláňach Antarktídy. Tieto marťanské kamene sú rarity. Nie sú červené (červenú farbu má len vrchná, zoxidovaná vrstvička povrchu Marsu.), no sú podstatne mladšie ako ostatné meteority a obsahujú oveľa viac prchavých látok. Najpresvedčivejším argumentom pre ich pôvod sú však plyny v nich uväznené, ktoré majú rovnaké zloženie, ako plyny marťanskej atmosféry.

Kontroverzný meteorit

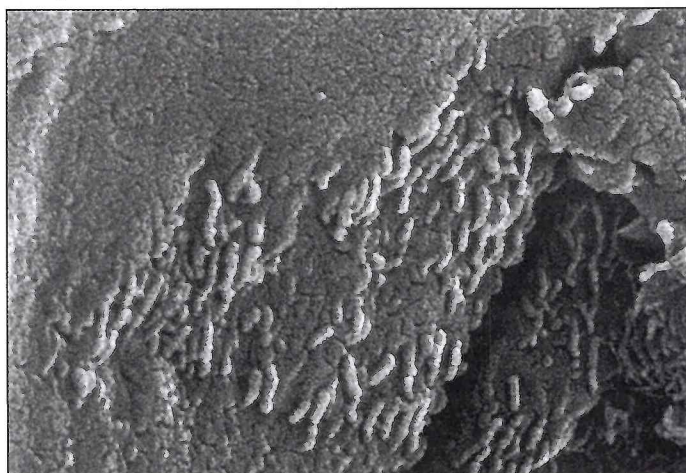
Meteorit, ktorým sa to všetko začalo, má označenie ALH 84001 (bol to prvý meteorit nájdený na pláňach Allan Hill pri expedícii v roku 1984) a váži 1,9 kg. Bol súčasťou vyvretéj horniny v spodných vrstvách marťanského povrchu

a vznikol pomalým kryštalizovaním z roztavenej lávy pred asi 4,5 miliardami rokov. Je preto približne trikrát starší ako ostatné marťanské meteority. Pred 15 až 16 miliónmi rokov dopadol šikmo na povrch Marsu veľký asteroid, ktorý pri náraze katapultoval do okolitého kozmickejho priestoru tony hornín. ALH 84001 potom dlho krúžil okolo Slnka (čo možno určiť z účinkov kozmických lúčov) a pred 13 000 rokmi dopadol na povrch Zeme (vtedy kozmické lúče prestali na meteorit pôsobiť).

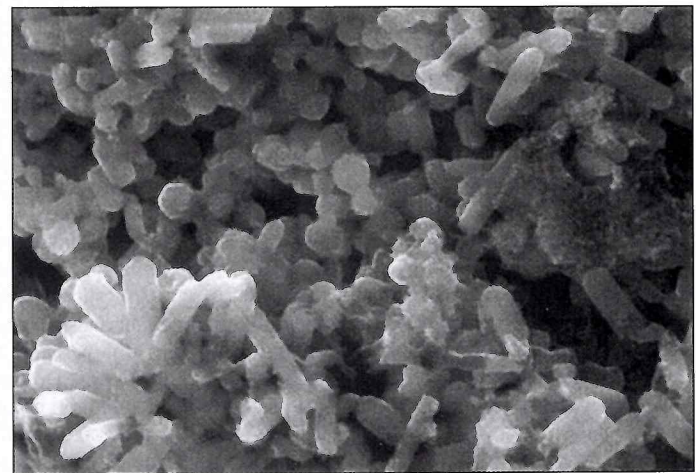
ALH 84001 obsahuje malicke guľovité oblasti (globule) uhlíkatých minerálov rozptýlené okolo prasklín a trhliniek, ktoré sa v ňom nachádzajú. Všetky znaky „života“ sa sústredia v týchto uhlíkových globulách alebo na ich povrchu. Ako dôkaz prítomnosti stôp po živote David McKey, vedúci tímu skúmajúceho ALH 84001, uvádzal:

- 1 – prítomnosť uhlíkatých zlúčenín, ktoré vznikajú pri rozpadе organickej hmoty,
- 2 – neobvyklé kryštály magnetitu, zodpovedajúce kryštálom, ktoré na Zemi vznikajú len pôsobením niektorých baktérií,
- 3 – prítomnosť nekompatibilných minerálov v

Kontraverzná snímka objektov, podobných baktériám (BSO) v Marťanskom meteorite. Pozdĺžne „červíky“ pripomínajú organizmy, ktoré žili na Zemi pred 3,5 miliardami rokov, ibaže tie boli 10-krát väčšie.



Tieto mikroskopické trsy opálu (v kameni z Južnej Afriky) interpretovali kedy sú ako fosilizovanú kolóniu baktérií, ktoré žili na Zemi pred 3,4 miliardami rokov.



tesnej blízkosti pri sebe, ktoré obvykle produkujú anaeróbne baktérie a niektoré iné mikroorganizmy,

- 4 – útvary, ktoré svojim tvarom silne pripomínajú pozemské baktérie.

Podľa McKeya, ani jedno z týchto pozorovaní nie je samo o sebe dôkazom existencie života, no spoločne sú jeho evidentným potvrdením.

Pre a proti

Problémy a nejednotnosť názorov nastávajú už pri pôvode uhlíkových globul. Keďže pre prípadnú prítomnosť živých organizmov je proces vzniku týchto útvarov veľmi dôležitý, zácneme s nimi.

Niekteré baktérie na Zemi žijú v horúcich prameňoch pri teplotách 115 °C. Ako odhad hornej hranice teploty vhodnej pre život môžeme zobrať 150 °C. Odhady teploty, pri ktorej sa tvorili uhlíkové globuly, sa pohybujú od 0 °C do 700 °C. Tie najvyššie teploty môžu vznikať pri obrovských energiách uvolňujúcich sa pri dopadoch asteroidov a predpovedajú ich vedci, ktorí predpokladajú vznik globul pri týchto procesoch. No väčšina vedcov favorizuje teploty medzi 100 °C a 400 °C, ktoré môžeme nájsť v horúcich prameňoch a vo vulkanických plynach. Na najchladnejšej časti teplotného spektra sa nachádza teória, ktorá predpokladá, že globule vznikli dekarbonizáciou z chladnej podpovrchovej vody, ktorá bola silne obohatená oxidom uhličitým z marťanskej atmosféry (čiže aj na Marse mali minerálku).

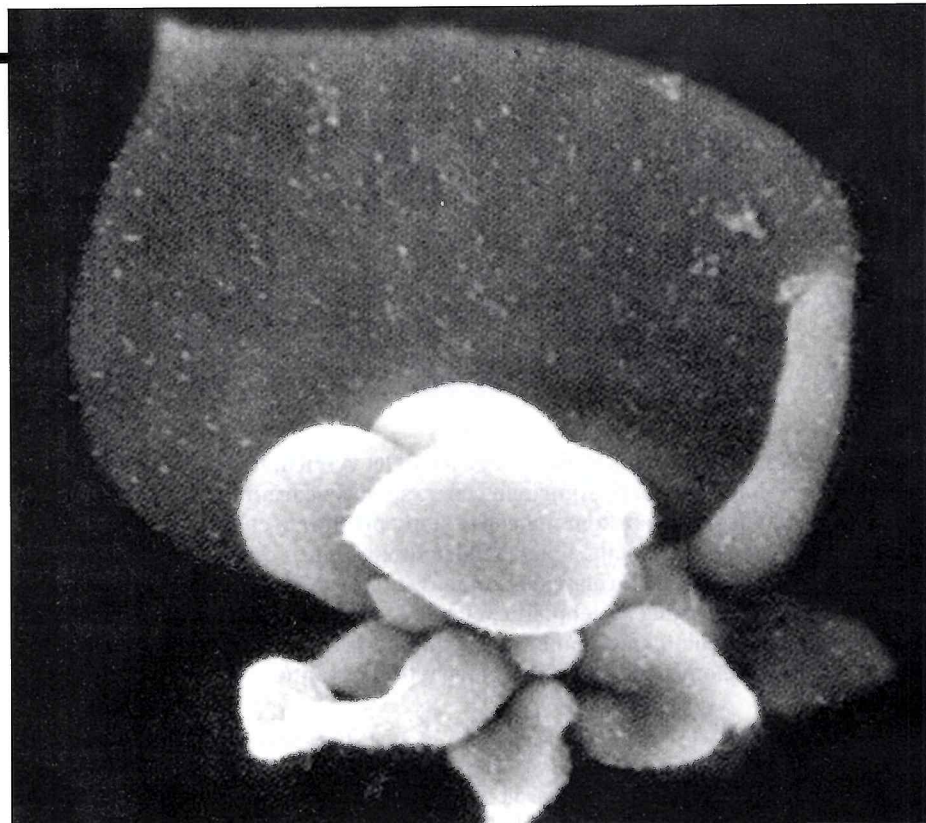
Nezhody pochádzajú väčšinou z interpretácie experimentálnych výsledkov, ktorá je veľmi ovplyvnená tým, čo konkrétny vedec chce vidieť. Odborníci na impakty nachádzajú stopy po impaktoch, odborníci na vulkány nachádzajú vplyv vulkánov. Citeľne nám chýbajú informácie o pôvodom prostredí, z ktorého ALH 84001 pochádza, čiže okolitá marťanská krajina a jej geologické pomery. Dôležitým prvkom pri analýzach je aj pohnutá história tohto kusu kameňa. Odrazilo sa na ňom niekoľko impaktov asteroidov a zrážok s nimi, pričom k niektorým došlo pred karbonizáciou a k ďalším až po nej.

Najslabšie zo štyroch McKeyových tvrdiení má číslo 3. Prítomnosť sulfidov železa a magné-

titu veľmi blízko seba môže byť stopou živých organizmov, no tieto minerály vznikajú spoločne aj úplne prirodzene na miestach príliš horúcich pre život (ako ho v súčasnosti poznáme).

Na druhej strane, najpresvedčivejším argumentom v prospech života na Marse je prítomnosť maličkých magnetitových zrniečok v uhlíkových globulách ALH 8400. Každá z globul je lemovaná dvoma vrstvami tmavých pásov a rozptýlených bodiek vytvorených z veľmi malých zrniek magnetitu. Magnetit (tvorený oxidmi železa) je bežný minerál, no tieto zrniečka sú netypické z niekolkých dôvodov: sú veľmi malé, ich dĺžka leží medzi 0,1 až 0,02 μm (0,1 až 0,02 milióntiny metra). Sú chemicky veľmi čisté a sú to takmer dokonale kryštály bez štruktúrnych defektov. Niektoré sú jemne zaoblené. Každý je presvedčený o tom, že pochádzajú z Marsu, no jediný známy zdroj takýchto kryštálov v roku 1996 boli niektoré netypické druhy baktérií. Tie produkujú magnetitové kryštály, aby sa mohli orientovať v priestore. Pomocou nich sú citlivé na magnetické pole Zeme a dokážu rozoznať smery hore a dole. Medzitým sa ale zistilo, že len asi štvrtina z magnetitových zrniečok (kratšie ako 0,05 μm) má pôvod, ktorý zatiaľ dokážeme vysvetliť iba pomocou organických procesov. Ostatné sú dlhšie a obsahujú štruktúrne defekty a vznikajú oxidáciou železa pri teplotách okolo 500 °C. Ďalšie sú súdkovité a majú tiež anorganický pôvod. Tá štvrtina má rovnaký tvar, veľkosť a kryštálovú štruktúru ako magnetity produkované baktériami. No táto podobnosť nie je úplným dôkazom mimozemského života. Tieto kryštály mohli vzniknúť anorganickou cestou pri podmienkach, ktoré sme ešte neštudovali. A to, že ALH 84001 prešiel neštandardnými podmienkami nikto nespochybňuje.

Uhlíkové globule v ALH 84001 sú pomerne bohaté na polycylické aromatické hydrokarbónové molekuly (skratene PAH), z ktorých najznámejšou je naftalén. PAH nie sú produkované alebo používané živými organizmami (na Zemi), no mierne zahriatie môže pretransformovať mŕtve organizmy na PAH (keď zabudnete kurča v rúre, máte obed silne obohatený o PAH). PAH sú všadeprítomné na Zemi a hojne sa vyskytujú aj v iných druhoch meteoritov. V 1996 McKey ukázal, že v ALH 84001 sa PAH koncentrujú viac vo vnútri meteoritu ako pri jeho povrchu, čo je presne naopak, ako by sme očakávali pri kontaminácii meteoritu pozemskými PAH. No ku kontaminácii rozhodne došlo, pretože ALH 84001 ležal na antarktickej ľade 13 000 rokov. Obsahuje dokonca rovnaký „gulás“ aminokyselín, aký produkuje pozemský život, a väčšina organických látok v ALH 84001 (ak nie všetky) obsahuje rádioaktívny izotop C¹⁴ s krátkym polčasom rozpadu, ktorý sa tvorí v zemskej atmosfére. Luann Bakerová ukázala, že PAH nachádzajúce sa na antarktickej ľade sa veľmi podobajú na tie v meteorite a robila pokusy, pri ktorých dokázala, že PAH z rozpusteného ľadu presakujú do ALH 84001. No Simonovi Clemettovi sa nepodařilo jej experimenty opakovať, dokázal, že žiadne iné antarktické meteority neobsahujú PAH ako ALH 84001, čím naznačil, že PAH sa pravdepodobne nenachádza vo vode z roztopeného ľadu.



Vzhľad môže pomýliť. Táto kalcitová štrukrúra sa vytvorila v sterilnom laboratóriu. Ak by ste ju objavili pod mikroskopom, pokladali by ste tieto „mikrohrubíky“ za živé organizmy?

No aj keď PAH pochádzajú z Marsu, nemuseli nevyhnutne vzniknúť z mŕtvyh mikroorganizmov. Niektoré molekuly PAH vznikajú reakciou CO a CO₂ s vodíkom, pričom ako katalyzátor vystupuje práve magnetit. A akoby toho nebolo dosť, Jeff Bell prišiel s tvrdením, že PAH z ALH 84001 sú rovnaké ako PAH z mikrometeoritov, a predpokladá, že PAH sa do ALH 84001 dostali na Marse z mikrometeoritov, ktoré aj našu Zem poprašujú nepretržitým jemným daždom. Niet sa preto čo diviť, že v spore o PAH padlo aj mnoho ostrých slov. Na konečný verdič si ale budeme musieť počkať, rovnako ako aj pri dôkaze či vyvrátení ostatných tvrdení.

Najvzrušujúcejšou stopou martanského života boli určite fotografie fosílií baktérií, ktoré McKeyov tím získal pomocou výkonného elektrónového mikroskopu. Opatrní vedci ich začali označovať BSO (objekty v tvare baktérií). Len veľmi malá skupina vedcov považuje BSO za fosílie martanských baktérií. Sú veľmi malé, dokonca aj na baktérie, a mohli celkom dobre vzniknúť v pozemských podmienkach. Väčšina známych baktérií je dĺžka 1–2 μm . Najmenšie známe baktérie majú dĺžku 0,2 μm . BSO majú rozmery 0,02 až 0,1 μm , čo je podľa odborníkov tak málo, že to nepostačuje na prenos základnej výbavy nevyhnutnej pre život (DNA, RNA a komplex proteínov). Samozrejme, že je to viazané na naše súčasné poznatky o živote a fosílie môžu byť pozostatkom nejakého prechodového štadia medzi baktériou a makromolekulou. McKey uznal, že BSO sú príliš malé, no prišiel s novou myšlienkou, že môže ísť o fragmenty väčších martanských mikroorganizmov. A vraj sa jeho tímu podarilo nájsť niekoľko BSO veľkých 0,75 μm . Dokonca priustíl, že mnoho z BSO vzniklo pri prípravovaní vzoriek z meteoritu pre elektrónovú mikroskopiu. V súčasnosti je známe množstvo anorganických procesov,

ktoré vedú k vytvoreniu BSO. A ak by sa aj podarilo ukázať, že niektoré BSO sú naozaj fosílie, stále môže ísť o baktérie, ktoré sa do ALH 84001 dostali na Zemi. Mnoho mikroorganizmov žije v kameňoch a nájdené boli aj baktérie a huby žijúce v skalách nehostinnej Antarktídy. Vedcom sa podarilo fosilizovať baktériu aj v laboratórnych podmienkach v priebehu niekolika dní. Je preto celkom dobre možné, že počas 13 000 rokov trvajúceho pobytu ALH 84001 na Zemi bol „infikovaný“ baktériami, ktorých fosílie sme teraz našli.

Záver

Záver zostáva stále otvorený. Súdny proces s ALH 84001 trvá už viac ako dva roky a rozsudok je zatiaľ v nedohľadne. Stále viac vedcov sa však stavia skepticky k tvrdenu, že sme sa stretli so stopami po mimozemskom živote. To však neplatí o skupine okolo McKeya, ktorá je o svojej pravde presvedčenejšia ako kedykoľvek predtým. Veľká väčšina vedcov považuje tento nekritický hurá prístup stáleho pretvárania a upravovania hypotéz za nevedecký a sú rozladené takouto „partizánčinou“, keďžiadny protiargument nie je dostatočný.

Ale ako sa ukazuje, aj tu platí staré známe, že všetko zlé je na niečo dobré. Tento problém prišiel práve včas, aby sme si uvedomili, že nie je vôbec jednoduché rozhodnúť, čo je naozaj stopa života a čo nie. V NASA začal pracovať nový Astrobiologický inštitút, ktorý je zameraný na bádanie v tejto oblasti. O niekoľko rokov bude totiž k Marsu vyslaná sonda, ktorá prinesie na rozbor vzorky hornín a vdaka ALH 84001 si vedci v pravý čas uvedomili, aký zložitý a komplexný problém sa pred nimi môže objavíť.

Podľa ST 4/99
spracoval Peter Kluvánek

Io očami HST

HST exponoval vulkanický mesiac Jupitera vo chvíli, keď sa donedávna ešte „spiaca“ sopka Pillan prebudila. Vulkánom vyvrhnutý oblasť bol preskúmaný na troch ultrafialových vlnových dĺžkach; ukázalo sa, že ho tvoria jemné kryštály „snehu“ dvojoxidu siričitého. Sopečný oblasť je veľmi horúci a pohybuje sa extrémnou rýchlosťou. Údaje získané zo sondy Galileo hovoria, že jeho teplota dosahovala krátko po vyvrhnutí priajmenšom 1500 kelvinov; počiatocnú rýchlosť vyvrhnutého materiálu odhadli vedci až na 2880 kilometrov za hodinu. Teplota oblasťu v medziplanetárnom priestore rýchle klesala, plynný SO_2 sa postupne zmenil na kryštály ľadu.

Sondy Voyager a Galileo objavili na povrchu Io už 25 aktívnych sopiačiek, pričom je nepochybne, že vyše stovky „spiacich vulkánov“, ale i početných „horúcich škvŕň“ sa už v krátkom čase môžu opäť aktivizovať. Astronómovia objavili explóziu Pillana počas pozorovania podobnej aktivity na nedalekej, dávnejšie známej sopke Pelé, ktorá leží 300 kilometrov od Pillana. Pelé je momentálne v pokoji.

V prípade Io je typické, že počas každého príbliženia je aktívnych 8 až 9 sopiačiek; prezrádzajú sa mohutnými čepcami vyvrhnutého materiálu, ktorý sa nakrátko mení na drobné, rýchle zamrzajúce kvapôčky.

Posledný a najdôkladnejší prieskum Io sa uskutoční v poslednej tretine tohto roka: 10. októbra bude Galileo snímať povrch Io z výšky 300, 25. novembra z výšky 610 kilometrov. Ak prístroje na palube sondy nepoškodí intenzívna radiácia Jupitera v blízkosti Io, vedci získajú snímky, ktoré budú mať rádovo vyššie rozlíšenie, ako všetky, ktoré doposiaľ získali.

Podla HST Press Releas –eg-

Objav chlóru pri Io

Sonda Galileo objavila v blízkosti Jupiterovho mesiaca Io chlór, čo naznačuje, že na povrchu mesiaca by sa mohla vyskytovať kuchynská soľ. Vedci z University of Colorado v Boulderi sa nazdávajú, že chlór, jedna zo zložiek chloridu sodného, je vedľajším produkтом mohutnej vulkanickej aktivity na povrchu tohto najaktívnejšieho telesa našej Slnečnej sústavy. V atmosfére nijakého iného telesa nášho solárneho systému sa doteraz neobjavilo také veľké množstvo chlóru ako v prípade Io.

Mohutné sopyky na Io pripomínajú ozrutné gejzíry, ktoré chrlia materiál do výšky stoviek kilometrov. Emisie chlóru v atmosfére Io, ale i v toruse nabitých častic, ktorý sa vytvoril okolo Jupitera, objavili pozemskí pozorovatelia na Kitt Peak National Observatory v Arizone. (Torus je mohutné „puzdro“, pripomínajúce vlašský orech.)

Io torus (tak ho pomenovali objavitelia) je päťkrát väčší ako Jupiter; do okolitého priestoru vyžaruje viac energie ako všetky pozemské elektrárne. Ešte pred objavom chlóru identifikovali vedci v spektre získanom z torusu aj emisné čiary sýry, kyslíka, sodíka a draslíka.

Najčastejšie sa vyskytujúcimi anorganickými zlúčeninami chlóru sú chlorid sodný (kuchynská soľ) a chlorid vodíka, bezfarebný plyn, unikajúci zo sopiačiek Io.

– Zatiaľ netušíme, ako sa soľ na Io vytvorila – vrazil Nick Schneider, šef tímu z Boulderu. – Na rozdiel od Zeme na povrchu Io neexistuje oceán, ktorý by sa vyparoval a zanechával na obnaženom dne depozity soli. Nie je však vylúčené, že soľ sa ukladala v podpovrchových rezervoároch vody; mohli ju distribuovať aj podpovrchové toky a rieky. Soľ však môže byť aj produkтом

chemických reakcií v atmosfére Io. Chlór do atmosféry mohli napumpovať početné aktívne sopky na povrchu ohnivého mesiaca. Možné je však aj to, že chlór z povrchových hornín Io uvoľňuje husté bombardovanie povrchu nabitými časticami.

Ako je známe, na Zemi aj relativne malé množstvo chlóru, ktoré produkuje priemysel, rozbija krehké molekuly ozónu a narušuje pre život takú dôležitú ochrannú ozónovú vrstvu. Objem chlóru v atmosfére Io je však miliardkrát vyšší ako na Zemi.

– Chlór až sodíka je v ioanskej atmosfére tolko, že soľ v nej môže vznikať chemickými reakciami, – vrazil Schneider. – Štúdium chlóru v atmosfére Io nám uľahčujú výsledky výskumu ozónovej diery na Zemi. Skúsenosti, ktoré získame na Io, nám uľahčia výskum chlóru na iných planétach.

Podla NOAO Press Releas –eg-

Život na Europe je nepravdepodobný

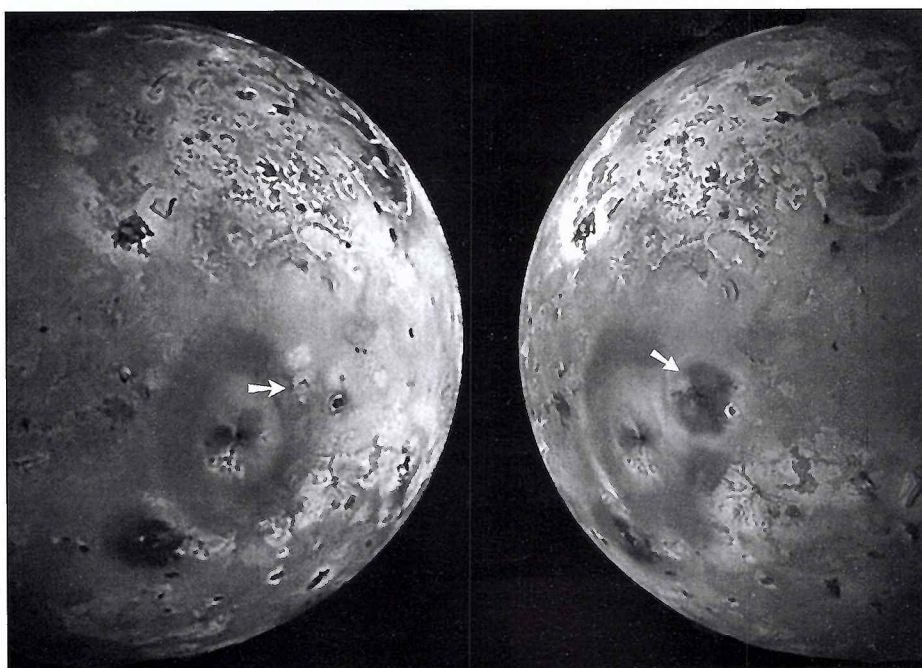
Budúci prieskumníci zamrznutého oceánu na Jupiterovom mesiaci Europa si nemusia brať na expedíciu rybárske náradie, – upozorňujú (žartom) vedci z California Institute of Technology (Caltech). V oceáne môžu objaviť nanajvyš jednobuňčné organizmy.

Geobiológ Eric Gaidos zverejnili začiatkom júna štúdiu, z ktorej vyplýva, že všetky druhy energie, ktoré využívajú pozemské živé organizmy, sú pod hrubou kôrou ľadu na Europe nedostatkové. – Pri porovnávacej planetológií musíme byť nanajvyš opatrní, – vyhlásil Gaidos. – Existencia oceánu na Europe ešte zdaleka neznamená, že sa tam vyvinul život.

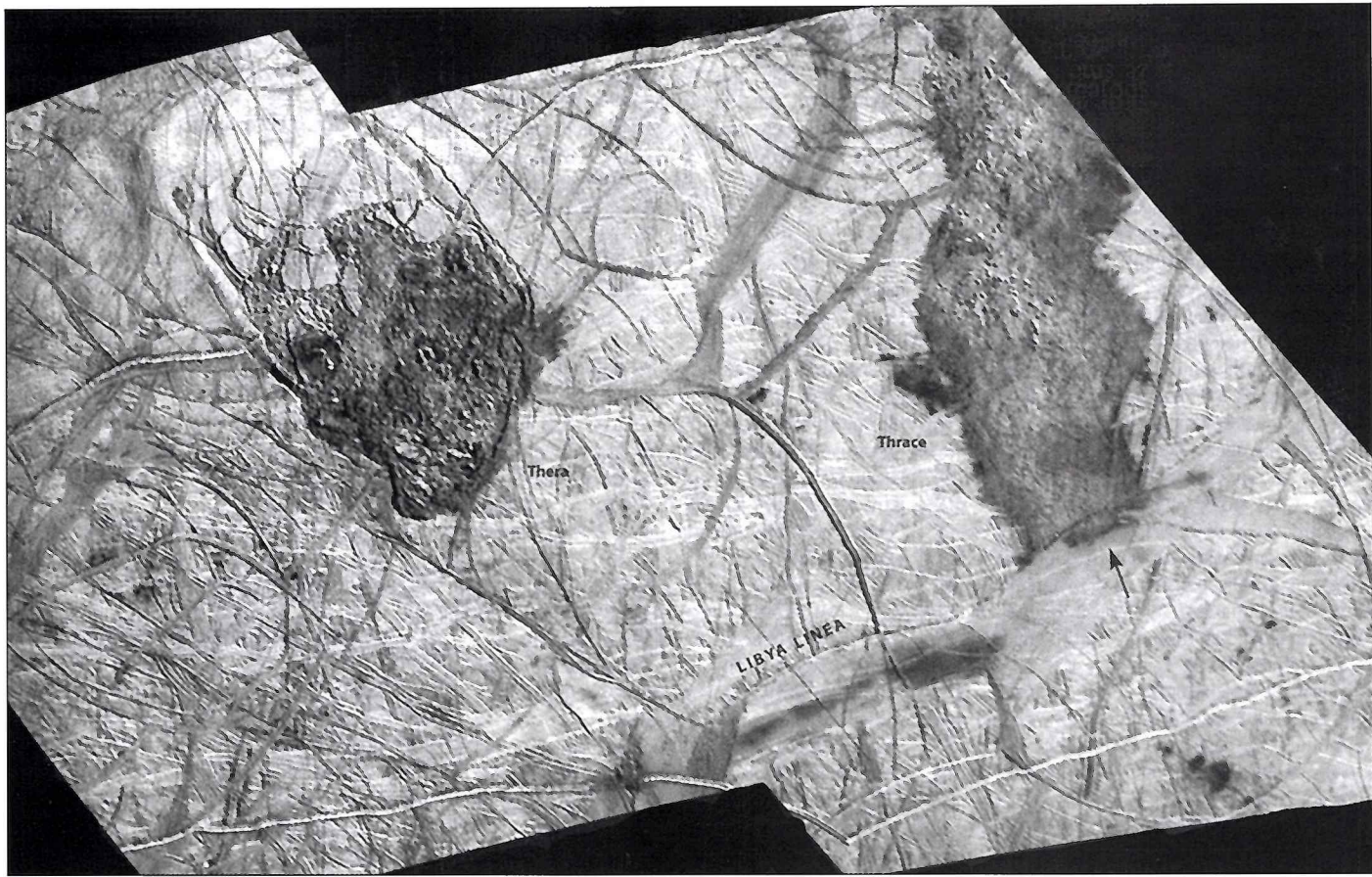
Na Zemi väčšina chemickej energie vzniká zo slnečného svetla prostredníctvom fotosyntézy, alebo z kyslíka, ktorý je vedľajším produkтом tohto chemického procesu. Kyslík potrebujú do konca aj tie najexotickejšie zo všetkých doteraz objavených pozemských organizmov, žijúce v okolí superhorúcich vulkanických priechodov na dne oceánov, ktoré boli objavené pred dvadsaťimi rokmi. Všetky pozemské organizmy, aj tie, ktoré žijú pod hrubými vrstvami ľadu, obývajú otvorené systémy. Inými slovami: prostredie, v ktorom žijú, prijíma energiu zvonku.

Na rozdiel od Zeme je Europa uzavretým systémom. Cez hrubú vrstvu ľadu slnečné svetlo nedokáže preniknúť; množstvo energie, ktoré do tamojšieho oceánu zvonku prenikne, je v porovnaní s množstvom, ktoré využívajú aj tie najskromnejšie pozemské organizmy, príliš nepatrné. Je skoro vylúčené, že by sa v tamojších podmienkach dokázali vyvinúť mnohobuňčné organizmy; málo pravdepodobné je aj existencia jednobuňčných organizmov.

Gaidos použil analógiu vodopádu energie: – Chemická energia klesá zhora nadol podobne ako vodopád pritahovaný gravitáciou. Život v tomto prípade predstavuje koleso poháňané energiou padajúcej vody. Bez zdroja chemickej energie sa však koleso života zastaví. Zem má dostať metabolickej energie potrebnej pre život; ak by však vyhasol jej zdroj, koleso by sa zastavilo.



Niekedy medzi aprílom a septembrom 1997 vybuchla na Io sopka Pillan Patera a pokryla okolie kráteru kužeľom vyvrhnutých materiálov s priemerom 400 kilometrov. Tento tmavý príkrov pokryl čiastočne aj tmavú sínatú aureolu okolo sopky Pele Patera. Sonda Galileo sa vo finále svojej misie sústredí najmä na Io: v októbri tohto roku sa k Io priblíži na 575 km, v novembri na 300 km, vo februári budúceho roku na 200 km. V tom istom čase preletí Jupiterovým systémom obrovská sonda Cassini, smerujúca k Saturnu. (Sopka Pillan je označená šípkami.)



Na snímke vidíte časť terénu Európy, ktorý vedci pokladajú za najvhodnejšie miesto pristátia pre sondu – lander. Zaujímavé sú najmä obe škvry – Thera (vľavo) a Thrace (vpravo), ktoré sú mierne zanorené do ľadu. Ide o „jazerá“ z podložia vyvretého teplého ľadu, premiešaného s hrdzou, ba možno aj s organickými zlúčeninami. Planetológovia predpokladajú, že práve pod týmito škvunami je ľadová kôra Europa najtenšia. Šipka označuje miesto, kde teplý ľad zacelil mohutnú trhlinu Libya Linea.

Štúdia možnosť života na Europe celkom nevylučuje. Vedci upozorňujú, že preskúmali iba možnosť života vznikajúceho a vyvíjajúceho sa báze tohto istého zdroja energie, z ktorého čerpajú energiu aj pozemské organizmy: – Vytýčili sme limity, v rámci ktorých je život možný, – hovorí Gaidos. – Komplexnejší život je v podmienkach Europa nepredstaviteľný, ale existujú aj iné alternatívy ku vzniku a vývoju jednoduchých organizmov. Jednou z týchto možností je, že by organizmy na Europa čerpali potrebnú chemickú energiu z oxidovaného železa – hrdze, ktorá môže pod ľadom existovať. Nevylučujeme však ani iné mechanizmy, ktoré by mohli rozkrútiť koleso života. V každom prípade by však išlo iba o jednobunečné organizmy.

Podľa Media Relations Caltech –eg-

Drvina po impaktoch v okolí Ganymeda

Medzinárodný tím Jadrového inštitútu Maxa Plancka objavil v okolí najväčšieho z Jupitervých mesiacov oblak prachových zrniek. Zrnká sú pozostatkom hmoty, vymrštenej do okolitého priestoru po dopade početných asteroidov. Prítomnosť zrniek v okolí Ganymeda zaznamenal prachový detektor na palube sondy Galileo. Ide o prvý prípad objavu impaktom generovaných zrniek v okolí preskúmaných mesiacov planét našej Slnečnej sústavy.

Takto materiál sa vyskytuje vo veľkých

množstvách v prstencoch obrúcich planét, ktoré sa vytvorili v rovine ich obežných dráh. Po náraze asteroidu na povrch mesiaca sa časť hornín vypári; časť rozdrvených hornín však energia impaktu vymrští takou rýchlosťou, že ich gravitácia mesiaca neudrží a tie preniknú do okolitého priestoru.

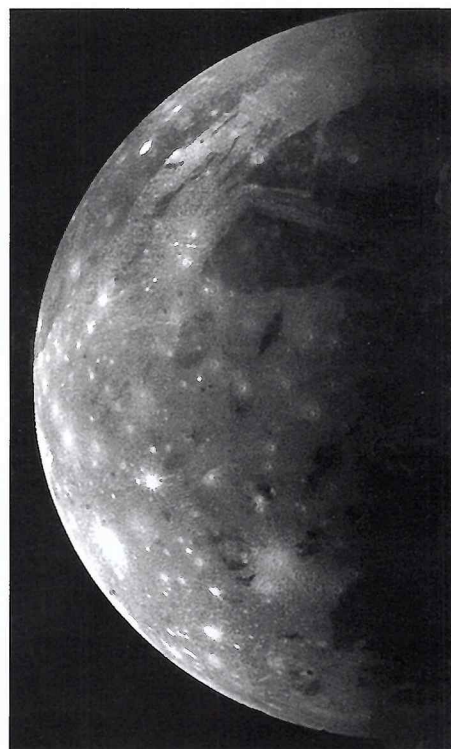
Nikdy doteraz sa nepodarilo tento dôležitý mechanizmus produkcie prachu vo vesmíre zmerať, – vráví dr. Harald, vedúci tímu. – Násprístroj dokáže zmerať smer pohybu, hmotnosť i rýchlosť impakтом vymrštených zrniek. Podobné oblaky sme objavili aj pri Jupiterových mesiacoch Callisto a Europa, čo znamená, že aj onz boli významnými dodávateľmi tohto materiálu.

Detektor DDS na palube Galilea objavil oblak prachu počas blízkeho obletu Ganymeda vo vzdialosti niekoľkých tisícok kilometrov.

Vedci sú presvedčení, že značná časť materiálu uvoľneného impaktmi z mesiacov Jupitera sa stala súčasťou jeho prstenca. Najväčšie mesiace, najmä Ganymedes, však veľa materiálu do prstenca nedodali, pretože majú príliš silné gravitačné pole.

Prachový oblak je riedky, optickými kamerami nerozlíšiteľný. Detektor DDS, vybavený zlatým terčom s plochou 1000 cm^2 však prachové zrnko dokáže zachytiť, hoci ich koncentrácia v riedkom oblaku sa dá vyjadriť údajom 1 zrnko v 8000 kubických metroch priestoru. Prachový oblak, z vedeckého hľadiska nesmieť zaujímavý, nepredstavuje pre sondu nijaké nebezpečenstvo.

Office of Public Relations, University of Boulder
–eg–



Aj na Ganymede už bola objavená voda. Prístroje Galilea detegovali zamrznuté ložiská vodnej parí unikajúce z tektonických trhlin. Najväčšie množstvá vody sú však skoncentrované vo veľkých tmavých ostrovoch, ktoré vytvára zamrznutá zmes hornín a vodného ľadu.

Astronómovia našli najchladnejších slnečných susedov

Páru ďalekohľadov pracujúcich v blízkej infračervenej oblasti (1,3 m ďalekohľad nedaleko Tucsonu, AZ a ďalekohľad na Cerro Tololo, Chile) sa podarilo detegovať štyroch z doteraz najchladnejších hnedých trpaslíkov. Hnedý trpaslík nie je ani planéta, ani hviezda. Je to objekt, ktorý nikdy nebude dosťatočne horúci na to, aby sa v jeho jadre spustili termonukleárne reakcie. Na druhej strane je tento nebeský objekt masívnejší než planéty a neformuje sa v blízkom okolí hviezd, ako napr. planéty v Slnečnej sústave. „Tieto nové objavy zasahujú do záujmov stelárnej aj planetárnej astronómie,“ hovorí Adam Burgasser, doktorand z Caltechu, ktorému sa podarilo nájsť štyroch hnedých trpaslíkov na snímkach zo spomínanej dvojice ďalekohľadov. Ďalekohľady pracujú v rámci projektu prehliadky oblohy na 2 mikrónoch: Two-Micron All Sky Survey (2MASS), ktorý má za úlohu katalogizovať galaxie, hviezdy a telesá v celej našej Galaxii. 2MASS projekt bol založený na University of Massachusetts a JPL/Caltech Infrared Processing and Analysis Center (IPAC) spracúva snímky z 2MASS na použiteľné dátu. „Myslímme si, že tito hnedí trpaslíci sa nachádzajú vo vzdialosti asi 30 svetelných rokov,“ hovorí Dr. Kirkpatrick z IPAC. „Keďže naše ďalekohľady môžu vidieť iba tých najbližších, znamená to, že Galaxia bude určite plná objektov tohto typu.“ Objavení hnedí trpaslíci sa na chádzajú v súhvezdiach Veľkej medvedice, Leva, Panny a Havrana.

Podla JPL/NASA press release
(ak)

Nový typ polárnej žiary

Nedávno sa vedcom z JPL/NASA podarilo pomocou satelitu Polar, ktorý je súčasťou medzinárodného programu v slnečno-zemskej fyzike, odhaliť „nový“ druh polárnej žiary.

Stará známa polárna žiara vzniká pri interakcii magnetického poľa Zeme so slnečným vetrom. V polárnych oblastiach vnikajú do zemskej magnetosféry energetické časťice slnečného vetra, ktoré excitujú atómy a molekuly vzdachu. Tie potom produkujú nádherné farebné predstavenie, ktoré môžeme pozorovať okolo polnoci vo vysokých zemepisných šírkach, v oblastiach blízko zemských pólov (severná a južná polárna žiara).

Satelit Polar však zanamenal nezvyčajnú polárnu žiaru, ktorú v magnetosfére našej Zeme vytvorili medziplanetárne rázové vlny, ktoré v slnečnom vetrovom výtvorili rýchlo sa pohybujúce oblaky ionizovanej plazmy vyvrhnutej zo Slnka pri výronoch koronálnej hmoty. Novoobjavené polárne žiary sa vyskytujú v rovna-

kých zemepisných šírkach, ale okolo poludnia, takže ich kvôli slnečnému svetlu nemôžeme pozorovať. To celkom jasne vysvetluje, prečo sme ich objavili až teraz. Navýše, sa tieto denné polárne žiary pohybujú oveľa rýchlejšie a opačným smerom ako zvyčajné.

„Satelit Wind/NASA mal sledovať medziplanetárne rázové vlny,“ hovorí Dr. Zhou, ktorý je aj členom vedeckého tímu zdržanejho okolo satelitu Polar. „Chceli sme zistiť, aký vplyv majú medziplanetárne rázové vlny na Zem. Boli sme prekvapení, keď sme zistili, že spôsobujú nezvyčajné, rýchlo sa pohybujúce polárne žiary.“ „Sme strašne zvedaví, ako tieto nové polárne žiary vyzerajú zo Zeme,“ poznámenáva Dr. Tsurutani z JPL/NASA. Pravdepodobne veľa profesionálnych aj amatérskych pozorovateľov zatúží vidieť tento fenomén, napríklad z nórskych Spitzbergov, kde je v zime obloha tmavá už na poludnie.

Podla JPL/NASA press release (ak)

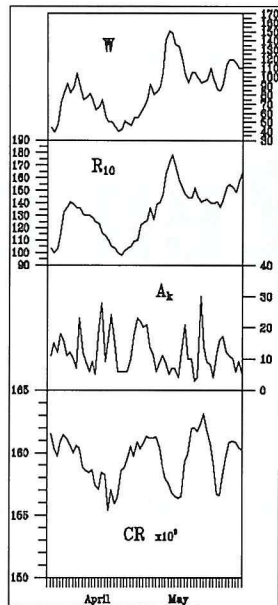
Slnečná aktivita (apríl – máj 1999)

Aktivita Slnka nadálej vzrástá. Niektorí autori predpovedajú éru maxima slnečnej aktivity už na koniec roku 1999. Iní predpokladajú, že slnečná aktivita dosiahne maximum až niekedy v roku 2001. Tieto rozporu svedčia o tom, že vlastne nepoznáme podstatu predpovedaného javu a použité metódy majú nepríamy charakter.

Za najväčší úspech vo výskume Slnka v poslednom období možno považovať úspech technikov z NASA a ESA, ktorí sa podarilo obnoviť funkciu všetkých prístrojov na observatóriu SOHO. O tejto udalosti sme už písali v čísle 5/1998, kde sú uvedené aj internetové adresy s podrobnejšími informáciami. Nie každý má internet, preto bude užitočné a pre všetkých použné zopakovať kľúčové momenty akcie. Aby sme precítili jej zložitosť, treba si vopred uvedomiť, že SOHO sa nachádza vo vzdialosti okolo 1,5 milióna km.

25. júna 1998 sa prerušilo spojenie s observatóriom. Všetky tímy riadenia letu aj jednotlivých prístrojov sa zúčastňovali na hľadaní príčiny aj možnosti nápravy.

23. júla prechádzalo miesto na oblohe, kde sa nachádzalo SOHO nad najväčšou rádiovou parabolou na svete (305 m pevná anténa v kráteri Arecibo na Portoriku). Pomocou tejto antény bol vyslaný radarový signál s výkonom 580 kW a odraz od sondy bol zachytený 70 m anténou v Goldstone (USA). Takto bola sonda sledovaná počas jednej hodiny. Analýza odrazeného signálu ukázala, že sonda rotuje s periódou 53 s, pričom slnečné panely sú natočené hranou



k Slnku. Rotačná os však vykonáva precesný pohyb a boli určené obdobia, kedy panely budú v priažnivej polohe k Slnku.

Tieto znalosti umožnili 8. augusta nadviazať spojenie so sondou a zistiť, v akom stave sa nachádzajú obslužné aj pozorovacie prístroje. Zistilo sa, že nepracuje ani jeden z dvoch gyroskopov, je zmrznuté hydrazínové palivo do korekčných trysiek a teplota väčšiny prístrojov je mimo pracovného rozsahu.

3. septembra sa podarilo dobit batériu na sonda a rozmraziť palivo. Obsluha orientácie sondy bola preprogramovaná tak, že sa uskutočňuje povelmi zo Zeme. Sonda bola takto zorientovaná na Slnko a postupne do 24. októbra boli oživené všetky prístroje na sonda. Predpokladá sa, že budú v prevádzke až do roku 2003. Myslím, že môžeme pohratulovať 160-člennému obslužnému tímu sondy SOHO k vynikajúcemu úspechu.

Ďalšie informácie môžu majitelia internetu získať na:

<http://sohowww.estec.esa.nl>

Najnovšie obrázky Slnka z prístroja EIT sú na:

http://unbra.nascom.nasa.gov/eit/eit_full_res.html

Milan Rybanský

Rozpad guľových hviezdomokôp

Najväčší ďalekohľad na južnej pologuli zaregistroval slapovery rozpad guľovej hviezdomokopy jadrom našej Mliečnej cesty (presnejšie jej centrálnej výdute, tzv. „bulge“). Je to proces už dávno očakávaný, ale až nedávno bol potvrdený. Unit Telescope 1 (UT 1), prvý z ďalekohľadov spomedzi štyroch, ktoré čoskoro vytvoria v severnom Chile sústavu VLT, je už spolu s druhým (UT 2) v prevádzke. Ako časť vedeckého programu na overenie funkcií ďalekohľadu UT 1 boli nedávno získané snímky guľovej hviezdomokopy 8. magnitúdy NGC 6712 v súhvezdí Štíta vo viditeľnej oblasti spektra. Táto hviezdomokopa je od nás vzdialená asi 23 000 svetel-

ných rokov. Hoci hviezdomoka je viditeľná i väčším triédrom, pohľad ďalekohľadom UT 1 umožnil zaznamenať aj tie najslabšie hviezdy. Tieto snímky ukázali zdánlivú záhadu: vo väčšine guľových hviezdomokôp hviezdy s nízkou hmotnosťou prevažujú čo do počtu nad hviezdami s vyššími hmotnosťami. Ale v NGC 6712 vidíme pravý opak. Ako sa získal dôkaz slapovery rozpadu? Je už známe, že málo hmotné hviezdy majú tendenciu stráviť väčšinu času v okrajových častiach určitých guľových hviezdomokôp, zatiaľ čo hmotnejšie hviezdy klesajú hlbšie k jadru hviezdomokôp. Neobyklá demografia v NGC 6712 teda podporuje domienku,

že niečo muselo hviezdy vypudit z jej okrajových častí. A to je presne to, čo astronómovia očakávajú od vplyvu slapovery jadra Mliečnej cesty na guľové hviezdomokopy. Predpokladá sa, že NGC 6712 sa na svojej dráhe približuje k jadru Galaxie, kde sú slapovery sily veľmi veľké, na menej než 1000 svetelných rokov.

Ako hovorí odborník na guľové hviezdomokopy I.R King (University of California, Berkeley), dôkaz slapovery „trhania“ zistený pomocou UT 1 nie je prvým svojho druhu. Pred dvoma rokmi King so spolupracovníkmi zistili pomocou HST menej nápadný podobný príklad v guľovej hviezdomokope 6. magnitúdy NGC 6397 v súhvezdí Oltár.

Podla Sky & Telescope, jún 1999
RNDr. Zdeněk Komárek

Jiří Grygar:

Žeň objevů 1998

(XXXIII.)

Věnováno památce čestné členky České astronomické společnosti RNDr. Marty Chytílové (1907–1998) z Brna

Elektronická verze těchto přehledů od r. 1995 je přístupná na WWW domovenkách časopisu Kozmos (<http://www.ta3.sk/kozmos/kozmos.html>) resp. Instantních astronomických novin (<http://www.ian.cz>).

1.6. Planetární soustava

Řada autorů upozornila na pozoruhodnou **lineární závislost mezi magnetickým momentem** (v jednotkách A.m²) a momentem **hybnosti** pro řadu těles Sluneční soustavy (Merkur, Ganymed, Ió, Země, Uran, Neptun, Saturn a Jupiter). Naproti tomu velmi nízké magnetické momenty mají tak různá tělesa jako Měsíc, Callist, Europa, Venuše a Mars. Podrobně se vlastními **magnetickými poli planet a jejich družic** zabýval L. Ksanfomali. Nejlépe je přirozeně prozkoumáno **magnetické pole Země**, jež je nesouměrné, skloněné a vyosené. Indukce magnetického pole dosahuje na rovníku 31 µT, na severním pólu 58 µT, ale na jižním dokonce 68 µT. V zásadě dipolové pole má však i svou kvadrupólovou a oktupólovou složku. Na geograficky severní zemské polokouli se však nalézá jižní magnetický pól v poloze 78,6° s.š. a 70,1° v.d. a osa magnetického dipolu je skloněna k rotační ose pod úhlem 11,5°. Poloha magnetického pólu relativně rychle driftuje o 0,4°/10 let. Vůči středu Země je magnetická osa vyosena o 450 km. Velikost indukce magnetického pole Země v poslední epoše klesá v relativní míře tempe 5,10–4/rok, tj. asi o 30% za posledních 1600 let. Magnetická osa dálka podléhá precesi v periodě 9000 let. V posledních 70 milionech let dochází v průměru 3krát za milion roků k přepolování zemského magnetického dipolu.

V porovnání se Zemí je magnetické pole **Merkuru** nicotné, neboť dosahuje na pólech indukci jen 700 nT – má však prakticky týž sklon magnetické a rotační osy planety 12°. Neměřitelně slabé (< 2 nT) je magnetické pole **Venuše**, což nejspíše souvisí s její extrémně pomalou rotací. Také magnetická osa **Marsu** svírá s jeho rotační osou ostrý úhel 15°, avšak orientace magnetických pólů je opačná proti Zemi (na severu je tam i severní magnetický pól). Sonda MGS ujistila, že indukce magnetického pole Marsu dosahuje v průměru 40 nT, ale místy se vyskytuje lokální maxima až o řadu výšší. Stejnou orientaci jako u Marsu má i magnetické pole **Jupiteru** s nejvyšším hodnotami magnetické indukce u severního pólu planety – 1,44 mT. Magnetická osa je zde skloněna pod úhlem 10° k ose rotační a je vyosena vůči centru planety o plných 70 000 km. Jedeně **Saturn** má pole souosé s indukcemi až 84 µT u severního pólu planety. Naproti tomu **Uran** má doslova zkřížené magnetické pole s indukcí až 228 µT, jež je vyoseno o plných 8000 km od centra planety a skloněno pod úhlem 59° k rotační ose (ta však – jak známo – svírá úhel 98° s normálovou k oběžné rovině). Podobně je na tom i **Neptun**, kde vyosení magnetického pole dosahuje 55% poloměru planety (13 600 km) a vzájemný sklon os 47° při maximální indukci 13,3 µT. Největší magnetické pole mezi družicemi planet vykazuje Jupiterův **Ganymed** – 0,75 µT s vzájemným sklonem os 10° a nejslabší dosud změřené pole má nás Měsíc – do 30 nT. Autor soudí, že potenciální kandidáty na měřitelné magnetické pole jsou ještě **Saturnův Titan** a **Neptunův Triton**.

D. Richardson se pokusil o rozsáhlou simulaci vzniku

planet sluneční soustavy na superpočítací Cray T3E, kdy sledoval dráhový a srážkový vývoj milionu planetesimál po dobu jednoho milionu let. Zdá se, že tudy vede cesta k pochopení, proč planetární soustava vypadá tak jak vypadá. A. Frank na základě rozsáhlých výpočtů **dráhového chaosu** soudí, že v průběhu vývoje naší planetární soustavy některé planety už dávno zmizely, a že tento trend ještě neskončí – dalšími kandidáty smrti jsou prý Merkur a Mars. Nicméně příčina chaosu planetárních drah není ani deset let po objevu tohoto fenoménu zřejmá.

J. Frogel a A. Gould se zabývali otázkou, zda v dohledné době vlivem náhodných pohybů se dostane některá sousední hvězda do takové blízkosti ke sluneční soustavě, aby vyvolala dráhové poruchy v **Oortově mračnu komet**. Využili k tomu přesných údajů o prostorových vlastních pohybech hvězd, jak se dají odvodit z přesných měření družice HIPPARCOS, a s potěšením konstatovali, že v nejbližším půl milionu let se žádná hvězda nepřiblíží do vzdálenosti řádu 10 000 AU od Slunce, takže případná smrtí kometární přeháňka Zemi nehrozí po dobu nejméně 700 000 let.

Konečně M. Duncan a J. Lissauer studovali efekty výrazné ztráty hmoty Slunce v budoucí fázi červeného obra na **stabilitu planetární soustavy**. Ukázali, že terestrické planety budou mít pak po dobu další miliardy let dráhy stabilní (pokud přežijí to horák!), a obřích planet se změna hmotnosti Slunce vůbec nedotkne. Na tento vývoj Slunce však doplatí Pluto, jenž se prostě ztratí v hlubinách kosmického prostoru.

D. Hamilton studoval **akreci planetesimál** v rané epoše vzniku sluneční soustavy a ukázal, že vzájemná přitažlivost planetesimál urychlují tempo akrece a dává vyniknout nejhmotnějším planetesimálům. Proto se obří planety Jupiter a Saturn dostavěly nejrychleji již během několika milionů let, pokud mají kamenná jádra. Jestliže vznikly převážně jako plynné koule, pak jim k tomu stačilo jen pář set let! Jupiter však vznikl daleko od Slunce, než je dnes, a na svou současnou dráhu se přemístil během první stovky milionů let po svém vzniku. V simulaci sledoval autor vývoj 50 protoplanet po dobu sto milionů let a vskutku obdržel realistické rozložení terestrických planet sluneční soustavy, avšak s výstřednostmi a sklony drah ke ekliptice až o řadu většími, než má dnes Venuše a Země. Je proto dodnes záhadné, proč tyto planety obíhají v podstatě po kruhových drahách s malými sklony. Stejně tak není úplně jasné, proč všechny planety sluneční soustavy obíhají kolem Slunce ve stejném směru.

Tento problém však patrně z větší části vyřešili trojrozměrnými simulacemi **vývoje planetární soustavy** J. Chambers a G. Wetherill. Původní prach v hlavní rovině souměrnosti protoplanetární mlhoviny se při malých rychlostech slepuje a tak vznikají až 10 km planetesimály. Při tomto rozdílu začíná hrát gravitace planetesimálů slepovací úlohu a vznikají planetární embryá o průměru až 3000 km. Jelikož největší embryá mají nízké sklony a malé excentricity, jsou nejúčinnějšími lapači dalšího materiálu. Zbylý plyn v prahmlovině přispívá ke zkruhování protáhlých elliptických oběž-

ných drah planetárních embryí. Tako zbytnělá embryá začnou silně rušit dráhy okolních embryí a dochází k obřímu impaktům, takže během 300 milionů let po začátku akrečního procesu jsou terestrické planety na dnešních drahách dostavěny.

2. Hvězdy

2.1. Slunce

Úplné zatmění Slunce 11. srpna 1999, viditelné u našich jižních sousedů, oživuje otázku, kdy se takové úkazy daly v průběhu posledního tisíciletí pozorovat u nás. V Praze byla viditelná úplná sluneční zatmění 7. 6. 1415 a 12. 5. 1706 jakož i prstencové zatmění 1. 10. 1502. Příští úplné zatmění v Praze bude pozorovatelné až 7. října 2135. Průměrný interval mezi úplnými zatměními na daném místě zemského povrchu činí 360 let. Poslední úplné zatmění Slunce v Evropě bylo pozorováno před čtyřiceti lety, a to je asi ten hlavní důvod, proč je v době sepisování tohoto přehledu celý kontinent vzhůru nohama. Při letošním zatmění by při troše štěstí mělo být možné pozorovat očima jednak nějakou Perseidu a jednak i velmi vzdálené hvězdy (Rigel a Deneb) pouhým okem – komu se to kdy povede témař v pravé poledne!

A. Conway aj. se zabývali možností předpovědi maxima 23. cyklu sluneční činnosti (cykly se počítají od slunečního minima v r. 1755) a ukázali, že dostatečně přesná předpověď na úrovni 10% v určení okamžiku maxima a jeho relativního čísla je dosud nemožná. W. Dziembowski aj. potvrdili, že poslední minimum sluneční činnosti nastalo v čase 1996,8 roku. R. Oliver aj. ukázali, že vysoce energetické sluneční erupce se opakují v periodě 152±158 dnů, a že plochy skvrn kolísají v periodě 158 dnů v letech 1874–1993. Efekt byl nejzřetelnější vysokých cyklů, zejména u rekordního cyklu 19, ale vymizel po 21. cyklu. Podle D. Gougha a M. McIntyra se totiž uvnitř zářivé zóny Slunce vyskytuje silné magnetické pole řádu 0,1 mT, významné na homogenní rotaci slunečního nitra. Nad touto zónou se pak nachází přechodová vrstva (tachoklin) a tam začíná diferenciální rotace slunečního tělesa, neboť – jak známo – sluneční povrch rotuje rychleji na rovníku než v okolí pólu.

Souhrnné údaje o měření **magnetického pole** Slunce jako hvězdy uveřejnili V. Kotov aj. na základě 2457 dnů měření magnetografem na Mt. Wilsonu. Pole má obvykle indukci řádu desítek µT, výjimečně až 300 µT a kolísá s periodami 26,9 ± 28,1 dne.

Naprosto nezastupitelnou roli při výzkumu Slunce sehrála jedinečná družice/sonda SOHO, která odstartovala ze Země v prosinci 1995 a v únoru 1996 se usadila v Lagrangeově bodě L₁ soustavy Slunce–Země, odkud pomocí 11 přístrojů sledovala Slunce nepřetržitě po dobu více než dvou let. Objevy SOHO jsou tak významné a početné, že by stálo za to jim věnovat zvláštní přehled.

Rozhodně však nemohou vynechat zprávu o pozorování A. Kosovičeva a V. Žarkové, kteří pomocí SOHO

poprvé prokázali výskyt **slunceřesení** v souvislosti se zcela průměrnou erupcí 9. července 1996. Od epicentra erupce se totiž po povrchu Slunce šířily slunceřesné vlny s amplitudou až 3 km a rychlosť zvyšující se od 10 do 110 km/s, takže jev byl o řád mohutnější, než předvídala teorie. Vlny byly sledovány po dobu 70 minut do vzdálenosti 120 000 km od erupce. Na otevřené Richterově stupnicí dosáhla magnitudo slunceřesení hodnoty 11,3; bylo tedy 40 000krát mohutnější než níčivé zeměřesení v San Franciscu r. 1906.

Většina slunečních observatoří mohla z kosmu i ze Země sledovat jednu z největších slunečních **protuberancí**, jež se objevila 2. června 1998 v časních dopoledních hodinách našeho času a rychlosť 100 km/s stoupala až do rekordní výšky 1 milionu km od Slunce. Teplota plynu v protuberanci dosáhla hodnoty 10 K a její pohyb byl zřetelně vyvolán přeměnou magnetické energie v kinetickou.

V dubnu 1998 se na polární dráhu dostala levná, avšak velmi výkonná, sluneční družice **TRACE** pro výzkum přechodné oblasti mezi chromosférou a korónou. TRACE na sebe upozornila již počátkem května, když pozorovala proces uvolnění magnetické energie ve vysoké atmosféře Slunce v pásmu EUV. Na filmové animaci je dobré patrné, jak se náhle rovinuly do sebe dvě navzájem kolmě magnetické smyčky a tuto krátké spojení (rekonexe) uvolnilo tak velké množství energie, že vzplanula sluneční erupce. Sběrný film ukazuje, jak se úzké pásy sluneční atmosféry dlouhé až 100 000 km ohřívají a zase ochlazují během několika minut. Do konce roku pořídila TRACE již na 700 tisíc snímků s vynikajícím rozlišením. Na snímcích jsou patrné vývoje koronálních smyček i „mechovitý porost“ o tloušťce asi 2000 km, vznázející se nad fotosférou ve výšce asi 3000 km a ohřívat na 1 MK. Tento porost souvisí obvykle s fakulemi v chromosféře, odkud pak smarem nahoru vybíhají spikule chladného plynu.

Podle J. Thomase je toto **jemná struktura** slunečního povrchu vytvářena nelineární reakcí stoupajícího magnetického pole na turbulentní konvekci těsně pod povrchem Slunce. Pole se přenáší od základny konvektivní zóny vztiskem a difuzí. Naneštěstí jsou však magnetické trubice tenčí než nynější rozlišení přístrojů (0,2"; tj. 140 km na povrchu Slunce), takže došlo ke kuriózní situaci, kdy teorie jevů v přechodové oblasti na povrchu Slunce předbíhá pozorování. Z teorie vyplývá, že tyto procesy doprovází hlasitý rámus, jelikož při pfenosech, proudění a turbulentci vznikají globální akustické oscilace, využívané v helioseismologii.

Podle E. Priesta aj. je právě rekonexe magnetických siločar spolu s turbulentním brzděním v chromosféře hlavní příčinou ohřevu sluneční **koróny** na teplotu až 6 MK. C. Schrijver aj. uvádí, že magnetické energie aktivních oblastí ve fotosféře a chromosféře je obruská a pomocí malých bipolárních magnetických struktur, podléhajících rekonexi, se vskutku takřka samotně přenáší do koróny.

Ve Spojených státech stále funguje první **neutrino-vý detektor** ve zlatém dole Homestake v Jižní Dakotě v hloubce 1478 m pod zemí. Od r. 1978 do konce roku 1997 zde bylo získáno 108 integrálních měření neutrínového toku ze Slunce, jež dala průměr $(2,6 \pm 0,2)$ SNU, tj. asi třetinu očekávaného množství. P. Sturrock aj. tvrdí, že v datech odhalili nečekaný šířkový efekt, související s měnící se heliografickou šířkou pozorovaného středu slunečního kotouče. Tato šířka kolísá během roku v rozmezí $\pm 7,5^\circ$ a autoři nalezli variace neutrínového toku s periodou 12,9 cyklů za rok. Pokud by se tento překvapující výsledek potvrdil, znamenalo by to patrně, že sluneční neutrínový tok je ovlivňován magnetickým polem v zářivé zóně pod povrchem Slunce.

Pokud je zmíněný deficit slunečních neutrín vskutku způsoben **oscilacemi neutrín**, údajně odhalenými v japonském detektoru Superkamiokande, pak by se to mohlo potvrdit v galiových detektorech **GALLEX**.

a SAGE, jejichž časové rozlišení je lepší než u chlórového detektoru Homestake, neboť by se zde měla projevit neustálé kolísající vzdálenost Země od Slunce v průběhu kalendářního roku. V Kanadě byl v květnu 1998 uveden do chodu dlouho připravovaný experiment **SNO** s detektorem slunečních neutrín pomocí těžké vody. Zařízení se nachází v niklovém dole Inco Creighton poblíž Sudbury a bylo vybudováno od r. 1990 za 70 milionů dolarů. Průhledná kulová akrylová nádoba obsahuje 1000 t těžké vody v hodnotě 300 milionů dolarů, zapůjčené od kanadské Komise pro atomovou energii. Průlety všech typů neutrín nádrži jsou detektovány 9500 fotónásobiči, přičemž aparatura dokáže rozlišit jednotlivé typy neutrín od sebe.

2.2. Exoplanety a hnědí trpaslíci

Počátkem roku byl uzavřen spor, zda periodické změny radiálních rychlosť hvězdy **51 Pegasi** nejsou náhodou vyvolány pomalými oscilacemi rozmetru hvězdy, jak se domnival D. Gray, což by znamenalo, že kolem hvězdy neobtíhá žádná exoplaneta o hmotnosti srovnatelné s Jupiterem. A. Hatzen a. totiž získali mimořádně kvalitní spektra hvězdy během 18 nocí v létě 1997 a žádné oscilace přitom nenašli. Prakticky současně sám hlavní kritik D. Gray zveřejnil práci, v níž ukázal, že jeho námitka vycházela z nedostatečně přesných spektrálních měření, takže fakticky šlo o pouhý šum.

Totéž prokázali jak pro 51 Peg tak pro **T Boo** také T. Brown a. Tím dostalo objevování exoplanet prostřednictvím přesných měření periodického kolísání radiálních rychlosť definitivní požehnání a objevu exoplanet od té doby utěšeně přibývá.

G. Marcy a. ohlásili objev dosud nejbližší exoplanety u rekordně lehké hvězdy **Gliese 876** (sp. dM4; $T = 3200$ K) o hmotnosti $0,32 M_\odot$, vzdálené od nás pouze 4,7 pc – je to v pořadí 53. nejbližší hvězda ke Slunci. Exoplaneta má hmotnost větší než $1,9 M_\oplus$ a obtíhá kolem mateřského červeného trpaslíka ve vzdálenosti 0,2 AU v periodě 61 dnů. X. Delfosse a. ukázali, že dráha exoplanety je velmi protáhlá s výstředností $e = 0,3$.

D. Queloz a. M. Mayor našli exoplanetu u hvězdy **Her 14** (Gliese 614; sp. K), vzdálené od nás 18 pc. Exoplaneta má hmotnost větší než $3,3 M_\oplus$ a obtíhá kolem mateřské hvězdy po protáhlé ($e = 0,36$) dráze ve střední vzdálenosti 2,5 AU v periodě 4,4 roky.

D. Trilling a. R. Brown objevili infračervený přebytek záření u hvězdy **55 Cnc** (sp. G8), kolem níž obtíhá exoplaneta ve vzdálenosti 0,11 AU v periodě 14,65 dne. Přebytek lze objasnit jako cirkumsterní prachy typu Kuiperova pásu. Pokud tento pás leží v oběžné rotině exoplanety, pak lze určit její hmotnost na $1,9 M_\oplus$.

Podobně J. Greaves a. odhalili pomocí submilimetrových měření aparaturou SCUBA JCMT prsten prachu kolem známé hvězdy **Eridani** (sp. K2 V; $0.8 M_\odot$), vzdálené od nás 3,2 pc a mladší než 1 miliarda let. Prsten o hmotnosti alespoň $0,01 M_\oplus$ má vnitřní hranu ve vzdálenosti 30 AU od hvězdy a vnější v 60 AU, takže opět velmi připomíná náš Kuiperův pás. Podobně jako u Vety, Fomalhauta a β Pic je vnitřek prstenu jakoby prázdný, což sugestivně naznačuje možnost výskytu exoplanet v této oblasti přilehlé k vlastní hvězdě. U ϵ Eri však není naděje na jejich detekci metodou radiálních rychlosť, neboť zmíněný prstenec je skloněn přesně kolmo k zornému paprsku. Dobrý argument o vznikání planetární soustavy poskytlá též infračervená měření pomocí Keckova dalekohledu II, vykonaná v březnu 1998 M. Wernerem a. v okolí hvězdy **HR 4796** v souhvězdí Centaura. Hvězda stará asi 10 milionů let a vzdálená 70 pc je obklopena rotujícím prachovým diskem o poloměru 100 AU, v němž se však vyskytuje centrální díra o poloměru 50 AU – právě v této díře již nejspíše vznikly akumulace prachových zrnek

planety. M. Jura a J. Turner odhalili poněkud záhadný shluk prachu v akrečním disku kolem staré složky dvojhvězdy HD 44179, obklopené mlhovinou Červený obdélník. Zatímco samotná hvězda se v dohledné době nejspíše stane bílým trpaslíkem, shluk prachu o hmotnosti Jupiteru by se mohl gravitačně zhroubit na opravdovou planetu. Do hledání exoplanet metodou periodických změn radiálních rychlosť se od července 1996 vložil Keckův desetimetr se superpřesným spektrofrem HIRES.

R. Butler a. tak sledují 420 hvězd hlavní posloupnosti od pozdních typů F až po spektrální třídu M. Prvním výsledkem přehlídky je objev exoplanety u hvězdy **HD 187123**, vzdálené od nás 48 pc, jež je téměř dokonalým analogem našeho Slunce, neboť má stejnou hmotnost, spektrální typ G3 V ($T_{\text{eff}} = 5830$ K) a svítivost $1,35 L_\odot$ ($M_{\text{bol}} = 4,37$ mag). Podobná se Slunci také rychlosť obvodové rotace, stáří a aktivity chromosféry. Podle měření zmíněné skupiny kolísá radiální rychlosť hvězdy s poloviční amplitudou 72 m/s v periodě 3,1 dne, což je tedy oběžná doba exoplanety s hmotností větší než $0,5 M_\oplus$, obíhající po bezmála kruhové dráze ve vzdálenosti 0,04 AU od mateřské hvězdy. Není divu, že při tak rekordně malé vzdálenosti od hvězdy je povrch exoplanety ohřát na 1400 K. Zatím známe asi 20 substelárních objektů o hmotnostech od 0,45 do 50násobku hmotnosti Jupiteru, jež se nacházejí ve vzdálenostech od 0,04 do 4 AU od mateřské hvězdy a mají povrchové teploty od 200 do 1500 K. V jejich atmosféře nacházíme při teplotách nižších než 1300 K především metan, při teplotách pod 600 K pak čpavek. Zdrojem atmosférické opacity je zde molekulární vodík, dále voda, metan i čpavek. Na rozdíl od hledání substelárních objektů metodou radiální rychlosť není zatím úplně jasné, zda se může zdát jejich nalezení z velmi přesné fotometrie, když exoplaneta či hnědý trpaslík periodicky přechází přes disk mateřské hvězdy.

Největší podezření budila dvojhvězda **CM Draconis**, skládající se ze dvou trpaslíků spektrální třídy M4,5, u níž bylo od března 1996 do března 1998 údajně pozorováno 17 poklesů jasnosti o hloubce 0,08 mag. Kontrolní měření však ukázala, že šlo jakožto mnohokrát o planý poplach, způsobený nedostatečnou kalibrací citlivých fotometrických měření. Pokud se vůbec v této těsné dvojhvězdě nachází exoplaneta, musí mít poloměr menší než trojnásobek poloměru Země a oběžnou dobu delší než 30 dnů – jinak by už byla z fotometrie odhalena.

Mezitím se však začíná prosazovat zcela odlišná a velmi perspektivní metoda odhalování exoplanet prostřednictvím **efektu gravitačních mikročoček**, jak ukázali K. Griest a N. Safizadeh. Jde vlastně o speciální případ podvojné gravitační mikročočky, kdy však druhou složkou soustavy není hvězda, nýbrž exoplaneta. Při současně vysoké přesnosti hvězdné fotometrie jde o metodu zdaleka nejtěžší, neboť dokáže odhalovat exoplanety i na hranicích Galaxie a až do hmotnosti pouhého 10násobku hmotnosti Země. Podmínkou je ovšem příslušné seřazení těles na téměř zorném parsku, tj. nejprve dojde k seřazení vzdálené hvězdy a čočkující hvězdy, čímž se světlo vzdálené hvězdy zesisuje, a pak se buď na vstupné či na seřazene větví této světelné křivky objeví malý zoubek, trvající pouze několik hodin – a to je příznak přítomnosti exoplanety. Tato předpověď se dramaticky potvrdila v červenci roku 1998, kdy bylo na Mt. Stromlo v Austrálii v rámci projektu hledání gravitačních mikročoček MACHO v galaktické výduti odhaleno zjasnění hvězdy **MACHO98-BLG-35** a jeho průběh byl podrobni sledován také dalekohledy na Novém Zélandu, v USA a Japonsku. Tak se podařilo I. Bondovi a. P. Yockovi na vstupné větví klasické světelné křivky pro gravitační mikročočku odhalit několik hodin trvající zoubek (přidavné zjasnění) asi o 10%, které lze interpretovat jako přechod exoplanety, jež kolem mateřské hvězdy.

dy (vlastní mikročočky), vzdálené od nás asi 9 kpc a s hmotností asi $0.4 M_{\odot}$, obíhá ve vzdálosti $1 \div 4$ AU při vlastní hmotnosti v rozmezí $1 \div 10 M_{\oplus}$ (podle S. Rieho a j. nejpravděpodobněji asi $3 M_{\oplus}$). Zmínění autoři odhadují, že obdobně lze objevit jednu exoplanetu o hmotnosti $10 M_{\oplus}$ a vzdálosti 1 AU od mateřské hvězdy asi 5krát ročně a planetu o hmotnosti $1 M_{\oplus}$ asi jednou ročně, což jsou velmi příznivé údaje.

Zpětně byl ostatně takový zoubek na světelné křivce rozpoznán také u mikročočky **MACHO94-BLG-4**, kdy příslušná exoplaneta měla hmotnost kolem $5 M_{\oplus}$. Podle M. Albrowa a j. je mezi dosud pozorovanými 200 případy zjasnění pomocí gravitačních mikročoček asi 10 jevů, které v případě, že jsou reálné, lze vysvětlit jako příspěvek exoplanet. Tím víc dle G. Gyuka a j. překvapuje, že při známých přehlídkách mikročoček směrem k Velkému Magellanovu mračnu nebyl dosud odhalen ani jeden hnědý trpaslík, když se celku logicky předpokládalo, že jejich výskyt by měl být ještě vyšší než výskyt málo hmotných hvězd.

D. Trilling a j. se s ohledem na těsné resp. výstředné dráhy mnoha obřích exoplanet zabývali vývojem těchto dráh a ukázali, že tzv. **migrace exoplanet** od času jejich vzniku směrem k mateřské hvězdě je naprostě běžná. Pokud by totiž exoplaneta vznikla příliš blízko mateřské hvězdy, nenasbírala by dost hmoty na vznik kovového jádra a nestala by se obří exoplanetou. Nás Jupiter může mít kovové jádro o hmotnosti nanejvýš 10% své úhrnné hmotnosti a autoři soudí, že migroval od doby svého vzniku asi o 0,2 AU směrem ke Slunci. Migrace je doprovázena ztrátou hmoty exoplanety a v případě, že probíhá příliš rychle, může se taková exoplaneta dočista rozplynout. Jak ukázal A. Tutukov, planety mohou vznikat v blízkosti hvězd všech možných typů, včetně bílých trpaslíků, neutronových hvězd i hvězdných černých dér a rovněž v soustavách těsných dvojhvězd. Asi třetina hvězd hlavní posloupnosti s původní hmotností do $10 M_{\odot}$ má kolem sebe exoplanety.

Dráhové hranice pro vznik exoplanet jsou zevnitř i zvenčí dobře definovány. Vnitřní okraj je dán teplotou, při níž se vypaří meziplanetární prach, zatímco vnější okraj se nachází tam, kde již není efektivní akrece meziplanetární látky akumulací. Podle J. Lia a j. mohou skalnatá jádra terestrických planet úspěšně přežít i rozepnutí mateřské hvězdy z hlavní posloupnosti do fáze červeného obra, takže tato jádra mohou nakonec obřhat i kolem bílých trpaslíků.

V polovině května 1998 uveřejnil A. Boss v britské *Nature* výpočet **přímého vzniku obřích planet** z gravitačních nestabilit v akrečním disku kolem vznikající prahvězdy, aniž by bylo potřebné vytvořit zárodečné kamenné jádro obří planety. Ukázal, že takový vznik je opravdu bleskový, během pouhých století, když prahvězda je stará řádově 10^5 let. Naproti tomu terestrické planety vznikají srážkovou akumulací planetesimál v akrečním disku během nějakých 10^8 let. Také obří planety mohou vznikat srážkovou akumulací, tj. nejprve se vytvoří kamenné jádro o hmotnosti asi o řadu vyšší než je hmotnost Země, a na ně se pak nabílí plynné obaly během řádově 10^7 let.

Právě 14 dnů po publikaci Bossovy práce oznámili S. Terebeyová a j., že pomocí NICMOS HST zobrazili okolí dvojhvězdy **TMR-1A,B** (IRAS 04361+2547) v molekulovém mračnu v Býku, vzdálené od nás 140 pc. Dvojhvězda je stará asi 300 tisíc let a její úhrnná svítivost činí $3.8 L_{\odot}$. Na snímku nalezli obloukové svítící vlákno, vycházející z dvojhvězdy, jejíž složky jsou od sebe vzdáleny 42 AU, a na jehož opačném konci je patrný slabě svítící bod C. Odtud usoudili, že jde o objekt, vyvržený před 1000 roků z okolí samotné dvojhvězdy jakousi obdobou gravitačního praku pro kosmické sondy. Objekt C o svítivosti menší než $0.001 L_{\odot}$ a hmotnosti mnohonásobku M_{\oplus} se od mateřské dvojhvězdy vzdaluje rychlosť 10 km/s, takže se nyní nalézá již asi 1400 AU od dvojhvězdy. Povaha

objektu není známa, ale autoři objevu se domnívají, že nejspíše půjde o obří exoplanetu či hnědého trpaslíka, jenž při svém úprku za sebou nechává kondenzační stopy, která ho nakonec prozradila.

Bossov mechanismus vzniku obřích exoplanet by tak získal překvapivě rychlou pozorovací podporu. Podle Bosse může do téže kategorie patřit i **dvojhvězda L1551** v infračerveném katalogu IRS5, kterou pomocí rádiového interferometru VLA studovali na vlnové délce 7 mm L. Rodriguez a j. s lineárním rozlišením 7 AU. Dvojhvězda je vzdálena 150 pc a její složky jsou od sebe 45 AU daleko. Každá složka je obklopena protoplanetárním diskem o průměru asi 20 AU a hmotnosti $0.05 M_{\odot}$ (zárodečný disk sluneční soustavy měl podle všeho pouze $0.01 M_{\odot}$). Boss se domnívá, že i v tomto případě jsou vhodné podmínky pro katapultování obří exoplanety do mezihvězdného prostoru, obdobně jako u TMC-1.

Naproti tomu se nepotvrdil předloňský objev A. Schultze a j. údajného substelárního průvodce nejbližší hvězdy **Proximy Centauri** (=Gliese 551) ze snímku HST. Podle D. Golimowského a D. Schroedera šlo o nějaký záhadný artefakt na snímku. Podrobou teorii vlastností hnědých trpaslíků a obřích exoplanet předložil A. Burrows.

Modely objektů v rozmezí hmotností $0.00025 \div 0.25 M_{\odot}$ dávají horní mez pro **hnědý trpaslíky** 0,074 M_{\odot} za předpokladu, že jejich chemické složení je shodné se slunečním. Horní mez jejich svítivosti pak vychází na $6.10^{-5} L_{\odot}$, zatímco spodní mez pro svítivosti hvězd činí $5.10^{-4} L_{\odot}$. Pokud však v hnědých trpaslicích zcela chybí „kovy“, může jejich hmotnost dosáhnout dokonce $0.092 M_{\odot}$ svítivost až $1.3.10^{-3} L_{\odot}$, zatímco jejich poloměry na chemickém složení ba ani na hmotnosti příliš nezávisí a pohybují se kolem $0.1 R_{\odot}$. Spodní mez hmotnosti hnědých trpaslíků se odhaduje na $0.075 M_{\odot}$; tj. pod touto mezi hovoříme o obřích exoplanetách. V jádřech hnědých trpaslíků i obřích exoplanet se nachází vodík i helium pod velkým tlakem v kapalném či dokonce kovovém stavu při hustotách až 2000násobku hustoty vody a centrální teplotě až $2.7 MK$. Pokud je hmotnost hnědého trpaslíka vyšší než $0.013 M_{\odot}$, probíhne v jeho raném mládí za $1 \div 100$ milionů let omezená termonukleární reakce, při níž se spotřebuje veškeré **deuterium**.

Pro hnědé trpaslíky s hmotností přes $0.06 M_{\odot}$ se podobně spotřebuje i lithiwm. Nitro hnědých trpaslíků je plně konvektivní; pouze ve vnější tenké atmosféře probíhá přenos energií zářením. Pokud je teplota atmosféry hnědého trpaslíka nižší než $2500 K$, objevují se v ní zrníčka silikátů. Vodní mračna u exoplanet lze předpokládat při teplotě atmosféry do $400 K$ a čpavková oblačka při teplotě pod $200 K$. Podle C. Tinneyho jsou hnědé trpaslíci vlastně nepovedené hvězdy s hmotností nanejvýš $0.07 M_{\odot}$, jejichž úhrnný počet však nestačí na vysvětlení podstaty skryté hmoty v Galaxii. V jejich atmosférách se pozoruje spojitě záření horkého prachu a pásy metanu.

Prototypem hnědých trpaslíků je objekt **Gliese 229B**, objevený H. Nakajimou a j. v r. 1995. Povrchová teplota tohoto objektu činí podle B. Oppenheimera a j. asi $950 K$ a v jeho atmosféře se nachází metan, voda, C_2H a oxid uhlíkatý, zatímco oxidy titanu a vanadu jakož i hydridy železa a vápníku zcela chybějí. A. Schultz a j. využili STIS HST k přímému zobrazení tohoto nejbližšího a nejchladnějšího známého hnědého trpaslíka, jenž se nalezá $7.5''$ od mateřské hvězdy Gl 229A. Odvodili odtud jeho hmotnost v rozmezí $0.04 \div 0.055 M_{\odot}$. D. Golimowski a j. prokázali společný pohyb páru Gliese 229 A+B, vzdáleného od nás 5,8 pc, a současně vyloučili možnost, že se v jeho okolí nachází ještě nějaký další průvodce do mezné $I = 24.5$ mag. Hnědý trpaslík má poloměr zhruba stejný jako Jupiter a svítivost pouze $6.4.10^{-6} M_{\odot}$. Stáří této soustavy odhadli v rozmezí $1 \div 5$ miliard let. T. Nakajima a j. využili snímků z HST k odvození elementů dráhy hnědé-

ho trpaslíka B vůči složce A. Při vzdálenosti průvodce $32 AU$ a výstřednosti dráhy větší než $e = 0.25$ činí jeho oběžná doba kolem složky A plných 236 let. Hnědý trpaslík má hmotnost asi $47 M_{\oplus}$.

Dosud nejbohatším lovištěm hnědých trpaslíků se stala známá mladá (120 milionů let) otevřená hvězdokupa **Plejády** v Býku, vzdálená od nás 116 pc. L. Feskin zde ohlásil objev dalších čtyř hnědých trpaslíků, mezi nimiž je i objekt NPL40 o hmotnosti pouhých $0.04 M_{\odot}$. Také E. Martín a j. nalezli další tři hnědé trpaslíky pomocí infračervené fotometrie v pásmu I a ze spektrálního rozboru zjistili, že v jejich atmosférách chybějí pásy molekul TiO, ale zato se tam vyskytují pásky molekul CaH, CrH a VO.

Rozhodli se proto zavést novou spektrální třídu L, charakterizovanou teplotou nižší než $2200 K$ a hmotností objektu $0.04 M_{\odot}$. Pomocí infračervené družice ISO objevili F. Comerón a j. nejméně 3 jisté a 5 pravděpodobných hnědých trpaslíků v molekulovém mračnu kolem hvězdy ρ Oph, jež je od nás vzdáleno nečlých 140 pc. Hmotnosti těchto hnědých trpaslíků jsou vesměs vyšší než $0.02 M_{\odot}$ a jejich povrchové teploty dosahují minimálně 2500 K. Tyto objekty nejsou starší než 3 miliony let.

A. Maggazzú a j. našli prvního kandidáta na hnědýho trpaslíka v otevřené hvězdokupě **Praesepe** v souhvězdí Raka, vzdálené od nás 180 pc. Objekt RP1 má $I = 21.0$ mag a barevný index $I-K = 4.6$ a jeho hmotnost leží v rozmezí $0.06 \div 0.08 M_{\odot}$.

2.3. Prahvězdy

I. Contopoulos a D. Kazanas upozornili, že v závěrečné fázi **smršťování prahvězdy** na hvězdu hlavní posloupnosti se uplatní Poyntingův-Robertsonův brzdny efekt v akrečním proudění kolem centrálního hrouticího se jádra. Vznikají tak silné azimutální elektrické proudy, jejichž indukce vzniká i mocné magnetické pole. E. Churchwell zjistil, že bipolární proudy molekulového plynu, vytékající z velmi hmotných prahvězd, obsahují více hmoty než samotná prahvězda, rádově až $100 M_{\odot}$! Je téměř nepochopitelné, jak lze tak velké hmoty urychlovat na supersonické výtokové rychlosti, aniž by se látku příliš ohříala a molekuly rozpadly. Zdá se, že proudy vznikají následkem přítoku kosmické látky, padající na prahvězdu, což nakonec vyvolává pozorované bipolární výtoky v kuželu o vrcholovém úhlu rádu desítek úhlových stupňů, přičemž ročně tak prahvězda ztrácí molekulární plyn o hmotnosti řádově $10^{-3} M_{\odot}$.

L. Greenhill a j. studovali **molekulární výtoky** z velmi hmotných prahvězd v obřím molekulovém mračnu v Orionu OMC-1. Nalezli tak velké množství pravě vznikajících prahvězd nebo extrémně mladých hvězd. Z měření v silikátových pásmech vyplývá, že prahvězdy jsou zdrojem bipolárních kuželovitých výtoků, měřitelných až do $60 AU$ od prahvězdy. Rychlosť výtoku zde dosahuje až $100 km/s$. Naproti tomu v rovinové rovině prahvězdy probíhá výtok rychlosť jen $18 km/s$, ale zato jej lze pozorovat až do vzdálenosti $1000 AU$.

K. Malfait a j. popsal infračervené spektrum **velmi mladé hvězdy HD 100546**, pořízené družicí ISO v r. 1996. V disku, obklopujícím hvězdu, objevili emisní čáry C a O, vydávané zrníčky silikátů, ne nepodobné spektru komety Hale-Bopp. Jde o velmi ranou Herbigovou hvězdu třídy Ae/Be nepatrnm starší než 10 milionů let, vzdálenou od nás $103 pc$. Autoři soudí, že hvězda je zcela jistě obklopena druhou obří exoplanetou a obdobou Oortova oblaku komet z naší sluneční soustavy. E. van Dishoeck a G. Blake se zabývali chemickým vývojem oblasti, v nichž vznikají hvězdy. Ukázali, že podnětem ke vzniku hvězd je **gravitační hroucení molekulového mračna**, přičemž se kolem zárodku hvězdy vytváří akreční disk ve vzdálenosti

$100 \div 10000$ AU od centra prahvězdy, tvořený převážně ledovými planetesimály. Jakmile se prahvězda změní díky termonukleární reakci na hvězdu, ohřeje se její okolí jednak rázovými vlnami a jednak samotným zářením. To vede k vypařování ledů a organických molekul. V disku se pak pozorují emise SiO, OH a H₂O.

Podobně V. Mannings studoval infračervené spektrum hvězdy **HR 4794A**, staré asi 10 milionů let a nalezl kolem ní prachový disk, zcela obdobný diskům kolem Fomalhauta nebo Vety. Disk se rozprostírá ve vzdálenosti od 35 AU do 130 AU, přičemž jeho teplota klesá od 250 do 100 K. Blíže ke hvězdě se patrně nachází exoplanety, obdobně jako u Fomalhauta, kde stopy disku mizí ve vzdálenosti menší než 30 AU od hvězdy.

E. Vitričenko zkoumal proměnné hvězdy **BM Ori a V1016 Orionis**, patřící do známého Trapezu a ukázal, že jejich sekundární složky jsou obklopeny prachovými zrníčky grafitu nebo oxidu křemičitého. Jelikož bod tání křemene činí 2100 K, je pravděpodobnější, že jde o silikátová zrníčka v prachových obalech s teplotami 1320 a 1600 K. A. Whitworth aj. ukázali, že hvězdy v Trapezu vznikají v hustých hvězdokupách se vzájemnou vzdáleností hvězdných zárodků menší než 10^4 AU a pojedvíce jako dvojhvězdy s typickou vzdáleností složek $10 \div 100$ AU. Složky dvojhvězd kolem sebe obíhají většinou po velmi výstředných dráhách a v nejraničních fázích jejich vývoje proto dochází k jejich silnému vzájemnému ovlivňování. Akreční disky si uchovávají vysokou hmotnost po dobu asi 30 tisíc let od vzniku soustav.

Tak lze mj. objasnit složitou strukturu již dříve zmíněné dvojhvězdy **TMR-1** v Býku. Tento systém zkoumali D. Brown a C. Chandler pomocí pási CO na vlnové délce 2,7 mm. Obě složky dvojhvězdy jsou obklopeny cirkumstelními obálkami s poloměry asi 1000 AU, které obsahují hmotu 0,3 resp. 0,5 M_⊕. Horní mez akrece hmoty složek z příslušných obálek činí 4.10^{-7} M_⊕.

2.4. Hvězdná astrofyzika

R. Neuhäuser a W. Brandner určovali parametry 21 mladých hvězd, původně objevených družicí ROSAT, pomocí astrometrické družice HIPPARCOS. Prokázali tak, že jde o hvězdy staré jen $1 \div 15$ milionů let, nacházející se ještě před hlavní posloupností. V jejich atmosférách objevili silně zastoupené **lithium**, což je zretečný doklad časněho mladí hvězd, jelikož lithium se rychle ničí v hlubších konvektivních vrstvách hvězd.

A. Gómez aj. odvodili z měření družice HIPPARCOS průběh **H-R diagramu** pro 1000 pekulárních hvězd tříd Bp a Ap. Ukázali, že jde o hvězdy mladší než 1 miliardu let, spadající vesměs do diskové populace Galaxie. Pokud jsou některé hvězdy zachyceny daleko od galaktické roviny, pak se vesměs vyznačují vysokými prostorovými rychlostmi. J. Kirkpatrick aj. zavědli už zmiňovanou novou spektrální třídu L na základě dvoumikronové přehlídky hvězdných spekter. Objekty této přechodné třídy (hnědá trpaslící) vykazují ve spektru pásy molekul FeH a CrH.

Letos uplynulo 60 let od epochální práce H. Betheho, jenž ukázal, že zdrojem energie hvězd hlavní posloupnosti je **cyklus CNO** v jejich nitru. Až po skončení druhé světové války, když už byla k dispozici vodíková puma, prokázali E. Fermi a I. Turkevich, že v raném vesmíru nelze vytvořit uhlík, jelikož neexistují stabilní atomová jádra s 8 nukleony v jádře. Nicméně lehčí jádra, tj. helium až bór, lze v raném vesmíru vytvořit, jak ukázali r. 1964 J. Doroškevič a I. Novikov i R. Dicke aj. o rok později. Dnes víme, že jádra těžší než uhlík byla ve vesmíru zastoupena již pro hvězdné soustavy s kosmologickým červeným posuvem $z = 4,5$, tedy sotva miliardu let po velkém třesku.

Tím kuriózněji vyznívá práce, kterou loni publiko-

vali známí kritici teorie velkého třesku G. Burbidge a F. Hoyle, vycházející ze známého faktu, že celková energie obsažená v jádřech ${}^4\text{He}$ je srovnatelná s energií reliktového záření ve vesmíru. Autoři proto vysvětlují vznik reliktového záření jako průvodní jev přeměny vodíku v helium až ve hvězdách – nikoliv v raném vesmíru – a dokonce prohlašují, že právě z toho důvodu musí mít reliktový záření pozorovanou teplotu 2,76 K! Současně prý ve hvězdách vznikají z vodíku i další lehká jádra: ${}^2\text{D}$, ${}^3\text{He}$, ${}^6\text{Li}$, ${}^7\text{Li}$, ${}^9\text{Be}$, ${}^{10}\text{B}$ a ${}^{11}\text{B}$. Deuterium údajně vzniká v trpasličích hvězdách třídy M a stáří vesmíru pak musí být přirozeně několik miliardy, nýbrž biliony let! Obávám se, že kdyby autory práce nebyli koryfejové soudobé astrofyziky, stěží by ji recenzenti doporučili k otištění v nejprestižnějším astrofyzikálním časopise *The Astrophysical Journal (Letters)*.

2.5. Osamělé hvězdy

D. Figer aj. pořídili optická a infračervená spektra extrémně svítivé tzv. **Pistolové hvězdy** (objekt 1743-2848) pomocí Hubblova a Keckova teleskopu. Za předpokladu, že hvězda se nachází v centru Galaxie, odvodili její povrchovou teplotu $14 \div 21$ K a bolometrickou svítivost $4 \div 16$ ML_⊕, což hvězdu řadí k nejzářivějším vůbec. Přesto však autorů soudí, že v blízkosti Pistolové hvězdy musí být skryta ještě jedna o něco teplejší a svítivější hvězda, neboť jedině tak lze vysvetlit excitaci rozsáhlé cirkumstelné mlhoviny ve tváru pistole. Extinkce v této oblasti dosahuje totiž plných 3,2 mag. Samotná Pistolová hvězda měla při svém vzniku před cca 2 miliony let hmotnost nejméně 200 M_⊕ a patří zcela určitě k vzácné třídě svítivých modrých proměnných (LBV).

M. Smith aj. objevili pomocí HST a rentgenové družice RXTE extrémně horké erupce na povrchu jasné hvězdy γ Cas, jejichž teplota dosahuje nevídáné hodnoty 100 MK.

S. Rinehart aj. zobrazili pomocí nové infračervené kamery po pásmu 11,7 a 17,9 μm oblast o poloměru 5" kolem červeného veleobra **Betelgeze**, nacházejícího se 130 pc od nás. Odhalili tak prachový obal o teplotě pouhých 460 K, sahající nejméně do vzdálenosti 650 AU od hvězdy.

Neuvěřitelný husarský kousek se zdařil J. Monnierovi aj., když použili adaptivní optiku u 3,5 m teleskopu ESO a metody neradučněního aperturního maskování v Keckova teleskopu I k zobrazení nejbližšího okolí červeného veleobra **VY CMA** (sp. M5elbp) o bolometrické svítivosti 400 K L_⊕, vzdáleného od nás 1,5 kpc. Maskování spočívá paradoxně v zakrytí 10 m zrcadla neprůhlednou maskou, do níž je zejména po obvodu vyvráceno celkem 21 otvorů o průměru 0,35 m. Skládáním velmi krátkých ($60 \div 150$ ms) expozic tímto „interferometrem“ se pak zdařilo docílit v infračerveném pásmu 1,65 μm rozlišení 0,03" a ještě v pásmu 2,26 μm 0,04" – obě hodnoty jsou např. zcela nedosažitelné HST i v krátkovlnnějším optickém oboru spektora. Výsledkem měření je pak rozlišený vnitřní prachové obálky veleobra, která sahá do vzdálenosti pouhé 0,1", tj. 15tinásobku poloměru hvězdy. Podle M. Wittkowského aj. má obálka oválný tvar s geometrickými rozměry 100×125 AU v optickém pásmu a 207×308 AU v pásmu infračerveném. Kolem prachové obálky je pozorovatelná mnohem rozsáhlější ($8'' \times 12''$) optická mlhovina, v níž pozorujeme maserové čáry vody, hydroxylu a SiO.

2.6. Dvojhvězdy

N. Šatskij a A. Tokovinov porovnávali **paralyaxy vizuálních dvojhvězd**, odvozené jednak klasickou metodou dynamických paralax a jednak z nejnovějších trigonometrických měření v katalogu HIPPARCOS. Srovnáním výsledků pro 141 vizuálních dvojhvězd s trigonometrickou paralaxou menší než $0,0025''$ zjistili,

že oba typy paralax dobré souhlasí pro vzdálené systémy s trigonometrickou paralaxou menší než $0,0150''$. Poněkud paradoxně se souhlas zřetelně zhorší pro paralaxy větší, neboť tehdy vstupují do hry nezanedbatelné oběžné pohyby složek dvojhvězdy. Pro paralaxy menší než $0,0170''$ dosahují dynamické paralaxy přesnosti $0,001''$, takže jsou dobře srovnatelné s paralaxami trigonometrickými. Rovněž S. Söderhjelm upozornil na nutnost zlepšit dráhové elementy pro vizuální dvojhvězdy, abychom tak mohli využít značného potenciálu při určování jejich vzdáleností díky přesným měřením družice HIPPARCOS. Toto volání vyslyšeli astronomové, kteří k měření dráh vizuálních dvojhvězd začali používat pointer HST, vynikající jedinečnou rozlišovací schopností.

O. Franz aj. tak hned na první pokus obdrželi vůbec nejlepší dráhu pro vizuální dvojhvězdu, když studovali systém **Wolf 1062** (= Gliese 748), jehož hlavní složkou je červený trpaslík 11 mag a jehož oběžná perioda činí 2,45 dne. Úhlový polomer vizuální dráhy dosahuje pouze 0,147", a přesto se podařilo spočítat vynikající dráhové elementy, z nichž vyplývají hmotnosti složek 0,37 a 0,17 M_⊕. Podobně J. Hershey a I. Taff dostali hmotnosti trpasličích složek **dvojhvězdy L722-22**, a to 0,18 a 0,11 M_⊕.

Konečně E. Martin aj. odhalili pomocí NICMOS HST vizuální dvojhvězdu **CFHT-PI-18** s úhlovou separací složek $0,33''$, což při vzdálenosti 125 pc dává minimální velikost dráhové poloosy 42 AU. Odtud pak odvodili nízké hmotnosti složek 0,045 a 0,035 M_⊕ – patrně jde o první podvojnou soustavu hnědých trpaslíků! Nicméně i tyto skvělé výkony překonává palomarský interferometr, pracující v blízké infračervené oblasti spektra.

C. Koresko aj. totiž dokázali částečně rozlišit těsnou dvojhvězdu **TZ Tri**, nalezející k typu RS CVn, přestože obě složky dvojhvězdy jsou od sebe úhlově vzdáleny pouze $0,002''$. Tak se podařilo ověřit vlastnosti spektroskopické dvojhvězdy, pokud jde o rozdíly vyuvinuté primární složky, zatímco sekundární složka je o něco menší, než vyplývalo ze spektroskopie.

Možná nejpozoruhodnější dvojhvězdou posledních let se dle A. Daminielihové aj. stala η **Carinae**, která z emisní spektroskopie čáti infračervené Paschenovy sérije vykazuje zřetelně oběžný pohyb složek v období 5,52 roku při velké poloosě dráhy 8,8 AU. Pár velmi hmotných hvězd (66 a 68 M_⊕) obíhají kolem společného těžiště po velmi výstředných dráhách ($e = 0,63$) a naposledy prošel periastrom koncem r. 1997, kdy vzájemná vzdálenost složek klesla na 3,25 AU. V té době se dvojhvězda začala zřetelně zjasňovat v rentgenovém oboru spektra a dosáhla maxima počátkem května 1998. Také optické spektrum soustavy se v prosinci 1997 nápadně změnilo a zůstalo anomální až do března 1998.

Dvojhvězda je obklopena rozsáhlou mlhovinou, nazvanou L. Gaviolou r. 1950 podle charakteristického vzhledu **Homunculus**. Mlhovina vznikla při mocném výbuchu r. 1843 – tehdy byla η Car jedním z nejjasnějších objektů na obloze vůbec. Kineticcká energie tehdejšího výbuchu se dle N. Smitha aj. odhaduje na 10^{42} J. Při vzdálenosti objektu necelé 3 kpc od nás dosahuje systém v současné době svítivosti 5.10^6 L_⊕, takže patří do třídy svítivých modrých proměnných LBV. Spektroskopie HST prokázala, že složky mají spektrální třídy B2 Ia a B8 Ia, takže efektivní teploty povrchů dosahují 22,5 resp. 12,5 K. Rentgenová měření naznačují, že srážející se intenzivní hvězdný vítr obou složek je ohřát až na nevidanou teplotu 60 MK. Z infračervených měření pak vyplývá, že bipolární laťky kolem systému obsahují asi 2 M_⊕, zatímco rovníková obruba jen 0,5 M_⊕. Dvojhvězda je stará 2,6 milionu let a složky měly původně hmotnosti 114 a 88 M_⊕, takže již mnoho hmoty poztrácely. Během posledních 7 tisíc let klesla teplota primární složky o více než 10 K, zatímco zdrojem energie hvězdy se stalo hoření helia v jádře. (Pokračování v příštím čísle)

Úplná a prstencová zatmění Slunce u nás od doby Samovy říše

Jak se blíží 11. srpen 1999, jsou na našich hvězdárnách stále častější otázky, kdy na určitém místě bylo naposledy pozorovatelné úplné zatmění Slunce. Připojený soubor map umožňuje takovou otázku zodpovědět téměř pro každé místo v České i Slovenské republice. Zobrazuje všechna úplná a prstencová zatmění viditelná v této podobě na nějaké části území poválečného Československa po roce 622 n.l. Prodloužili jsme jej do budoucnosti až do 7. X. 2135, k prvnímu příštímu úplnému zatměnímu z našich krajů, a doplnili data našich nejbližších částečných zatmění. Volné místo na stránce s mapami jsme vyplnili mírně zahraničním úplným zatměním z 9. VIII. 1887.

Soubor minulých zatmění čítá 14 úplných a 14 prstencových zatmění. Je málo pravděpodobné, že ve sledované době nastalo nějaké další, které bychom opomněli. Některá současná unikla kvůli špatnému počasí (např. 12. V. 1706), jiná jsou v dobových zprávách hojně zmiňována. Úplné zatmění Slunce ze 7. VI. 1415, zvané Husovo, dokonce zřejmě do jisté míry ovlivnilo české dějiny. Exkurze do historie však musíme odložit na pozdější dobu, protože na ně vedle map v tomto čísle již není místo. Z téhož důvodu jsme také vyřadili mapy pro několik zatmění, která nastala v naší těsné blízkosti, např. pro prstencová zatmění 26. X. 1147 a 9. X. 1847.

Popisky na mapkách vyžadují jen málo vysvětlivek. Písmeno vedle data značí typ: T = úplné (total), A = prstencové (annular), AT = zatmění měnící typ během pohybu stínu po Zemi. Typ zatmění je také vyjádřen odstínením šedi ve zobrazení centrálního pásu, přičemž u zatmění AT tento odstín odpovídá lokální situaci v daném bodě pásu. (Zatmění 24. I. 1544 u nás tedy bylo úplné, kdežto zatmění 7. VII. 1339 pouze prstencové.) Čas v minutách a sekundách udává maximální trvání úplné nebo prstencové fáze v nejpříznivějším bodě na zeměkouli. (Tento bod často leží i mimo Evropu.) Pro Prahu, Brno a Košice je dále uveden okamžik maximální fáze, příslušná výška Slunce nad obzorem, velikost zatmění a pokud v daném místě nastala úplná nebo prstencová fáze, tedy i její trvání v sekundách.

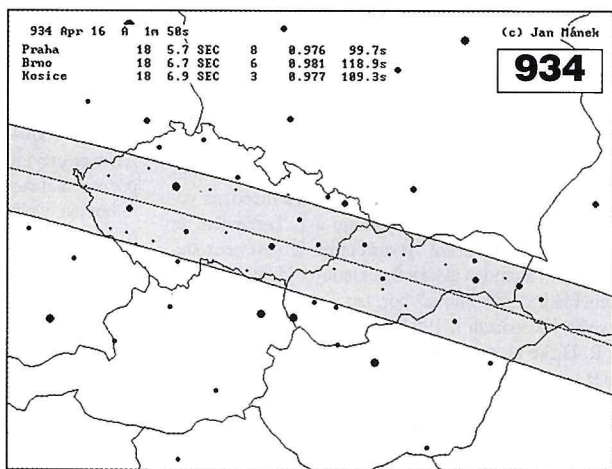
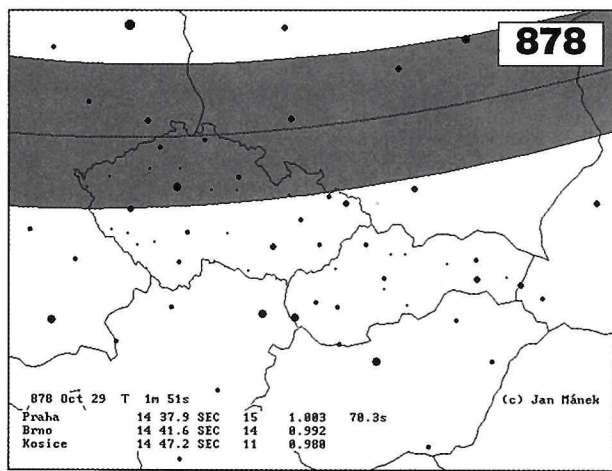
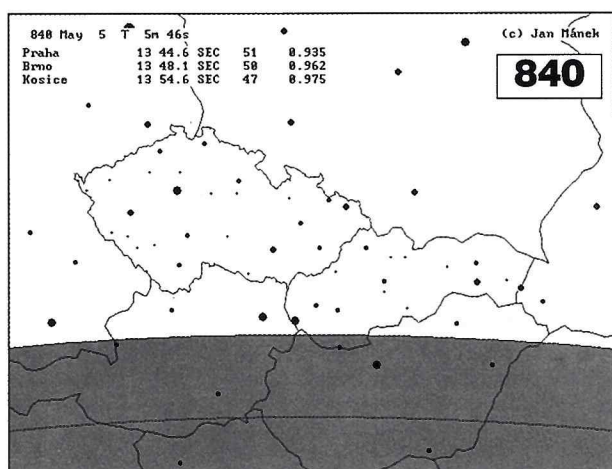
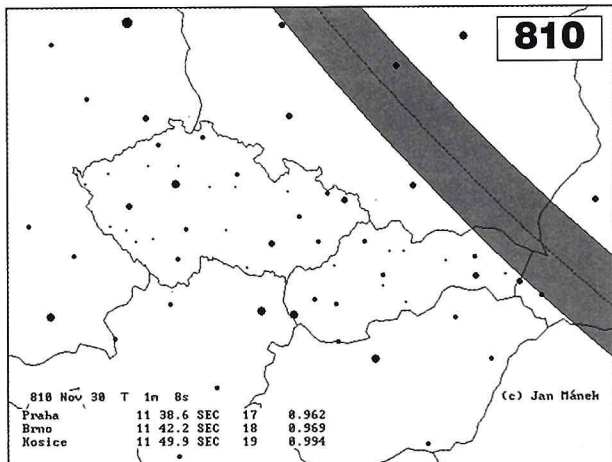
Pro snazší orientaci v mapkách uvádíme seznam měst, která jsou na nich kreslena, seřazený podle rostoucí zeměpisné délky:

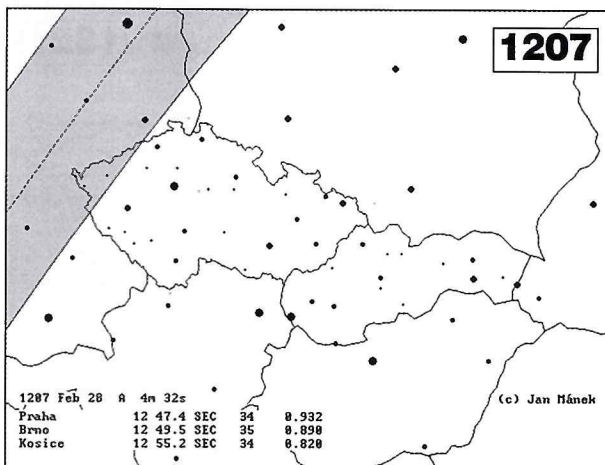
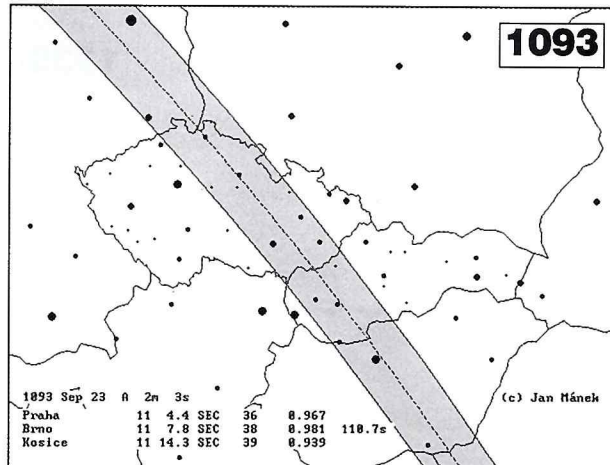
Norimberk, Mnichov, Magdeburk, Řezno, Aš, Cheb, Lipsko, Karlovy Vary, Domažlice, Salzburg, Klatovy, Berlín, Plzeň, Sušice, Drážďany, Louny, Strakonice, Ústí n. Labem, Linec, Praha, Lublaň, České Budějovice, Mělník, Tábor, Liberec, Kolín, Štýrský Hradec, Jihlava, Pardubice, Hradec Králové, Znojmo, Zagreb, Vídeň, Brno, Poznaň, Šumperk, Vratislav, Bratislava, Olomouc, Trnava, Zlín, Opava, Trenčín, Nitra, Komárno, Ostrava, Žilina, Budapešť, Zvolen, Banská Bystrica, Ružomberok, Lodž, Liptovský Mikuláš, Lučenec, Kra-

kov, Segedín, Spišská Nová Ves, Miškovc, Varšava, Prešov, Košice, Debrecín, Michalovce, Užhorod, Mukačevo, Lvov.

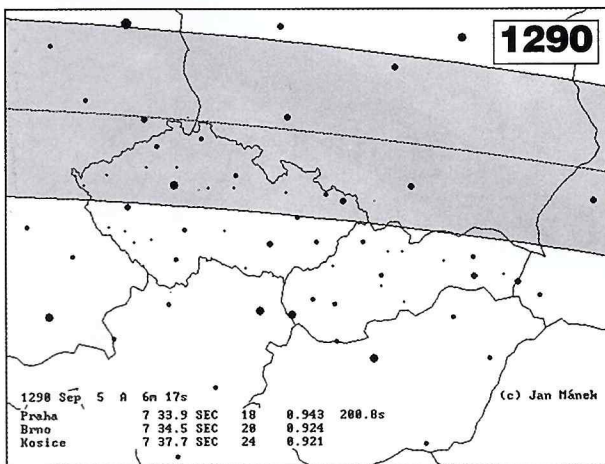
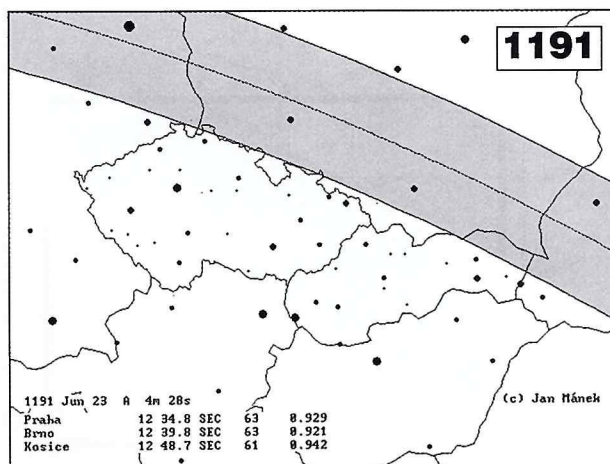
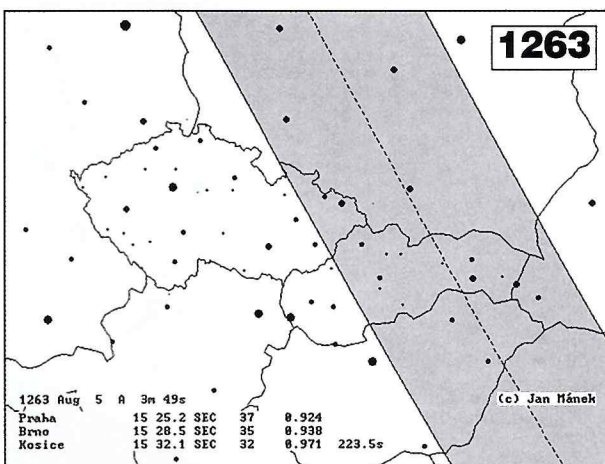
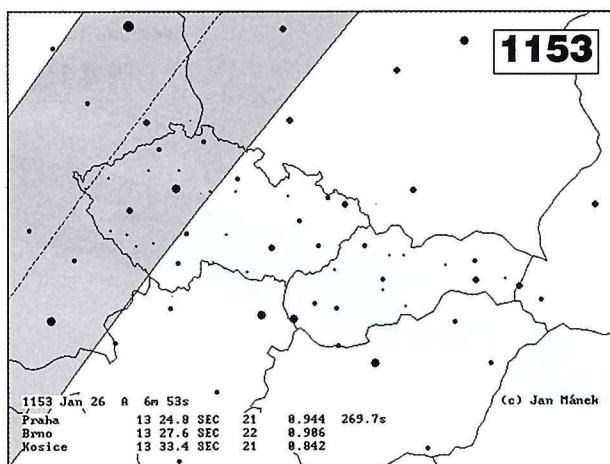
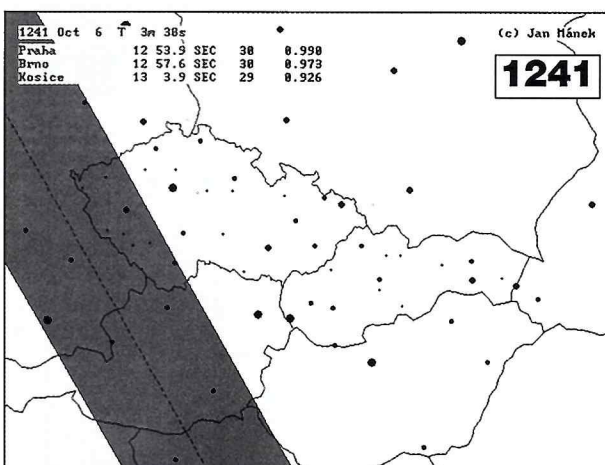
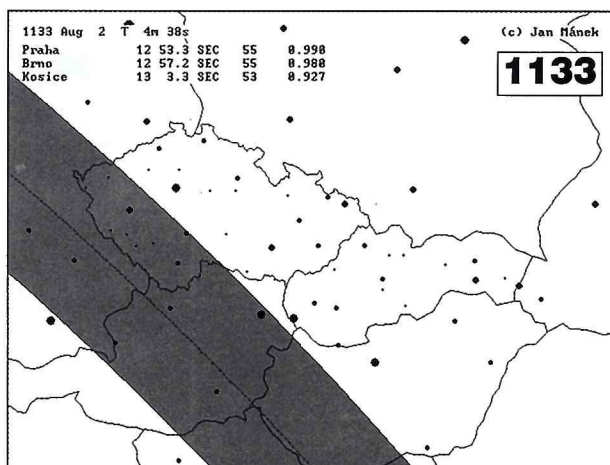
Klíčovou otázkou samozřejmě je přesnost předkládaných map. Při výpočtu byly pro pohyb Měsíce použity Besselovy elementy založené na Brownově – Eckertově teorii pohybu Měsíce, pro pohyb Slunce Newcombova teorie. Tvářci velkých ephemerid používají jiné postupy, odlišnosti mohou být i v upotřebených údajích o zemském elipsoidu, o nadmořských výškách nebo o tvaru a velikosti Měsíce. Porovnání výsledků pro letošní zatmění ukazuje, že takto mohou vzniknout v předpovědích jen zcela nepodstatné rozdíly rádu stovek metrů. Mnohem významnější je vliv nerovnoměrnosti zemské rotace. Protože se otáčení Země vlivem měsíčních slápu sekulárně zpomaluje, jsou tímto efektem nejvíce ovlivněny naše výroky o nejstarších zatměních. V 8. století činil rozdíl téměř 1 hodinu a kdybychom jej při výpočtech zanedbali, vyšla by nám pro všechna zatmění poloha asi o 1000 km západnější než kde ve skutečnosti nastala. Proto byly při výpočtech uplatněny nejčerstvější poznatky o vývoji veličiny ΔT (tak je zvykem označovat rozdíl mezi rovnoramenně plynoucím terestrickým časem TT a rotačním světovým časem UT1). Nutno ovšem mít na paměti, že původ údajů o ΔT je empirický a že jedním z nejprsnějších pramenů k jejich odvození jsou ve starších obdobích právě dochované zprávy o úplných zatměních Slunce. Autoři odhadují, že polohy pásů na mapách zatmění z počátku středověku mohou být chyběné až o 20 km, kdežto u zatmění z posledních století nepředpokládáme chyby větší než několik kilometrů.

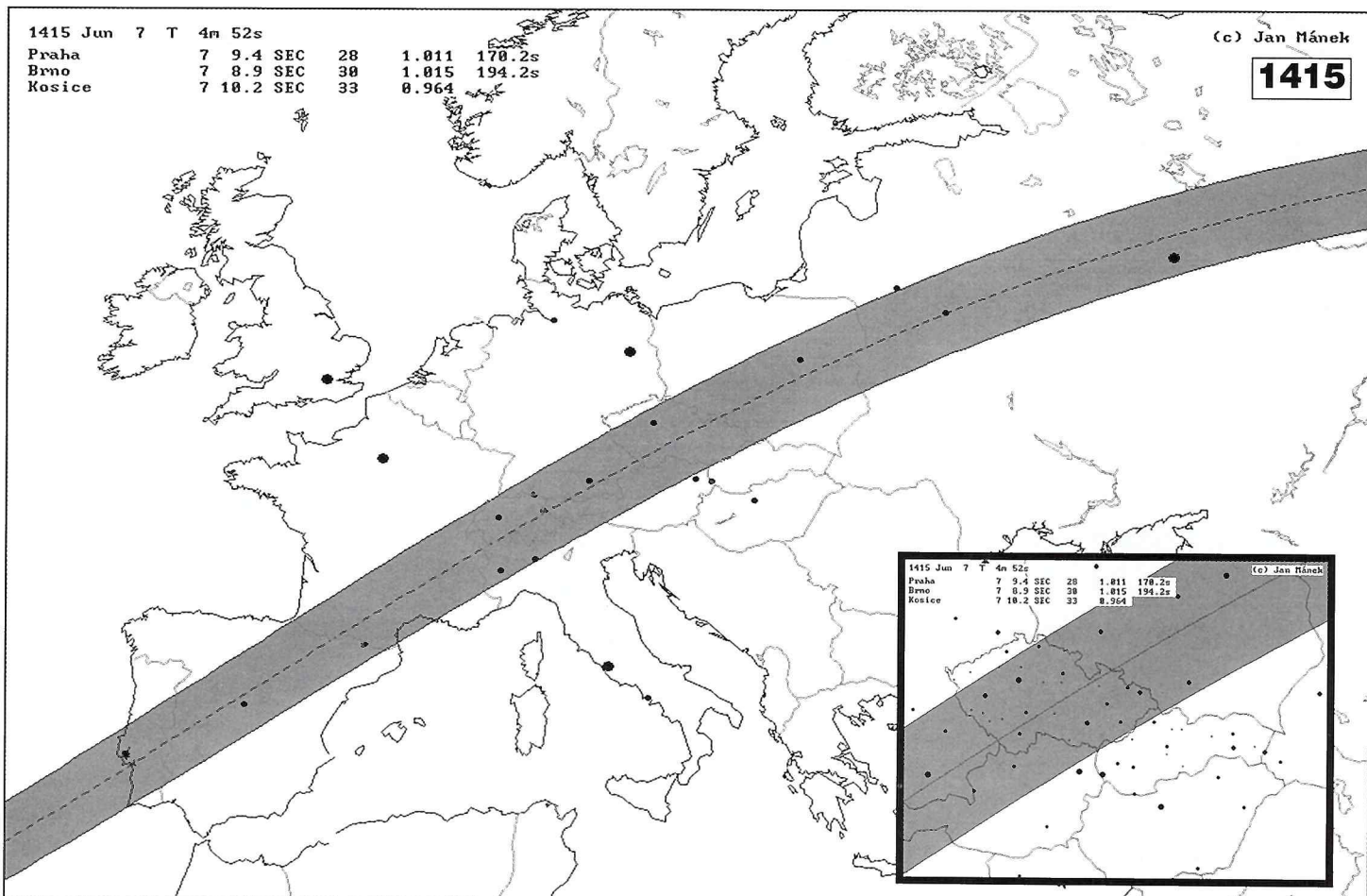
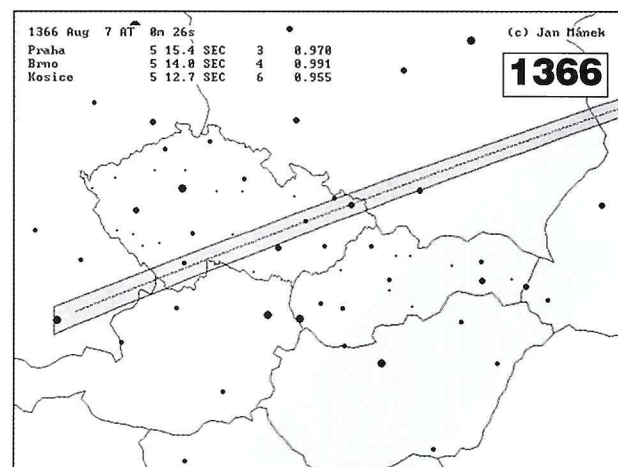
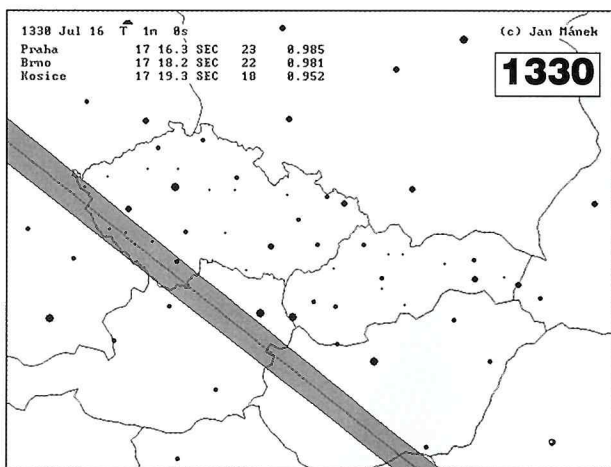
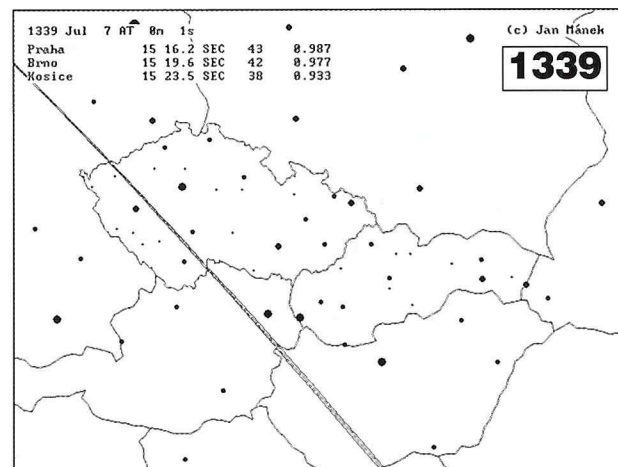
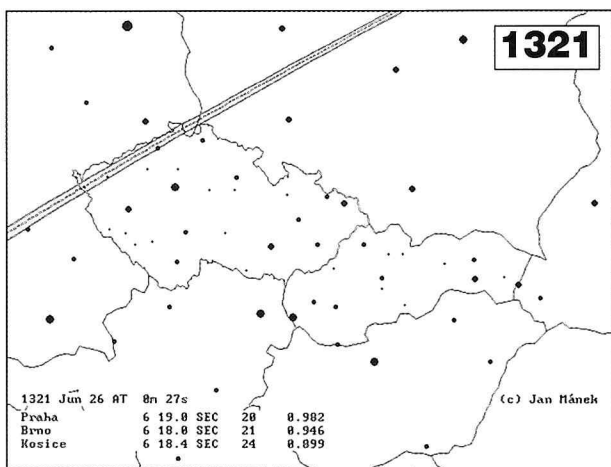
Za povšimnutí stojí, že se zatměním v české historii zabýval už před první světovou válkou Karel Steinich. V té době již bylo zpomalování zemské rotace nepřímo známo, a to v podobě empirických korekcí, které Steinich pro některé výpočty používal. Jeho korekce však odpovídaly poněkud menšímu zpomalování, než jsou hodnoty přijímané dnes. Dokládají to systematické rozdíly mezi jeho údaji a předkládanými mapami – pásy mnoha starších zatmění kreslí o 50 až 100 kilometrů západněji než nás my.





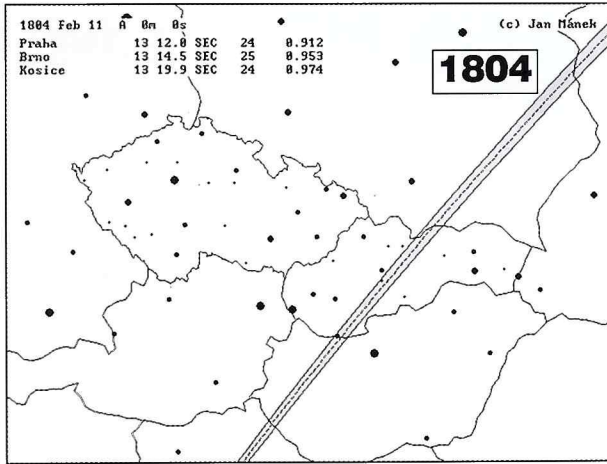
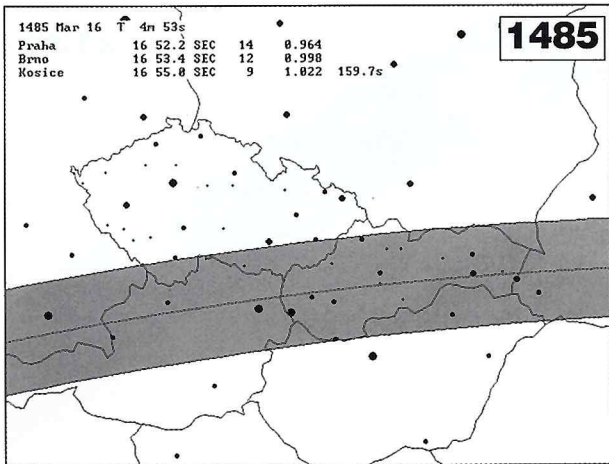
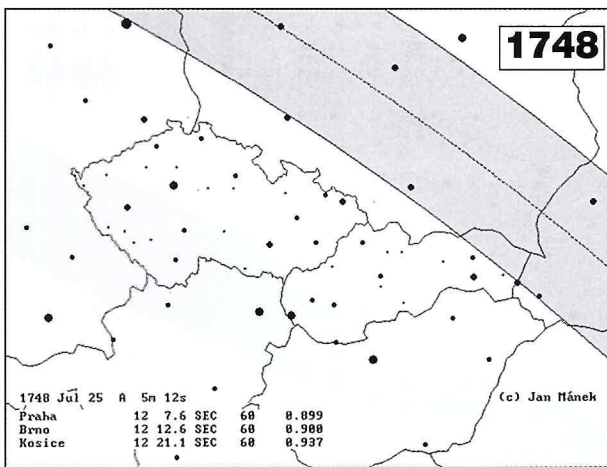
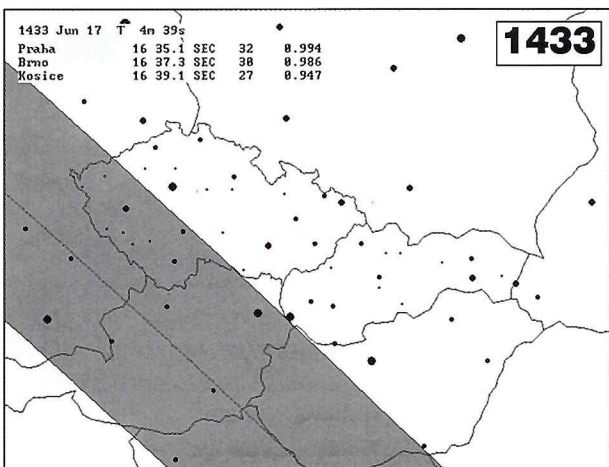
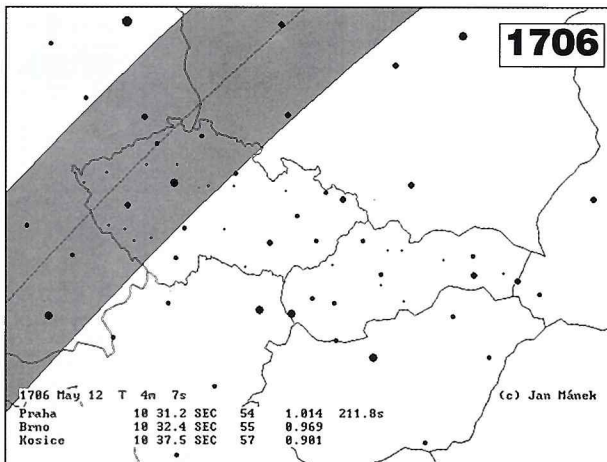
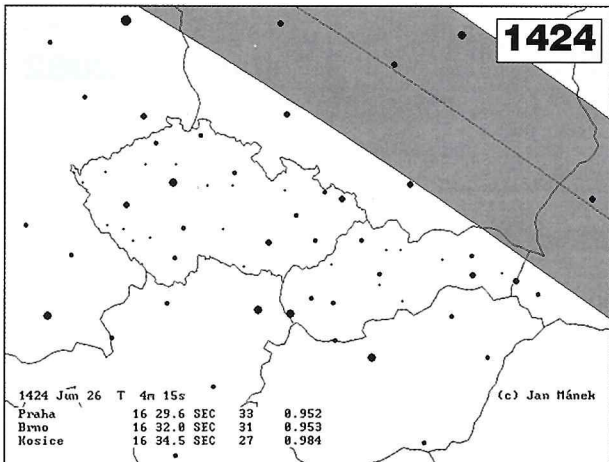
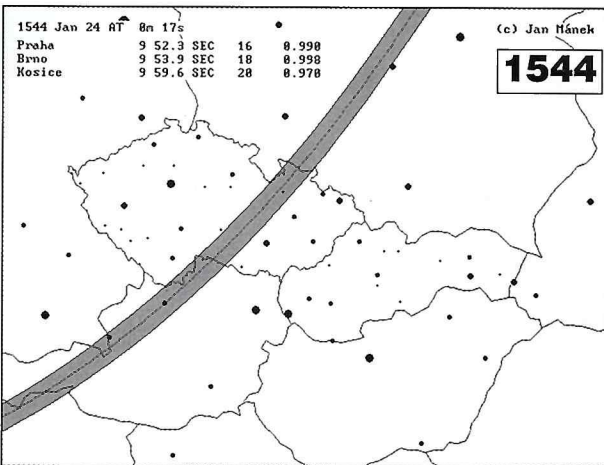
Mapy všech centrálních (tj. úplných a prstencových zatmění Slunce z rozmezí let 622–2135, jejichž centrální fáze byla (bude) pozorovatelná z některého bodu uvnitř státních hranic Česka nebo Slovenska.





Částečná zatmění Slunce viditelná v Bratislavě do roku 2010

datum	typ	začátek SEČ h m	střed SEČ h m	konec SEČ h m	maximál. velikost %
2003 31. V.	prsten.	—	4 20	5 18	82.4
2005 3. X.	prsten.	9 03	10 18	11 37	54.4
2006 29. III.	úplné	10 44	11 49	12 55	55.7
2008 1.VIII.	úplné	9 59	10 46	11 34	20.0
2010 15.I.	prsten.	—	—	7 50	(9.9)



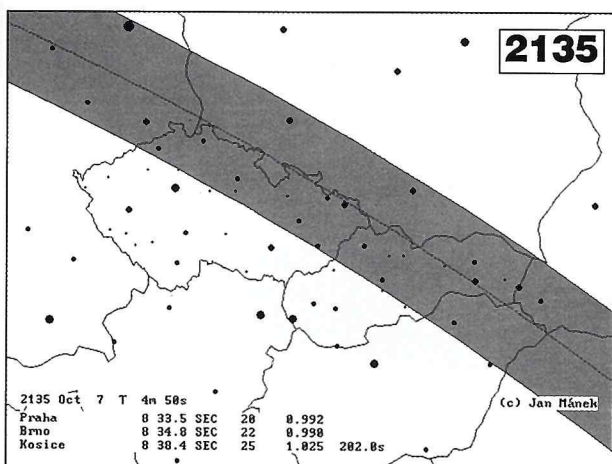
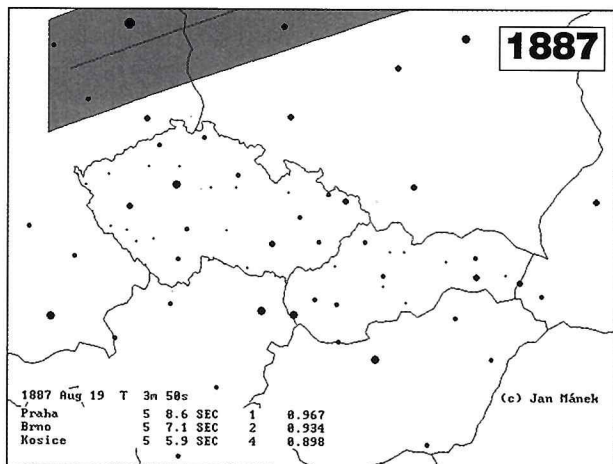
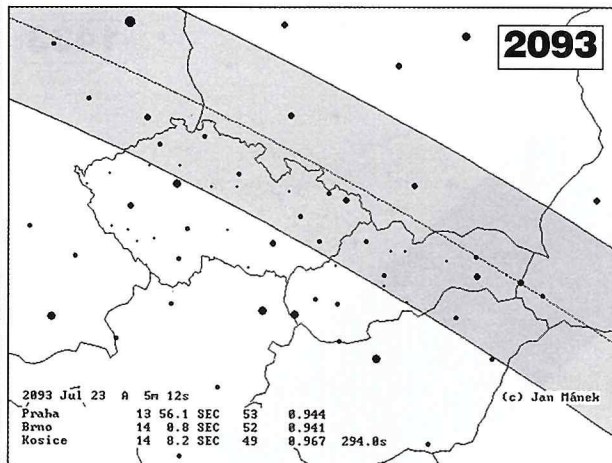
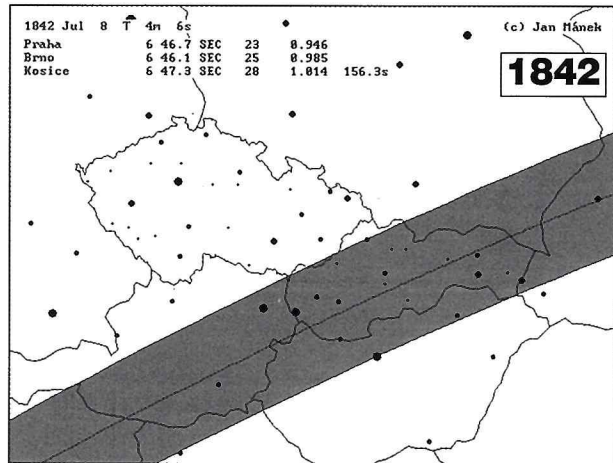
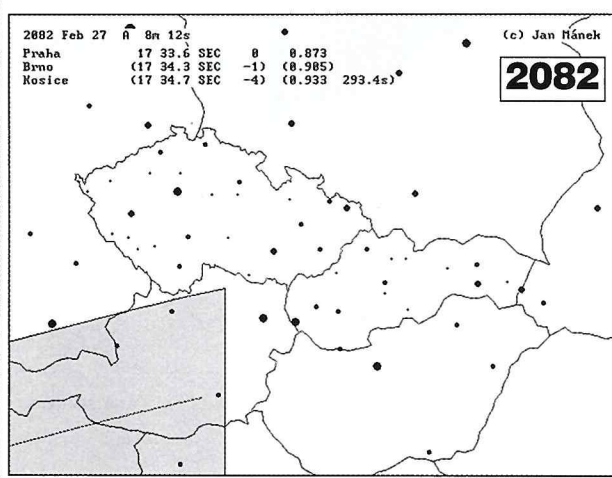
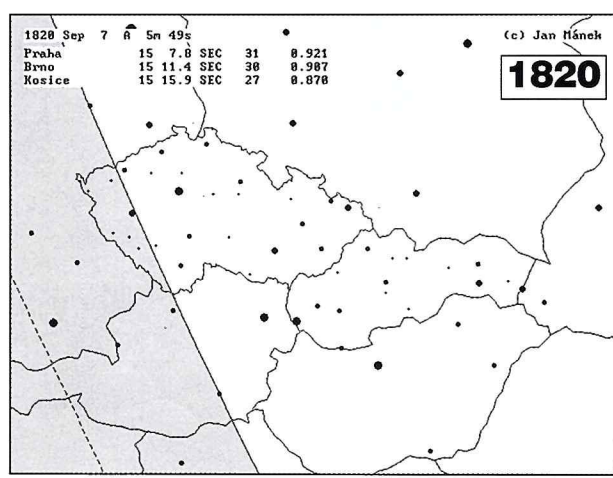
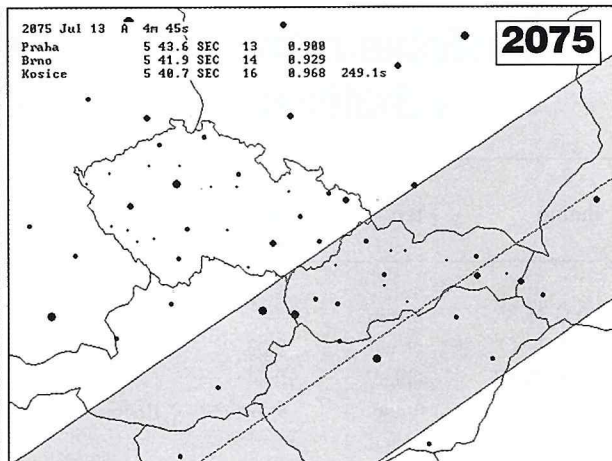
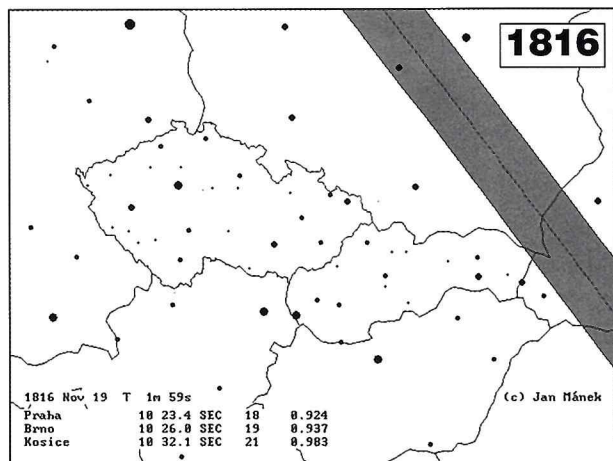
Tabulka také obsahuje obě zatmění, která budou v prvním desetiletí nadcházejícího tisíciletí viditelná v Evropě jako úplná. Z geografického hlediska půjde ovšem v Evropě o události okrajové. Zatmění 2006 bude úplné v Předkavkazsku poblíž Zelenčukského observatoře a v ústí Volhy, stín zatmění 2008 přetne Novou Zemi a potom se cestou do údolí Obu dotkne nejjazšího evropského severovýchodu.

Literatura:

Steinich Karel, asi 1910: Historická zatmění Slunce, zaznamenaná v českých letopezech od r. 813 do 1574. Praha, Beseda učitelská

Steinich Karel, 1913: Úplná a kruhová zatmění Slunce ve zemích českých od roku 878 do 1842. Věstník české akademie císaře Františka Josefa pro vědy, slovesnost a umění XXII, 9, 433–458

Přejeme všem
čtenářům,
aby dopoledne
11. srpna 1999
strávili co
nejblíže
centrální linii,
a aby v místě
jejich pobytu
panovalo jasné
počasí.



Jindřich Šilhán,
Hvězdárna
a planetárium
Mikuláše
Koperníka

Jediným autorem
výpočtů i mapek je
Jan Mánek
z pražské Štefánikovy
hvězdárny.
Při jejich přípravě
shromáždil mnohem
více informací, než
se do nich dalo uložit.
Další informace může
svým programem
získat. Pokud mu jeho
omezené časové
možnosti astronoma
amatéra dovolí, rád
zodpoví případně další
dotazy na adresu
<jmanek@mbox.vol.cz>.

Konštrukcia ďalekohľadu Ritchey-Chrétien pre náročného amatéra-astronóma

V nadväznosti na uverejnený prehľad teleskopov pre astroamatérov prinášame popis konštrukcie výkonného astronomického ďalekohľadu vyšej kategórie, známeho odbornej verejnosti ako Ritchey-Chrétien. Nepatrí medzi bežné ďalekohľady, lebo využíva hyperbolické zrkadlá, ktoré sa obtiažne vyrábajú aj kontrolujú. Predmetnú optiku dodal pán Kudzej (Humenné) z výrobne v Odese. Na dokreslenie kvality treba spomenúť, že aj známy Hubble Space Telescope na obežnej dráhe Zeme je tohto typu.

Na rozdiel od jednoduchého, ale pritom veľmi dobrého ďalekohľadu typu Newton dnes prinášame konštrukciu špičkových vlastností z dielne amatéra. Stručne: Tento typ optiky nevykazuje žiadne bežné chyby, s akými zápasí väčšina iných druhov ďalekohľadov. Ako nedostatky prináša iba únosné menšie geometrické skreslenie pola a stredný astigmatizmus.

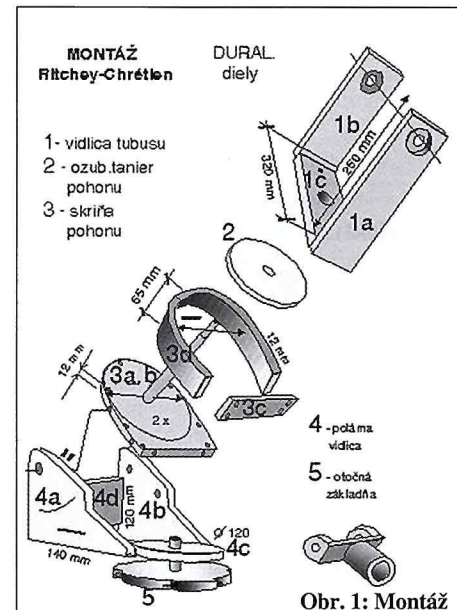
Celková konštrukcia aj s montážou (obr. 1 a 3)

Ideový návrh montáže vychádza z profesionálnych konštrukcií v časopise Sky Telescope. Väčšina dielov konštrukcie je z duralu, prípadne ľahkých syntetických materiálov. Cieľom bolo dosiahnuť maximálnu mobilnosť ďalekohľadu pri používaní v teréne mimo mestského osvetlenia. Dural sa sice ľahko zaobstaráva, ale možno ho nájsť v starých zásobach podnikov.

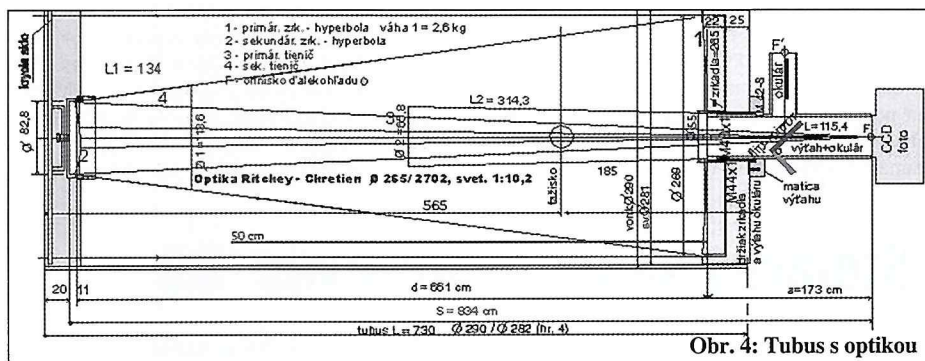
Ľahký tubus je z produkcie Gumon Bratislava. Srdcom motorového pohoru je motorček SMZ 375, ktorý sa bežne používal napríklad v starších gramofónových pohoroch. Miniatúrna prevodovka je z laboratórnych zvyškov.

Ako aj z obrázku 3 vidno, statív ako prvá časť súpravy (diel č. 5) je ukončený hore plošinkou, na

ktorú sa otočne priskrutkuje druhá časť – skriňa pohoru (diel č. 3), naklopená na polárku pomocou jednoduchej nastaviteľnej vidlice (diel č. 4). Na skrutku vyčnievajúcu zo skrine pohoru sa nasúva tretia časť teleskopu – nosná vidlica kompletného tubusu optiky (diel č. 1). Trojnožka statívovej je tiež z duralových trubiek, takže pri prenášaní celého systému sa prenášajú tri montážne diely, t.j. tubus s vidlicou, skriňu pohoru a statív, čo všetko spolu váži necelých 32 kg.



Obr. 1: Montáž



Obr. 4: Tubus s optikou

Jemný pohyb v deklinácii (od horizontu po zemit) sa deje pákou na vnútornnej stene vidlice tubusu. Brzda je na vonkajšej stene. Brzda a uvoľnenie pohybu v rektascenции (okolo polárky) je na spodku v strede vidlice.

Konštrukcia s optikou v tubuse (obr. 4 a 2)

Optika pochádza z Odesy a dodáva ju firma Astromarket Humenné (pán Kudzej). Parametre sú uvedené v tabuľke a cena je okolo 300 US dolárov. Treba zachovať miery, ktoré dodáva výrobca spolu s optikou, a dôležité je ešte zabezpečiť súosnosť držiakov zrkadiel, aby sa umožnilo nastavenie optickej sústavy. Výrobca z Odesy uľahčuje nastavovanie tým, že vo vypuklom sekundárnom zrkadielku je v pasívnej oblasti v strede záhlbené ďalšie pomocné parabolické zrkadielko, ktoré veľmi uľahčuje konečné nastavovanie súosnosti optiky. Bez tejto plôšky by bolo nastavovanie optiky problémom.

Držiak primárneho zrkadla môže byť buď z duralu, alebo iného ľahkého, ale dostatočne pevného materiálu (silón, textit a pod.). Uchytenie zrkadla je v šiestich bodoch, pričom chrábt zrkadla sa opiera o šesť filcových podložiek. Držiak sekundárneho zrkadielka je vyrobený z dvoch duralových tanierikov, chrábtmi spojených nastavovacou skrutkou. Jeden tanierik nesie vlastné zrkadielko a druhý tanierik je tromi ev. štyrmi tangenciálnymi páskami spojený s tubusom a stabilizuje optiku voči tubusu. Ďalším dôležitým a pritom technicky náročnejším detailom je výťah okuláru. Tento diel by mal byť vyrobený čo najpresnejšie s čo najmenšou výšou, aby pri zaostrovaní nedochádzalo ku kmitaniu obrazu. Na obrázku je vidieť špeciálnejšie riešenie výťahu, ktoré umožňuje najprv vybrať a pozorovať objekt, a nadväzne fotografovať v ohnisku ďalekohľadu, pričom stačí páčkou preklapáť pomocné rovinné zrkadielko, takže obraz máme buď v okulári, alebo v klasickom fotoaparáte, alebo na čipe CCD kamery. Je to tzv. „flip-mirror“. Trošku námahy dá vyrobiť tieniče na primárne a sekundárne zrkadielko, ktoré eliminujú parazitné svetlo. Možno ich zvinúť do kužela z tenkého duralového plechu alebo textitu, prípadne vyrobiť zo sklolaminátu. Keďže optické plochy sú veľmi citlivé na dotyk, je vhodné mať pri skladaní systému obe zrkadlá zakryté jemnou fóliou, ktorá sa odstráni až tesne pred zlúčením optiky. Po zložení systému zistíme presné tažisko váhy tubusu (počítať s prídavnými zariadeniami ako okulár, fotoaparát a pod.) a sem prídu uchyty deklinačných ložísk. Všetky mechanické úpravy (vŕtanie, brúsenie, uchytenie hľadáčika a teleobjektív, vloženie dek-

Obr. 5:
Hotový ďalekohľad

Prehľad váhových pomerov dielov kompletného systému

Diel systému	Váha (kg)
Tubus komplet (dlžka 73 cm)	13,0
Montáž s trojnožkou statívom komplet	13,6
Primárne zrkadlo 265x24,5 mm	2,6
Sekundárne zrkadlo 82,8	0,15
CCD Kamera Meade Pictor 208 XT	0,5
Teleobjektív Pentacon 4x200	0,68
1. Foto EXA 1B	0,68
2. Foto RICOH RDC-2	0,4
Transportná váha spolu	31,61

Poznámka.
(s hľadáčikom a okulárom)
(vrátane skrine pohoru)
265, F=2700

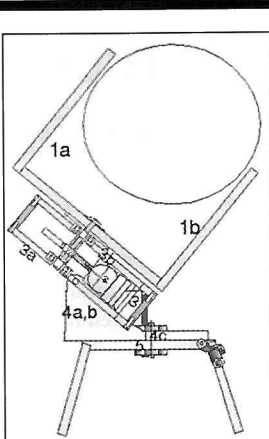
(Klasický)
(Digitálny 720x720 DPI)

lináčnych čapov a konečné začiernenie zvnútra tubusu čierou matnou farbou, napr. školskou tabuľovou farbou) na povrchu a vnútri tubusu treba urobiť samozrejme ešte pred vložením optiky. Taktto začiernené musia byť zvnútra všetky optické trubky (napr. aj výťah).

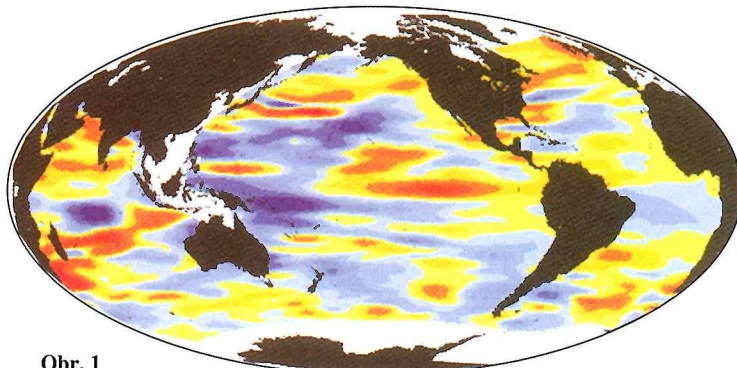
Konštrukcia skrine s elektrickým pohonom (obr. 3)

Duralová montáž s vidlicou tubusu sa opiera o skriňu poholu cez masívne ložiská. Pohon sa deje cez bronzové ozubené slimákové koleso, na ktoré pritláča silná pružina duralový držiak pastorka slimáka s prevodovkou a motorčekom. Pohon synchronným motorčekom prináša výhodu presných otáčok, ale aj nevýhody, ako problematická zmena rýchlosťi otáčania (zrýchlenie, spomalenie, prípadne reverzia otáčania) a závislosť na elektrickej sieti. Ideálnym riešením by bol pohon krovovým motorčekom, ovládaným elektronikou, a navyše s využitím počítača. To však je už riešenie finančne značne náročné. Zatiaľ čo pohon s SMZ 375 vyjde cca na tisíc päť Sk., pohon krovovým motorčekom a počítačom by stál niekoľko desatisíc. (cca 2000 DM). Navyše, pri počítačovom riadení treba rozšíriť elektrický pohon aj na deklináciu.

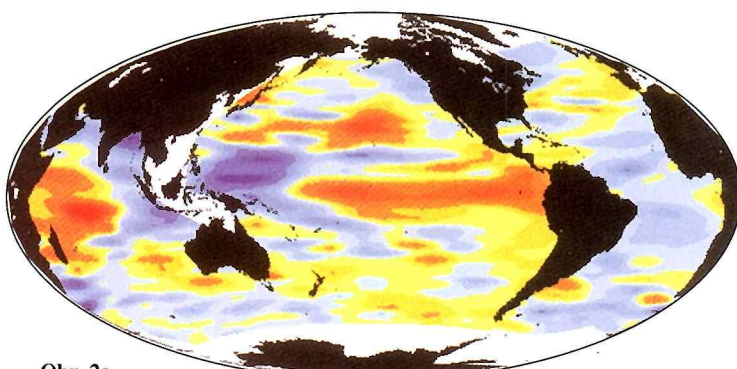
Samozrejme, okrem ďalekohľadu na pozorovanie potrebujeme ešte nevyhnutné príslušenstvo ako niekoľko okulárov, fotoprislušenstvo, ev. video-kameru či sadu výbavy CCD kamery.



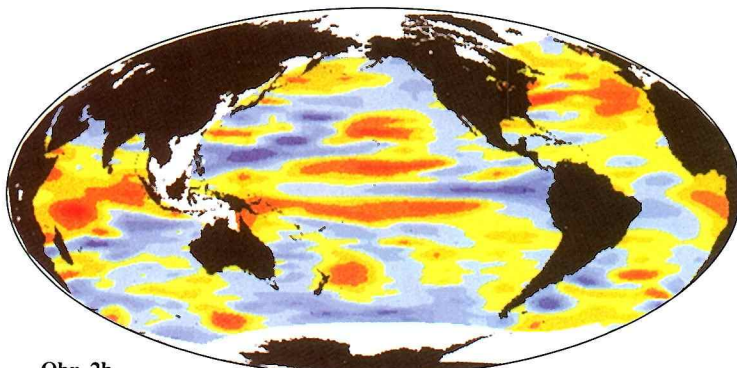
El Niño '97-'98 skončilo. Ať žije La Niña '98-'99!



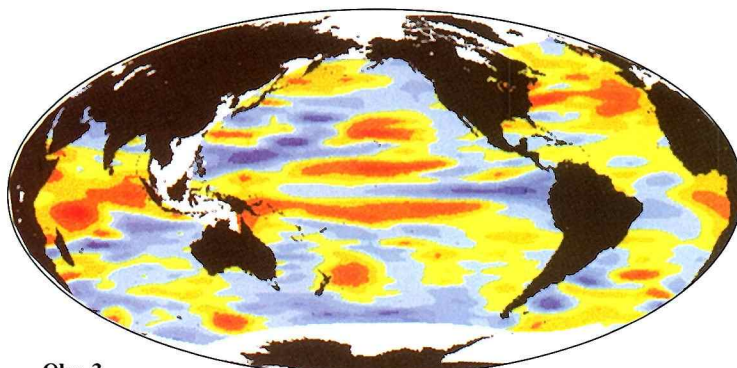
Obr. 1
Rok bez El Niňa.



Obr. 2a
Slabší El Niño 1994–1995, na jaře 1995 jev ustal.

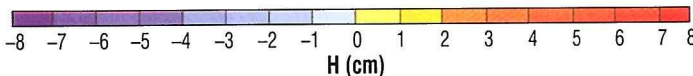


Obr. 2b
Jaro 1995, návrat k normálu.



Obr. 3
Typický rok El Niňa – 1997.

NOAA / Laboratory for Satellite Altimetry



Bude někdy pokoj od extrémů počasí? Nebude! El Niño, jeden z viníků, je přírodní jev vyplývající z odlišných vlastností atmosféry a oceánu. El Niño „žije“ s lidstvem jako bakterie a viry od pradávna a pokoj nedá nikdy. Na rozdíl od předchozích generací „do něj“ trochu vidíme, jsme již schopni jej průběžně sledovat a předpovědět a učíme se jeho následky přečkat.

Normální stav

Větry vanoucí přes rovníkovou oblast Tichého oceánu od severu Jižní Ameriky k Austrálii (od východu na západ), tzv. pasáty (anglicky „trade winds“) nesou spoustu vláhy, kterou odevzdají v podobě monzunových dešťů v jihovýchodní Asii. Podél západního pobřeží Jižní Ameriky od jihu na sever proudí studený oceánský Humboldtův proud.

Umlátlá družice Země vybavená radiolokačním výškoměrem („radar altimeter“) a dalšími přístroji změří nepatrné nesystématické odchylky topografie moří (což je povrch oceánu vyhlazený o vln a slapových vlivů) od dlouhodobého průměru. Takovou situaci ukazuje obr. 1: je na něm průběh topografie oceánu v zimě 1992–1993. Kladné odchylky topografie jsou vyznačeny červeně, záporné modře. Barevná stupnice je v centimetrech. Žádný zvláštní extrém (velké kladné nebo záporné odchylky) nejsou vidět. K tomu, abychom mohli odlišit tak jemné efekty ve vertikálním směru, musíme v tomto směru znát přesně dráhu altimetrické družice (obr. s textem na následující straně).

El Niño, teplá fáze

Občas pasáty zeslábnou a vláhu a energii nedonesou tam, kam mají, ale ta z větší části bez užitku spadne do oceánu. Část je nasměrována do vyšších zeměpisných šírek, kde může zcela narušit normální stav počasí. Od západu na východ (t.j. ve směru rotace Země) v rovníkové oblasti Tichého oceánu se začne hromadit teplejší voda a kladná odchylka topografie oceánu, jak ukazuje obr. 2a – stav v zimě 1994–1995. Teplá voda na východě oceánu při pobřeží Jižní Ameriky zatlačí Humboldtův proud a zcela změní poměry na moři i na pevnině v Peru a Chile. K tomu dochází kolem Vánoc – odtud ten název El Niño (španělsky Dítě, Jezulátko). Pokud se na jaře příštího roku situace vrátí k normálu (obr. 2b), nic se neděje. Přečkali jsme menší El Niño, je narušen rybolov, na pevnině hojně přešlo, může být dobrá úroda, ale

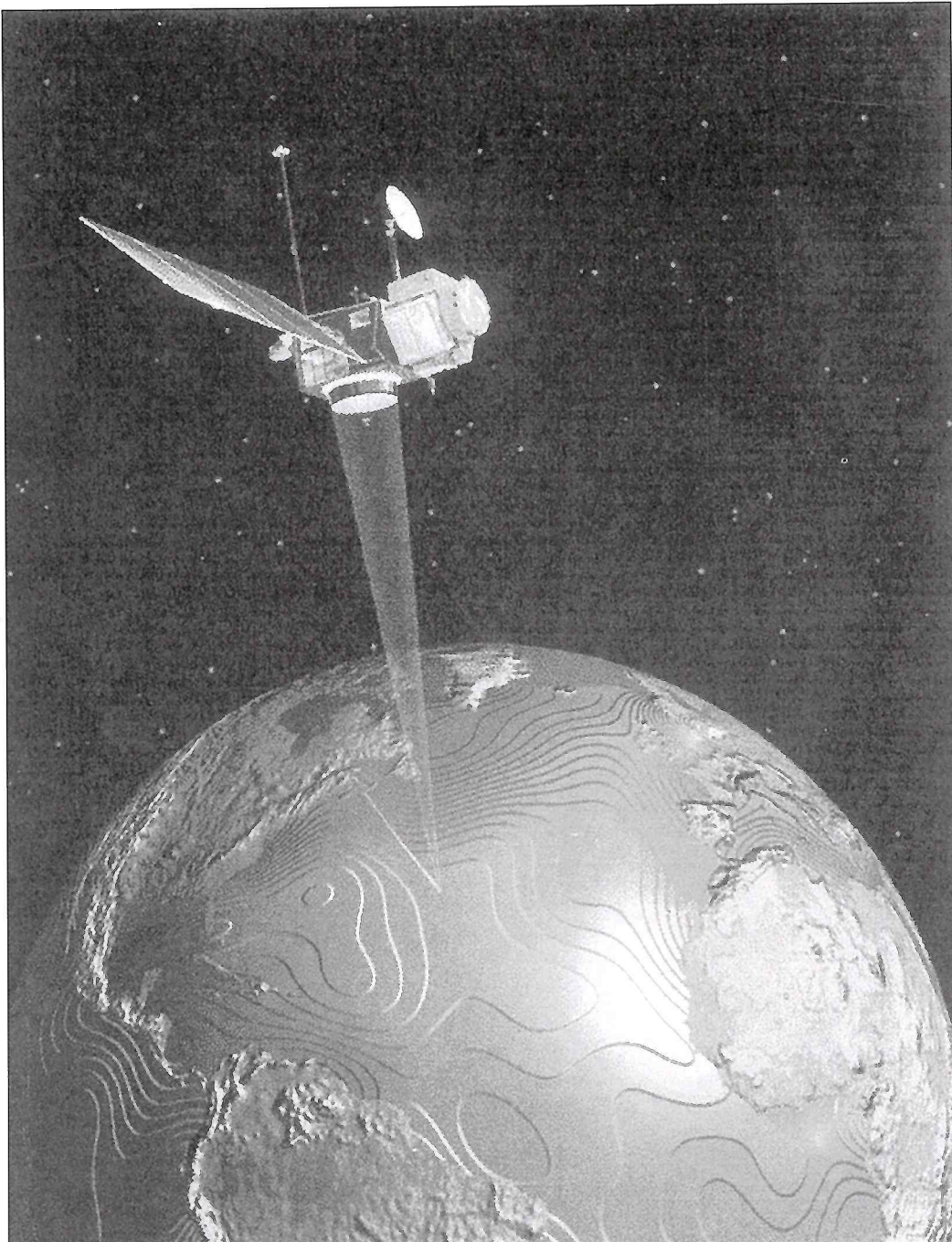
mohly být i povodně. Dosah jevu nemusel být globální.

Pokud pasáty oslavou zvlášť výrazně a obrátí směr svého proudění, můžeme očekávat Jezulátko s katastrofálními následky. Ohromné množství teplé vody se přesune ze západu na východ Pacifiku na pobřeží Peru a Chile. To se v tomto století stalo přinejmenším v letech 1925–6, 1982–3 a 1997–8. První jmenovaná epizoda byla údajně nejvýraznější za poslední čtyři století. El Niño 1982–3 zanechalo škody ve výši 10 procent hrubého národního produktu Peru. Ovlivnilo hospodářství a politický vývoj v zemi. Nejinak tomu mohlo být i v dávné minulosti. Jsou doklady o obrovských záplavách v severním Peru s nánosy bahna přes 10 metrů vysokými ze 16. století (před španělskou genocidou) a z 11. století (dynastie Chimú, Chan Chan).

Typické silné El Niño ukazuje obr. 3: kladná odchylka topografie oceánu je nahromaděna u Jižní Ameriky, záporná vznikne na západě oceánu. Rozdíl výšek mořské hladiny mezi Austrálií a Jižní Amerikou, posuvanou vůči dlouhodobému průměru, je až 20 centimetrů. Rozdíl teplot povrchových vrstev vody je až několik stupňů Celsia. Důležité je i anomální rozložení teploty vody pod povrchem. Je zatím konec léta nebo počátek podzimu. Knoflík na spoušti katastrof, které Jezulátko odstartuje, byl již zmáčknut: efekt se však dostaví v prosinci až v lednu.

La Niña, studená fáze

Někdy Jezulátko „vyhasne“, aniž by se zhouplo do opačného extrému. Loni se stal pravý opak: El Niño bylo vystřídáno La Niňou (španělsky Dívka, Dívenka, El Viejo, také se používá název anti-El Niño). Nevíme proč se tak stalo, možná jako důsledek silného extrému „teplé fáze“ z předchozího roku. La Niña 98–99 následuje po extrémně silném El Niño 97–98, podobně jako tomu bylo v roce 93–94, kdy bezprostředně následovala silné El Niño 92–93. V současné době (jaro 1999) La Niña slabne a vše se asi v nejbližších měsících vrátí na čas



Francouzsko-americká oceánografická altimetrická družice TOPEX/Poseidon (TOPOgraphy EXperiment, zkráceně T/P) je hlavním „hrdinou“ při sledování Jezulátka a Dívky, kromě řady lidí kolem ní. U nás v Ondřejově máme tu čest se mezi ně počítat (z hlediska dráhové dynamiky družic). Družice nese (mimo jiné) radiolokační výškoměr (radarový altimetr), který měří výšku letu nad oceánem s přesností 2–5 cm (podle stavu vln na moři). Jelikož předmětem studia jsou variace výšek (změny průběhu hladiny moří), je nutné znát též polohu družice vůči hmotnému středu Země (tj. dráhu družice) v radiálním směru (nahoru dolů) přinejmenším s toutéž přesností. K určení dráhy Topexu slouží dopplerovský systém DORIS, koutové odrážeče pro sledování laserovými družicovými dálkoměry na Zemi, anténa pro spojení s družicemi systému GPS (metoda sledování družice s družicí) a vlastní výškoměrná měření. Výpočet dráhy s několikacentimetrovou nepřesností je špičkovým výkonem astronomie a geodézie, přesněji řečeno jejich mezního oboru, který se nazývá dráhová dynamika umělých družic Země.

ROKY EL NIÑA			
1902–1903	1905–1906	1911–1912	1914–1915
1918–1919	1923–1924	1925–1926	1930–1931
1932–1933	1939–1940	1941–1942	1951–1952
1953–1954	1957–1958	1965–1966	1969–1970
1972–1973	1976–1977	1982–1983	1986–1987
1991–1992	1994–1995	1997–1998	

UKÁZKY WEBOVSKÝCH ADRES:

<http://www.jpl.nasa.gov/elnino>
ibis.grdl.noaa.gov/SAT
www.ogp.noaa.gov/enso
meteora.ucsd.edu/paclim/
www.dir.ucar.edu/esig/lanina
www.elnino.noaa.gov
... a mnoho dalších míst.

Animace:

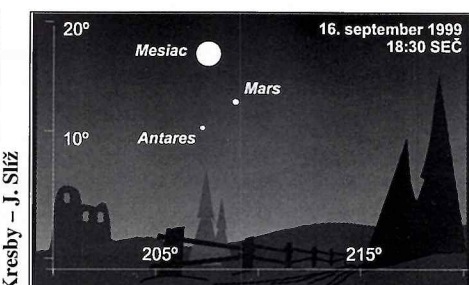
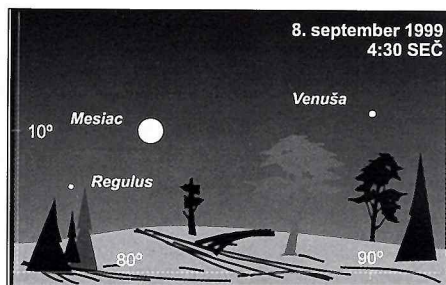
Například
www.cdc.noaa.gov/~map/maproom/text/climate_pages/sst_olr/el_nino_anim.shtml

k normálu (tak jak to ukazuje obr. 1, ale pro jiný čas), aby za pár let anomálie propukla znova. Jezulátko se dostavuje nepravidelně jednou za 2 až 10 let. Neplatí však, že každé El Niño je následováno La Niña. Následky El Niña a La Niña mohou být dlouhodobé a mohou zasahovat i mimorovníkové oblasti. Zatímco chod extrému v rovníkové oblasti průběžně sledujeme z altimetrických družic, můžeme jej předpovědět asi na půl roku dopředu a včas varovat ohrožené, efekty ve vyšších zeměpisných šírkách se dostavují zprostředkován komplikovaně a ještě se v nich moc nevyznáme. Důsledky La Niña nejsou zrcadlovým obrazem dopadů El Niña, ačkoli La Niña sama je zrcadlovým obrazem El Niña.

El Niño a La Niña 1997–1999

Obr. 4 až 9 (na zadné straně obálky) zachycují průběh změn topografie moří během nejnovější epizody El Niña a La Niña. Už v dubnu 1997 (obr. 4) měření z družice TOPEX signalizují páš kladné odchylky topografie centrální části Pacifiku. Extrém se postupně kumuloval, až koncem června 1997 bylo jasné, že nás El Niño na rozmezí r. 1997 a 1998 nemine. Obr. 5 ukazuje plně rozviný extrém: kladnou odchylku od centrální části Pacifiku až k pobřeží Jižní Ameriky. Červená barva odpovídá 10 cm odchylce nad průměrem (ten je zobrazen zeleně), bílá kladnému extrému nad 20 cm, fialová u Austrálie –20 cm a více pod normálem. Na jaře 1998 začalo El Niño slabnout a od západu k Jižní Americe začala pronikat záporná anomálie topografie moří (obr. 6), která brzy ovládla celou rovníkovou oblast (obr. 7 a 8). Teprve v lednu 1999 slabne i La Niña (obr. 9), ovšem jen ve smyslu odchylek topografie oceánu. Její důsledky se teprve projeví v nejbližším pulroce. Před družicemi bychom Jezulátko naznamenali až okolo Vánoč a jeho následky by nás překvapily. O Jezulátku 1997–8 se vědělo, jak také vyplývá z našich obrázků, půl roku dopředu, a tak americká vláda varovala vlády jihoamerických zemí, aby mohla být učiněna některá preventivní opatření. Totéž už platí pro studenou fazu, pro La Niña. Předpokládá se, že v brzké budoucnosti bude možné varování až na rok dopředu. Jezulátko a Dívky se sice nezbavíme, ale pochopením zákonitostí jejich výskytu a průběhu se s nimi naučíme žít tak, aby nám působily co nejmenší ztráty.

Jaroslav Klokočník
Astronomický ústav AV ČR,
Ondřejov



POZORUJTE S NAMI

Pozorovateľné prechody Veľkej červenej škvŕny (SEČ)

3.8.	0:34	24.8.	22:43	7.9.	4:23	20.9.	0:07
5.8.	2:12	26.8.	4:30	8.9.	0:14	20.9.	19:58
7.8.	3:50	27.8.	0:21	10.9.	1:52	22.9.	1:45
10.8.	1:20	29.8.	2:00	10.9.	21:44	22.9.	21:36
12.8.	2:58	29.8.	21:51	12.9.	3:30	24.9.	3:22
12.8.22:50		31.8.	3:38	12.9.	23:22	24.9.	23:14
15.8.	0:28	31.8.	23:29	15.9.	0:59	26.9.	5:00
17.8.	2:06	3.9.	1:07	15.9.	20:51	27.9.	0:52
19.8.	3:44	3.9.	20:58	17.9.	2:37	27.9.	20:43
22.8.	1:14	5.9.	2:45	17.9.	22:29	29.9.	2:29
24.8.	2:52	5.9.	22:36	19.9.	4:15	29.9.	22:21

Obloha v kalendári august - september 1999

Pripavili: PAVOL RAPAVÝ a JIŘÍ DUŠEK

Všetky časové údaje sú v SEČ

Končiace sa prázdniny budú u mnohých znamená aj menej času na obdivovanie krás hviezdnej oblohy. Teplé počasie a predĺžujúce sa noci však tvorajú predpoklady na podrobnejšiu prehliadku letnej a jesennej oblohy a poteší nás aj relatívne jasná kométa.

Udalostou číslo jeden bude, nepochybne, úplné zatmenie Slnka, no v zápale príprav a čakania na vytúžený deň však nezabudnime, že existuje aj obloha nočná a s ňou napríklad krásne Slzy svätého Vavrinca, ako sa ľudovo hovorí Perzeidám. Pripravených je aj niekoľko konjunkcií či zákrytov, a tak sa určite nudiť nebude. Ak sa vám čosi pekné podarí, nezabudnite to poslat aj do nášho časopisu.

Pre tých, čo na pozorovanie veľmi nie sú je tu zase niekoľko pekných a významných výročí.

Planéty

Merkúr je začiatkom mesiaca nepozorovateľný, no postupne sa uholivo od Slnka vzdáluje a do najväčej západnej elongácie (18°) sa dostane 14. 8. 10. 8. ráno bude v krásnej konjunkcii s tenkým kosáčikom Mesiaca a 19. 8. prejde kúsok pod Jasličkami. 23. 8. bude v periheliu a koncom prvej dekády septembra dosiahne svoju maximálnu jasnosť (-1.7 mag). Koncom mesiaca sa definitívne stráti v rannom súmraku a blíži sa k hornej konjunkcii so Slnkom, ktorá nastane 8. 9.

Venuša sa v ranných zorách začne objavovať až koncom augusta pretože 20. 8. je v dolnej konjunkcii so Slnkom. Uhlává vzdialenosť, od Slnka sa rýchle zväčšuje a stane sa dominantným objektom rannej oblohy. 9. 9. je v zastávke a elegantným oblikom sa vracia k Slnku. 26. 9. dosiahne maximálnu jasnosť -4.7 mag a na večernej oblohe ostane až do polovice marca.

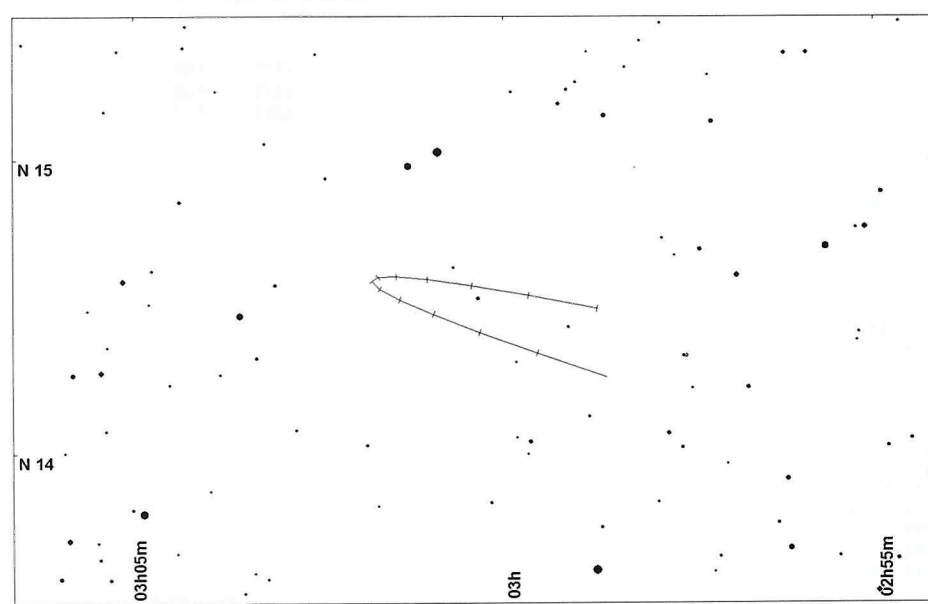
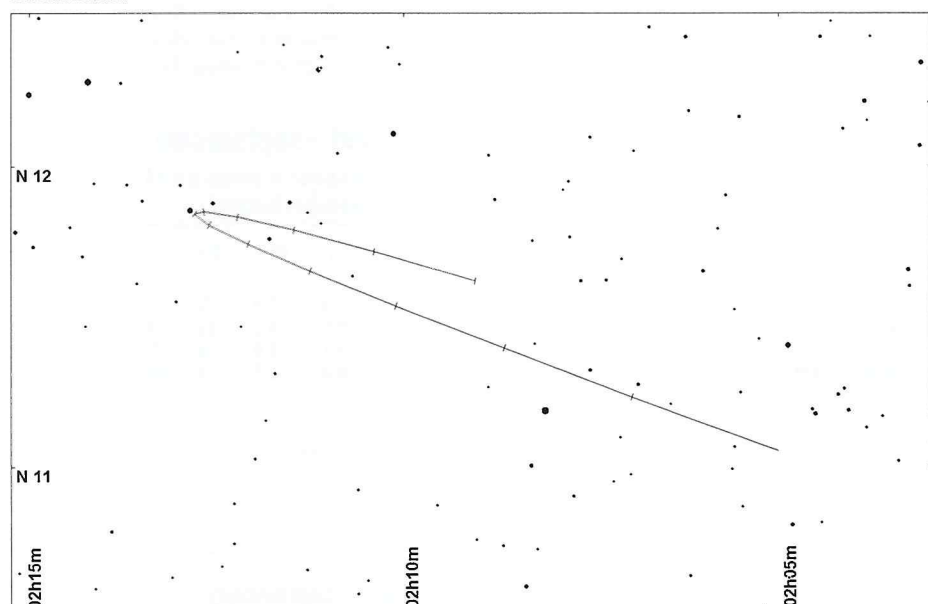
Mars začiatkom augusta zapadá o 22. hodine, koncom septembra ešte o dve hodiny skôr a tak ho po západe Slnka uvidíme ako načervenalý objekt pomerne nízko nad juhovzápadným obzorom. Jeho

jasnosť v priebehu dvoch mesiacov poklesne z 0.1 na 0.4 mag. Priamym pohybom sa 2. 9. presunie z Váh do Škorpióna a odtiaľ 15. 9. do Hadonosa.

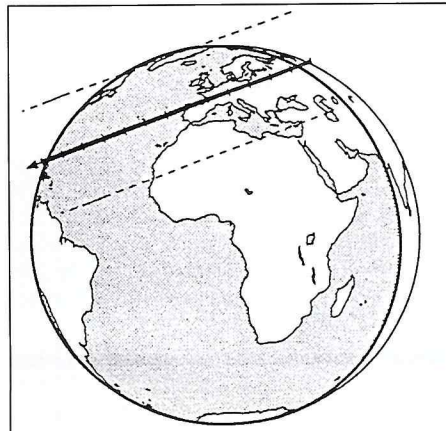
Jupiter je viditeľný v noci stále dlhšie, koncom septembra vychádza už za nautického súmraku ako objekt -2.9 mag. Je po oba mesiace v Baranovi a po zastávke 25. 8. sa začne pohybovať späťne. Koncom septembra vrcholí už hodinu po polnoci a tak je možné pri dostatočne kludnej atmosfére sledovať jeho povrchové útvary, ktoré stojia za to, aby sme si ich nakreslili.

Saturn vychádza o niečo neskôr ako Jupiter, a tak podmienky jeho viditeľnosti sú podobné. Pohybuje sa v Baranovi, kde urobí slučku, pretože 30. 8. je stacionárny. Koncom septembra vrcholí dve hodiny po polnoci a znova si môžeme vychutnať jeho široké prstence. Bez dalekohľadu je na oblohe ako žltkastý objekt nultej hviezdnej veľkosti. 5. 8. po jeho východe bude v konjunkcii s Mesiacom po poslednej štvrti za asistencie Jupitera.

Hore Jupiter, dole Saturn – slučky planét počas dvoch mesiacov.



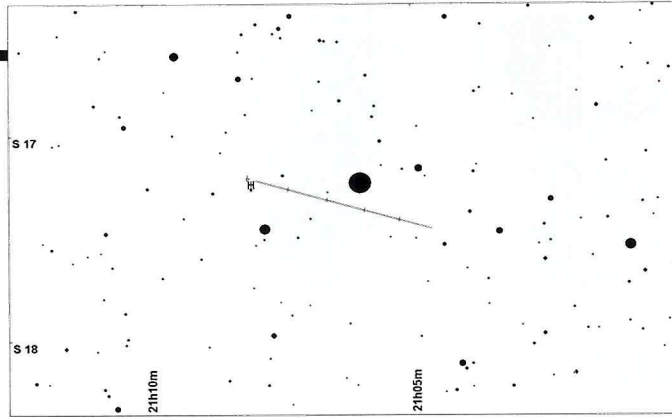
Priebeh zákrytu hviezdy PPM 701090 plánetkou (162) Laurentia podľa predpovede J. Schwaenena (EAON).



Urán je v Kozorožcovi (5.7 mag), kde sa pohybuje retrográdne. Napriek pomerne nízkej deklinácii sú podmienky pozorovateľnosti dobré, napoko 7. 8. je v opozícii a teda pozorovateľný po celú noc. Na prelome mesiacov je možné jeho vlastný pohyb sledovať na hviezdnom pozadí, pretože bude v okolí hviezdy θ Cap (4.1 mag), a tak sa pokúsm spozorovať ho aj bez dalekohľadu.

21. 9. nastane zákryt planéty Mesiacom, pričom nás súputník bude Urán pri vstupe postupne zakrývať 16 sekúnd. Nakoniec Mesiac bude 4 dni pred splnom, vstup bude nastávať za jeho neosvetlenú časť a pri dostatočne veľkom zväčšení to bude pohľad skutočne nádherný. Vstup pre Rimavskú Sobotu začne o 21:15:57 SEČ a výstup o 50 minút. Ten však už bude pozorovateľný tažšie.

Neptún (7.8 mag) je v Kozorožcovi a pohybuje sa tiež retrográdne. 20. 9. nastane jeho zákryt Mesiacom, ktorý však bude pozorovateľný len nízko nad obzorom. Vstup (23:47:38 SEČ) pri zákryte bude trvať 5 sekúnd, výstup nastane až po západe Mesiacu.



Urán v okolí hviezdy θ Cap od 20. 8. do 14. 9. Pohyb planéty v tomto období je možné zaznamenať aj voľným okom v priebehu niekoľkých dní.

Pluto (13.8 mag) je 21. 8. v zastávke a začne sa pohybovať v Hadonosovi v priamom smere.

12. 8. nastane dôtyčnicový zákryt Regulusa Mesiacom pozorovateľný od našich severných susedov. Hranica tieňa prechádza blízko observatória v Krakove a tak je aj napriek malej elongácií od Slnka (len 11°) akási šanca na úspech. U nás nastane len tesná konjunkcia (34°). Regulus sice vidieť môžeme, no Mesiac bude natoliky tenučký, že sme bez šance, pretože bude osvetlených menej ako 1% jeho disku.

Pozorovateľný denný zákryt Regulusa Mesiacom bude 8. 9. veľmi nízko nad západným obzorom. Podobne, ako u predchádzajúceho úzaku, však ko-

sáčik Mesiaca viditeľný nebude (elongácia 16°, osvetlené 2%).

Z ďalších úzakov súvisiacich s Mesiacom stojí najviac za povšimnutie zákryt Aldebarana Mesiacom 2. 9. Z nášho územia bude pozorovateľný len výstup a najlepšie na tom budú pozorovatelia na východnom Slovensku. Na západnom Slovensku po východe Mesiaca bude možné sledovať len vzdialovanie sa Mesiaca od tejto najjasnejšej hviezdy, akú môže Mesiac zakryť.

30. 9. nastane pred východom Slnka znova tesná konjunkcia oboch telies, Aldebaran bude len 14° južne od rohu Mesiaca pred poslednou štvrtou.

Určite všetci s napäťom očakávame tohtočnú Zuzanu. **11. augusta nastane dlhoočakávaný deň „D“, keď budeme mať možnosť pozorovať úplné zatmenie Slnka v strednej Európe.** Tí, ktorí ostatnú doma sa potešia aspoň jeho dostatočne veľkou (až 99%) fázou. Ak ste nestihli počas splnu expozičné skúsky, istú šancu ešte máte. Pri skúške však nezabudnite na rozdielnu výšku Mesiaca a Slnka, aby sme výsledkom neboli sklamani. Pri fotografovaní postupky na jedno poličko filmu si musíme zabezpečiť dostatočne tmavý, najlepšie neutrálny filter. Exponujeme v intervale 5 minút a expozíciu počas jednotlivých fáz zatmenia nemeníme.

Planétky

Z planétiek, ktoré v opozícii dosiahnu aspoň 11 mag budú pozorovateľné:

16 Psyche	(3.8. – 9.4 mag),
737 Arequipa	(11.8. – 10.9 mag),
219 Thusnelda	(14.8. – 11.0 mag),
128 Nemesis	(24.8. – 10.8 mag),
141 Lumen	(26.8. – 10.6 mag),
198 Ampella	(3.9. – 10.2 mag),
747 Winchester	(3.9. – 10.7 mag),
346 Hermentaria	(13.9. – 10.6 mag),
57 Mnemosyne	(23.9. – 11.0 mag).

Najjasnejšia z nich Psyche sa v septembri bude pohybovať v blízkosti jasných hviezd ρ a π Kozorožca. 30. septembra sa priblíži na necelú uhlovú minútu k peknej dvojhviezde α Cap, ktorej zložky s jasnosťami 5.9 a 6.7 mag sú od seba vzdialenosť 19".

Zákryty hviezd planétkami (august – september)

za podmienok, že Slnko je pod obzorom viac ako 12 stupňov a hvieza nad obzorom minimálne 10 stupňov (pre polohu Rimavskej Soboty)

dátum	pozorovací interval UT	planétku	priemer km	hviezda	mag	dm	dur	h*	el	%
Jun 5	23h06m 23h26m	261 Prymno	52	P 269500	7.5	5.4	8	15	43	63-
Aug 21	20h00m 20h20m	116 Sirona	74	P 268805	9.5	3.3	24	14	13	75+
Sep 07	01h18m 01h38m	709 Fringilla	100	G 2925 1556	9.7	5.0	4	45	40	10-
Sep 08	01h01m 01h31m	162 Laurentia	105	P 701090	10.3	3.8	9	40		

hviezda – označenie hviezdy v katalógu PPM

mag – jasnosť hviezdy; dm – pokles jasnosti; dur – trvanie zákrytu v sekundách;

h* – výška hviezdy nad obzorom

el – uhlová vzdialenosť Mesiacu

% – percento osvetlenej časti Mesiacu + dorastá, – ubúda

Zákryty hviezd Mesiacom (august – september)

(J. Gerboš)

Dátum	UT h m s	D/R	Mg	PA ° °	CA ° °	h	fáza	Hviezda	a	b	hs
99/ 8/ 3	1 54 58	R	69	220	60S	41	0.71	1775	-1.02	1.78	
99/ 8/ 4	23 53 57	R	62	285	58N	19	0.77	3972	-0.50	1.19	
99/ 8/ 7	0 18 9	R	57	223	51S	10	0.84	6351	0.37	1.94	
99/ 8/ 1819	6 44 D 77 152 42S	17 0.24 21249	-1.18 -2.46								
99/ 8/ 2219	45 3 D 64 78 80N	20 0.38 25807	-1.79 0.01								
99/ 8/ 2321	3 41 D 79 95 78S	20 0.41 27367	-1.77 -0.53								
99/ 8/ 30	2 30 58 R 62 305 37N	40 0.62 1439	-2.58 -3.05								
99/ 9/ 221	29 52 R 8 270 82N	3 0.75 5912	0.29 1.20								
99/ 9/ 4	0 39 29 R 67 288 70N	25 0.79 7423	-0.54 1.02								
99/ 9/ 4	1 19 16 R 69 194 16S	31 0.79 7512	0.54 4.10								
99/ 9/ 815	54 44 D 13 157 -47S	6 0.95 15260	0.37 -2.27 11								
99/ 9/ 816	29 13 R 13 239 35S	1 0.95 15260	0.13 -0.76 6								
99/ 9/ 1619	2 13 D 72 84 78N	10 0.22 22561	-1.02 -1.29								
99/ 9/ 1819	29 20 D 79 82 84N	15 0.29 43966	-1.37 -0.90								
99/ 9/ 1919	17 26 D 74 113 60S	19 0.32 26706	-1.88 -1.10								
99/ 9/ 2122	20 52 D 60 82 81S	16 0.39 29318	-1.18 -0.95								
99/ 9/ 2222	48 57 D 78 81 76S	21 0.43 30291	-1.28 -0.78								
99/ 9/ 2317	49 9 D 67 51 80N	15 0.46 30975	-0.90 1.93								
99/ 9/ 2721	16 4 D 43 65 -75N	31 0.60 3322	-0.70 1.73								
99/ 9/ 2722	22 6 R 43 246 77S	40 0.60 3322	-1.04 1.54								
99/ 9/ 2821	50 0 R 62 249 79S	31 0.63 4405	-0.61 1.70								
99/ 9/ 2823	10 37 R 62 206 35S	43 0.63 4465	-0.45 2.63								
99/ 9/ 2920	16 24 R 39 196 22S	10 0.66 5596	0.58 2.61								
99/ 9/ 30	0 29 32 R 53 219 45S	49 0.67 5767	-0.76 2.38								

Efemerida planétky (16) Psyche

dátum	RA(2000)	D(2000)	mag
4. 9.	20h32.2m	-17°51.2'	10.0
9. 9.	20h30.4m	-18°04.7'	10.1
14. 9.	20h29.1m	-18°15.7'	10.2
19. 9.	20h28.6m	-18°24.2'	10.3
24. 9.	20h28.7m	-18°30.2'	10.4
29. 9.	20h29.4m	-18°33.5'	10.5
4.10.	20h30.9m	-18°34.3'	10.5

Predpovedané sú len 3 zákryty hviezd planétkami aj to sú pomerne slabé hviezdy, teda opäť len šanca pre tých, ktorí disponujú väčšími priemernimi objektívov.

Komety

Ozdobou oblohy bude od polovice augusta kométa C/1999 H1 Lee aj napriek tomu, že jej jasnosť postupne slabne. Uvidíme ju už triédrom, je cirkumpolárna, no vyššie nad obzorom bude až v raných hodinách. Po dlhšom čase to je dostatočne jasná kométa aj pre menšie dalekohľady a tak by si túto príležitosť nemali nechať ujsť ani majitelia teleobjektívov či fotokomôr.

Ďalšia, pomerne jasná, kométa 10P/Tempel 2 nám však už veľa radostí neurobí, pretože sa pohybuje v južných deklináciach. Najlepšie podmienky na jej pozorovanie budú v okolí augustového novu, kedy pri kulminácii sa dostane 20° nad obzor.

Efemerida kométy C/1999 H1 (Lee)

Dátum	RA(2000)	D(2000)	mag
10.8.	07 ^h 15.4 ^m	+40°15.9	7.6
15.8.	07 ^h 06.5 ^m	+42°14.8	7.8
20.8.	06 ^h 56.0 ^m	+44°23.0	7.9
25.8.	06 ^h 43.0 ^m	+46°43.2	8.1
30.8.	06 ^h 26.4 ^m	+49°17.4	8.2
4.9.	06 ^h 04.2 ^m	+52°04.8	8.3
9.9.	05 ^h 33.5 ^m	+54°58.2	8.3
14.9.	04 ^h 50.3 ^m	+57°36.3	8.4
19.9.	03 ^h 51.6 ^m	+59°13.6	8.5
24.9.	02 ^h 40.6 ^m	+58°43.7	8.6
29.9.	01 ^h 30.1 ^m	+55°21.1	8.7
4.10.	00 ^h 32.5 ^m	+49°30.1	8.9

Efemerida kométy 10P/Tempel 2

31.7.	17 ^h 04.3 ^m	-17°40.5'	8.8
5.8.	17 ^h 08.3 ^m	-19°20.4'	8.8
10.8.	17 ^h 13.6 ^m	-20°58.7'	8.7
15.8.	17 ^h 20.3 ^m	-22°33.9'	8.7
20.8.	17 ^h 28.3 ^m	-24°04.7'	8.7
25.8.	17 ^h 37.5 ^m	-25°29.9'	8.7
30.8.	17 ^h 47.9 ^m	-26°48.4'	8.8
4.9.	17 ^h 59.3 ^m	-27°59.1'	8.8
9.9.	18 ^h 11.8 ^m	-29°01.3'	8.9
14.9.	18 ^h 25.2 ^m	-29°54.0'	9.0
19.9.	18 ^h 39.3 ^m	-30°36.7'	9.1
24.9.	18 ^h 54.1 ^m	-31°09.0'	9.2
29.9.	19 ^h 09.4 ^m	-31°30.6'	9.3
4.10.	19 ^h 25.0 ^m	-31°41.3'	9.4

Meteory

Južné i Akvaridy (SIA) začínajú svoju činnosť už koncom júla a končia v polovici augusta, no ich frekvencia v maxime (4.8.) je len 2 meteory za hodinu, len výnimočne aj viac (v roku 1982 to bolo 9).

Severné i Akvaridy (NIA) majú maximum okolo 20. augusta a sú len o málo aktívnejšie (ZHR 3). Odlíšenie oboch týchto rojov je obťažné, vhodné pre skúsenejších pozorovateľov s doporučením zákresov do gnomonických máp.

Perzeidy (PER) sú najaktívnejším prázdninovým rojom a s tým súvisí aj fakt, že o tomto roji je každoročne napozorovaných najviac údajov, ktoré zhromažduje databáza IMO. V činnosti sú od 17.7. do 24.8. Tradičné maximum nastane 13. augusta ráno, nové už 12.8. večer. Frekvencia v maxime je okolo 100 meteorov za hodinu. Mnohí meteorári budú tento roj pozorovať na svojich expedíciah za zatmením Slnka a počas úplnej fázy, ak budú mať štastie, možno tiež nejakú tú Perzeidu uvidia.

κ Cygnidy (KCG) sú v činnosti od 3. do 25. augusta s maximom 18.8. Meteory tohto roja sú rýchle a frekvencia v pomerne ostrom maxime dosahuje až 10 meteorov za hodinu, no je veľmi premenlivá.

δ Aurigidy (AUR) majú trvanie 10 dní s maximom 1.9. Meteory tohto roja sú rýchle a frekvencia v pomerne ostrom maxime dosahuje až 10 meteorov za hodinu, no je veľmi premenlivá.

δ Aurigidy (DAU) sú v činnosti od 5.9. do 10.10. s maximom (ZHR 6) 9.9. Maximum týchto rýchlych meteorov je nevýrazné s možnosťou niekoľkých podružných maxím.

Piscidy (SPI) sú v činnosti celý september s málo výrazným (ZHR 3) maximom 20.9.

Noční obloha 4/1999

S koncom léta se nám otevřel pohled na Mléčnou dráhu, a tedy i rozsáhlá molekulová mračna největší gravitačně vázané útvary v Galaxii. Jejich hmotnost se pohybuje mezi sto tisíci a jedním milionem Sluncí, velikost mezi šedesáti a tří sta parseků a věk zpravidla nepřesahuje sto milionů let...

O molekulových mračnech se kupodivu v astronomických učebnicích příliš nemluví, větší zájem si však zaslouží po právu. Už jen proto, že v sobě soustředují kolem padesáti procent mezihvězdne látky. Najdete je pouze v galaktické rovině a navíc jen poblíž spirálních ramen. Jejich hlavní složkou je molekulární vodík, do níž je vmichán neutrální vodík, helium a další prvky pocházející z termonukleárních reaktorů zaniklých hvězd, spojené obcas do složitých molekul. Obsahují také drobná zrníčka mezihvězdného prachu, jež intenzivně vyzařování chladí celý oblak na teplotu několika kelvinů.

V průměru najdete v jednom krychlovém kilometru čtverečním vesmírného prostoru 125 zrníček velikostí srovnatelné s částečkami cigaretového kouře a 1015 atomů převážně vodíku. V rozsáhlých oblacích pak naměříte až tisíckrát větší hodnoty.

Každopádně jsou uhlíkové a křemičkové šupinky docela vzácným kořením (poměr hmotnosti prachu k plynu je 1:100), ale jak už to tak bývá, bez něj by to asi nešlo: právě prach chladí mračna a zviditelněje nám jejich chimérickou krásu.

Rádi byste nějaké molekulové mračno uviděli? Není nic snazšího. Stačí si vzpmomenout, že nám tyto největší souvislé útvary v Galaxii brání ve výhledu na vzdálené stálice – existence plynoprahových mračen je tak hlavním důvodem skvrnitosti Mléčné dráhy. Jedním z nejkrátkovějších případů je známá Velká trhliny v souhvězdí Labutě a Orla. Jedná se o celý komplex prachových oblaků. Jeho jižní konec je k nám blíže než severní, proto je v Hadonoši tak široký a naopak v Labuti užší a s ostrými hrancemi. Současně je mírně skloněn k rovině Galaxie, a tak je Mléčná dráha nejjasnější v Labuti na severozápadě od Trhliny, zatímco v Orlu na jihovýchodě.

S menšími či většími tzv. temnými mlhovinami se však setkáme prakticky všude. Uhlově menší, ale téměř učebnicová a vhodná i pro začátečníky, je například dvojice Barnard 142 a 143, pojmenovaná počátkem našeho století podle katalogu amerického astronoma Edwarda Emersona Barnarda. Na bezměsíčné, průzračné obloze se Sometem Binarem 25×100 podívejte asi půl stupně západně od gamy Aquilae (nad Altairem). Na světlém pozadí Mléčné dráhy tu po chvíli rozeznáte tmavý ovál s osou

orientovanou směrem na severovýchod, který vám při pečlivém prohlížení může svojí strukturou připomenout tiskací písmeno E či U. Celkový průměr soustavy je asi jeden stupeň.

Jinou výraznou mlhovinu Barnard 133 najdete dva stupně jižně od lambda Aquilae. (V Atlasu Coeli je zakreslena necelý stupeň pod planetární mlhovinou NGC 6751.) Vzhledem k tomu, že má velikost 9'×5', bude vhodnější, když se na ni podíváte nějakým větším dalekohledem. O tom, jak je tenhle asi 1300 světelných let vzdálený oblak hustý, svědčí snímek kdysi pořízený na Wilsonově hoře stopkovým reflektorem. Po čtyřhodinové expozici zde astronomové nenalezli jedinou prosvítající hvězdu! Jeho skutečný průměr se odhaduje na necelé dva světelné roky – je tak příkladem tzv. Bokovy globule, skutečného luna až několika exemplářů nových hvězd. Hmotnost mračna se pohybuje kolem devadesáti Sluncí a některé odvážní futuristé předpokládají, že se v průběhu dvou až čtyř milionů let rozdrobí na jednotlivé stálice.

Mezihvězdný materiál však nemusí jenom stínit. Pokud se poblíž molekulového mračna nachází dostatečně jasná stálice, může její záření dát za vznik reflexní nebo emisní mlhovině. Jedním z nejhezčích a zcela jistě nejjasnejších emisních mlhovin je Laguna ve Strelci (M8). Tahle drobná skvrnka je za průměrných podmínek viditelná bez dalekohledu, mnohem pohlednejší je ale v Sometu binaru 25×100. Jak vás přesvědčí pohled do atlasu či katalogu, skládá se z hvězdokupy NGC 6530, kolem které se rozkládá jemná mlhovina NGC 6523. Skupinu asi dvacetí stálic o průměru deset uhlových minut poprvé popsal Anglický John Flamsteed: „mlhovina přecházející Strelcův luk“. Světlé glorioly si pak všiml Francouz Jean Baptiste Le Gentil, asistent Jacques Cassiniho na Pařížské observatoři: „...lezí mezi levou patou Hadonoše a lukem Strelce, západně od hvězdokupy, která byla nalezena v této části nebe a která je podobná skupině v Rakovi. Ta to mlhovina má tvar mírně protáhlého rovnoramenného trojúhelníku s jedním vrcholem směrem na jihozápad. Sledoval jsem ji s dalekohledem 18 až 20 stop [dlouhým] a vždy se jevíla mlhavá a transparentní; její základny se dotýkají vcelku nápadná hvězda, která je jasnejší než stálice hvězdokupy.“

Stáří Laguny se odhaduje na dva miliony roků. Obsahuje natolik masivní a zářivé hvězdy, že je velmi slušně viditelná i na vzdálenost 5200 světelných let. Její faktický průměr se pohybuje kolem 120 světelných let a rozkládá se na okraji molekulového oblaku, do kterého se postupně prohlodává. V první vlně se před třemi až sedmi miliony roky



Část snímku pořízeného objektivem o průměru 12,5 centimetru v červenci 1931 na Mt. Wilsonu. Exponice trvala čtyři hodiny. U levého dolního okraje najdete Altair, šípkou je vyznačena poloha dvojice temných mlhovin Barnard 142 (spodní) a 143 (horní). Od nich doprava nahoru najdete další soustavu Barnard 334, 336 a 337. Snímek má úhlové rozměry 7x7 stupňů a obsahuje hvězdy do asi 16,5 magnitudy.

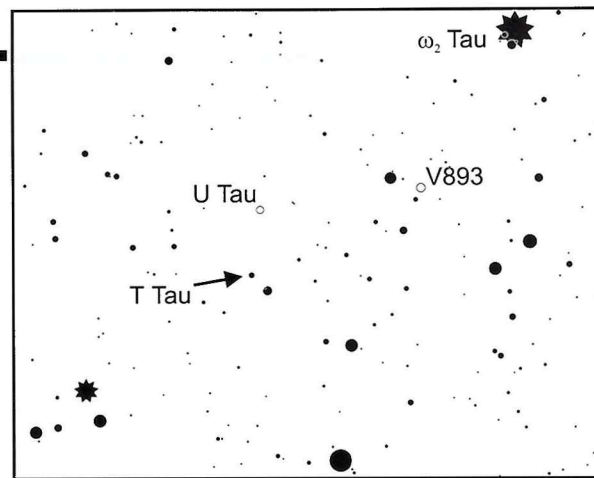
narodila kupa NGC 6530, jež se dnes nachází před mlhovinou. K nové generaci patří hvězdička 9 Sagittarii, o které mluví i Le Gentil. Její výkon se odhaduje až na jeden milion Sluncí, patří tedy mezi nejsvitivější známé stálice! Právě jí vděčí valná část mlhoviny za svou zář.

Ponořme se ale do Laguny ještě hlouběji. Ve velkém dalekohledu, řekněme nad dvacet centimetrů v průměru, se podívejte západně od 9 Sgr. Právě tady je samotné srdce M 8 – její nejjasnější část. Vypadá jako ovál o velikosti $8'' \times 30''$ a nazývá se Přesýpací hodiny. Na jejím okraji zahlednete stálice asi desáté velikosti označovanou Herschel 36, jednu z nejmladších, kterou můžete spatřit na vlastní oči. Odhaduje se, že vodík ve svém nitru začala spalovat teprve před několika desítkami tisíc roků. Vězte, že právě ona je jedním z hlavních zdrojů pronikavého ultrafialového záření, který nutí svítit okolní vodík. Supermasivní budulínek spektrální třídy O7 ohřívá plyn na neobýejně vysokou teplotu. Obdobně jako u pozemských tornád, pak velký rozdíl teplot mezi horkou a studenou částí mračna, spolu s gradientem tlaku záření, dává za vznik silnému proudu – Přesýpacím hodinám. Herschel 36 se tak dostává do pozice novorozeně, jehož údělem je zavraždit svou matku – mlhovinu, z níž se zrodilo.

Chcete se podívat na ještě mladší hvězdy? Tak mladé, že v jejich nitru dosud neprobíhají jaderné reakce? Pak se musíte vydat na ranní oblohu...

Období, kdy hvězda září pouze na úkor své potenciální energie uvolňované během pozvolného smršťování, se počítá na několik desítek milionů let od okamžiku, kdy se vyloupla z molekulového mračna. Je tedy pravděpodobné, že nějaký takový případ můžeme občas přistihnout „in flagranti“ – hvězdáři jich přitom ve své kolektivní sbírce mají už celou řadu, ukrývají se totiž za proměnnými typu T Tauri, FU Ori či YY Ori. Tyhle zárodky svými rozdíly stonásobně převyšují Slunce a mají i o několik rádů větší zářivý výkon.

Z povrchu protohvězd vane divoká vichřice hvězdného větru, takže ztrácejí velké množství látek



V okolí protohvězdy T Tauri lze ve velmi velkých dalekohledech (jeden metr a více!) zahlednout slabou mlhovinu NGC 1554. K prohlídce samotného novorozenečného vám ale postačí běžný přístroj. Její jasnost se totiž stabilně pohybuje mezi 9,5 a 10,5 magnitudy. V hledací mapce (sever nahoru, západ vpravo) jsou hvězdy do 12 mag a na výšku má dva stupně.

ky. Většinou u nich najdeme ještě zbytky zárodečné mlhoviny, pozorovány jsou výtrysky ve směru rotace osy, zbytky akrečního disku, jejich jasnost poskakuje sem a tam... Plápolání proměnných T Tauri však není výsledkem evolučních změn, ale pouze nestabilitou akrečního disku, pádem okolohvězdného materiálu na povrch novorozeneče a dalších jevů. Většinou se tyto nepravidelné změny pohybují v rozmezí několika desetin magnitudy, občas však dojde k mnohem dramatičtější události. Například před šedesáti lety se naprostě tuctová hvězdička v souhvězdí Oriona, dnes označovaná FU Orionis, v průběhu jednoho roku zjasnila o šest magnitud. Od té doby má pořád desátou velikost. Něco podobného provedla i V1057 Cygni v roce 1970, ona se však od té doby pozvolna zeslabuje. Zatímco v době své největší slávy měla 9,8 magnitudy, dnes je pod třináctkou. Zjasnění protohvězd je vzácná záležitost, nicméně je pravděpodobné, že alespoň jednu takovou událost během svého života ještě zahlednete.

Zajímavá je i samotná T Tauri: Hvězdičku obklopenou mlhovinou zahleděl v říjnu 1852 J. R. Hind. Tehdy měla průměr třicet úhlových vteřin a na jejím okraji ležela stálice desáté velikosti. Na základě dostupných map přitom usoudil, že musí být proměnná. Hindova mlhovina byla sledována několik následujících let, až se roku 1861 zjistilo, že zřetelně slabne. Zcela zmizela o sedm let později. Znovu ji našel E. E. Barnard a S. W. Burnham 36palcovým teleskopem Lickovy observatoře v roce 1890. O pět let později se zase schovala, nicméně změny jejího vzhledu a jasnosti potvrdila fotografie, kterou začali hvězdáři vzájemně používat.

A jen tak mimochodem, žhavinkou je objev celé protohvězdné kupy. Po skupině Velký vůz, Hyády a Vlasy Bereniky je dokonce čtvrtou nejbližší známou hvězdokupou. Nachází se 315 světelných let daleko a třináct dosud identifikovaných členů v prostoru zabírá necelé tři světelné roky. Při pohledu ze Země má průměr půl stupně a co je ještě zajímavější – tři členové η Cha, RS Cha a HD 75505 jsou pohodlně viditelní i malým dalekohledem. Bohužel, tento unikátní kousek leží jenaděj stupně od jižního nebeského pólu... Každopádně dny této skupinky, která se vytvořila někdy před čtyřmi až dvaceti miliony roků, jsou sečtené. Její gravitační soudržnost je natolik malá, že z ní jednotlivé stálice bez odporu unikají. Časem z ní zbudou pouze osamoceňné hvězdy plující prázdným vesmírem.

(Noční obloha vzniká ve spolupráci s Amatérskou prohlídkou oblohy)

Kalendár úkazov august – september (v SEČ) a výročí

3.8.	planétka 16 Psyche v opozicii (9.4 mag)	21.8.	Pluto v zastávce	8.9.	16	Merkúr v hornej konjunkcii
4.8.	18.4 Mesiac v poslednej štvrti	21.8.	21.2 zákryt hviezdy PPM 268805 (9.5 mag)	8.9.	17.2	denná konjunkcia Regulusa Mesiacom – zákryt
4.8.	maximum meteorického roja južné 1 Akvaridy (ZHR 3)		planétou 116 Sirona		9.9.	210. výročie narodenia (1789) W.Bonda
5.8.	1.7 konjunkcia Mesiaca so Saturnom (Saturn 3,7° severne)	23.8.	Merkúr v perihéliu	9.9.	20.9	Venuša v zastávke
5.8.	19.3 Merkúr stacionárny	24.8.	planétka 128 Nemesis v opozicii (10.8 mag)	9.9.	23.0	maximum meteorického roja δ Aurigidy (ZHR 4)
5.8.	30. výročie (1969) Marineru 7	25.8.	13 Jupiter v zastávke	12.9.	23.0	Mesiac in nove
5.-11.8.18.	Európske zákrutové sympózium, Stuttgart	25.8.	10.výročie (1989) preletu Voyagera 2	12.9.	40.výročie (1959) Luny 2	40.výročie (1959) Luny 2
7.8	19.6 Urán v opozicii	26.8.	oko Neptúna	13.9.	planétka 346 Hermentaria v opozicii (10.6 mag)	planétka 346 Hermentaria v opozicii (10.6 mag)
8.8.	0.6 Mesiac v prizemí	27.8.	planétka 141 Lumen v opozicii (10.6 mag)	16.9.	19.7	Mesiac v odzemí
10.8.	2.7 konjunkcia Merkúra s Mesiacom	28.8.	0.8 Mesiac v splne	17.9.	23.1	Mars v konjunkcii s Antaresom
11.8.	12.1 Mesiac v nove – úplné zatmenie Slnka	28.8.	210. výročie (1789) objavenia Saturnovho mesiaca Enceladus (Herschel)	17.9.	21.1	Mesiac v prvej štvrti
11.8.	planétka 737 Aiquipa v opozicii (10.9 mag)	30.8.	18 Saturn v zastávke	17.9.	23.5	výročie narodenia (1764) J.Goodricka
12.8.	6.4 tesná (34°) denná konjunkcia Regulusa s Mesiacom	1.9.	20.výročie (1979) preletu Pioneeru 11	20.9.	23.8	zákryt Neptúna Mesiacom
13.8.	maximum meteorického roja Perzeidy (ZHR 100)	1.9.	oko Saturna	20.9.	23.8	maximum meteorického roja Piscidy (ZHR 3)
14.8.	15 Merkúr v najväčšej západnej elongácii (18°)	1.9.	maximum meteorického roja α Aurigidy (ZHR 10 var)	21.9.	21.3	zákryt Urána Mesiaca
14.8.	planétka 219 Thusnelda v opozicii (11.0 mag)	2.9.	19.1 Mesiac v prizemí	23.9.	12.5	jesenná rovnodennosť, Slnko vstupuje do znamenia Váh
18.8.	maximum meteorického roja κ Cygnidy (ZHR 3)	2.9.	22.1 konjunkcia Aldebarana s Mesiacom – zákryt	23.9.	51.1	planétka 57 Mnemsoyne v opozicii (11.0 mag)
19.8.	2.8 Mesiac v prvej štvrti	2.9.	23.3 Mesiac v poslednej štvrti	25.9.	11.8	Mesiac v splne
20.8.	0.5 Mesiac v odzemí	3.9.	planétka 198 Ampella v opozicii (10.2 mag)	26.9.	Venuša v maximálnej jasnosti (~4.7 mag)	Venuša v maximálnej jasnosti (~4.7 mag)
20.8.	13 Venuša v dolnej konjunkcii	3.9.	planétka 747 Winchester v opozicii (10.7 mag)	27.9.	15.9	konjunkcia Jupitera s Mesiacom (Jupiter 4,4° severne)
20.8.	maximum meteorického roja severné 1 Akvaridy (ZHR 3)	7.9.	2.5 zákryt hviezdy GSC 2925 1556 (9.7 mag) planétou 709 Fringilla	28.9.	14.3	konjunkcia Saturna s Mesiacom (Saturn 3,3° severne)
		8.9.	2.3 zákryt hviezdy PPM 701090 (10.3 mag) planétou 162 Laurentia	28.9.	17.7	Mesiac v prizemí
				30.9.	5.1	tesná konjunkcia Aldebarana s Mesiacom (Aldebaran 14° južne od rohu)

Stránka pre začínajúcich astronómov

(3)

Pokračujeme v našom seriáli o základoch astronómie. Dnes to bude dokončenie témy z minulého čísla, výpočet miestneho hviezdnego času a kalendár.

Miery času, deň, rok

Všetkým časom, o ktorých sme hovorili, treba ešte dať prívlastok *miestny* (MČ). Týkajú sa iba určitej zemepisnej dĺžky. Ak je u nás pravé poludnie, t.j. Slnko je presne na juhu, na miestnom poludníku, miesta na východ od nás už poludnie mali a miesta na západ od nás poludnie ešte len budú mať.

Aby aspoň určité územné celky mali jednotný čas, čo je dôležité v doprave a bežnom každodennom behu života, bol zavedený čas *pásmovej*. Pásmovej čas okolo nultého poludníku je čas *svetový* (UT, alebo SC). Na našom území máme čas *stredoeurópsky* (SEČ): SEČ = UT - 1 h. Na letnú sezónu (od marca do októbra) sa v mnohých štátach zavádzá tzv. *letný čas* (LSEČ): LSEČ = UT - 2 h. Miestny čas sa líši od svetového presne o zemepisnú dĺžku daného miesta vyjadrenú v časovej mieri: MČ = UT + lambda (v hod.).

Tento vzťah využívame na určenie zem. dĺžky (lambda). Ak napr. Slnko v danom mieste prechádza cez poludník 19. 9. 1999 o 12h 35m LSEČ a podľa ročenky na nultom poludníku to má byť o 11 h 54m UT, potom:

$$\lambda = 11 \text{ h } 54 \text{ m} - (12 \text{ h } 35 \text{ m} - 2 \text{ h}) = 1 \text{ h } 19 \text{ m} = 19^\circ 45'$$

V našej ročenke je uvedený čas pravého poludnia pre Bratislavu ($\lambda = 17^\circ 1 \text{ h } 08 \text{ m}$): 12 h 46 m LSEČ. Rozdiel dĺžok je 11 m, t.j. $2^\circ 45'$) a dostaneme ten istý výsledok.

Medzi stredným slnečným a hviezdnym časom platí jednoduchý vzťah: $I_h = k \cdot I_s$, kde $k = 366,2422/365,2422 = 1,0027379093$.

I_h je časový interval meraný v hviezdnom čase,

I_s je časový interval meraný v strednom slnečnom čase.

V koeficiente k je skrytá skutočnosť, že za rok vykoná Zem voči hviezdam presne o jednu otočku viac. Predstavme si, že Slnko a nejaká hviezdám prechádzajú v danom dni súčasne cez miestny poludník. Hviezdny deň je interval medzi týmto časom a časom prechodu tej istej hviezdy cez poludník na budúci deň. Slnko je však v čase prechodu hviezdy na druhý deň približne 1° východne, lebo o toľko sa za deň pohla Zem pri svojom obehu okolo Slnka. Pretože $1^\circ = 4 \text{ m}$, o toľko je slnečný deň dlhší ako hviezdny (presnejšie 3 m 56,55 s). Za rok tento rozdiel tvorí presne 1 deň.

Pre výpočet miestneho hviezdnego času pre daný UT (resp. SEČ, alebo LSEČ) potrebujeme ešte vedieť hviezdny čas o 0 h UT. Tento je uvádzaný v ročenkách. Ak napr. chceme vedieť, aký je hviezdny čas o 22 h LSEČ v mieste, kde $\lambda = 20^\circ \text{ E}$, 10. 8. 1999 nájdeme v ročenke pre tento dátum údaj 21 h 12 m 08 s pre 0 h UT. Miestny hviezdny čas (théta) je potom:

$$\theta = 21,20222 + k \cdot (22 - 2) + \lambda \text{ (v hodinách)} =$$

$$= 21,20222 + 20,05476 + 1,33333 = 42,59031 \text{ h.}$$

Ak výsledok je väčší, ako 24 h, odpočítame 24:

$$\theta = 18,59031 = 18 \text{ h } 35 \text{ m } 25 \text{ s.}$$

Znalosť hviezdnego času nám umožní rýchlu orientáciu na oblohe. Ako uvidíme ďalej, v kapitole o súradničach na oblohe, je to súradnica α (rektascencia) hviezd, ktoré sú práve v poludníku. Z pohľadu do hviezdnej mapy zistíme, že takúto súradnicu majú hviezdám súhvězdia Strelca alebo Liry. Rovnaký výsledok dostaneme aj použitím otáčavej mapky hviezdnenej oblohy. Ak sa uspokojíme s presnosťou $\pm 1 \text{ s}$, môžeme na PC zostaviť nasledujúci program (v jazyku qbasic, ktorý je súčasťou DOS):

DEFDBL A-Z

jd0 = 2450814.5: th0 = 6.696275

INPUT "RRRR, m,d ", y, m, d

INPUT "UT h,m,s ", uth,utm,uts:ut=uth+utm/60+uts/3600

INPUT "ZEM. DLZKA st.,min.,s (kladna na E) ", las, lam, lass

la=(las+lam/60+lass/3600)/15

IF m = 1 OR m = 2 THEN y = y - 1: m = m + 12

a = INT(y / 100): b = 2 - a + INT(a / 4)

c = INT(365.25 * y): vd = INT(30.6001 * (m + 1))

```

jd = 1720994.5# + b + c + vd + d:PRINT "JD "; jd
th0 = th0 + (jd - jd0) * 236.5544 / 3600
th=th0+1.0027379093*ut+la
nav:
IF th > 24 THEN th = th - 24: GOTO nav
IF th < 0 THEN th = th + 24: GOTO nav
thh = INT(th): thm = INT(60 * (th - thh))
ths = 3600 * (th - thh) - 60 * thm:a$="theta"
PRINT USING "& ## ## ## ";a$; thh; thm; ths
END

```

Program určí aj tzv. *juliánsky dátum*. Je to vlastne počet dní, ktoré uplynuli od 1.1. 4713 pred našim letopočtom o 12 h UT. V astronómii sa používa napr. na určenie dĺžky intervalu v dňoch medzi dvoma dátumami: kolko dní uplynulo medzi 15. 2. 1939 a 30. 11. 1988? JD(2) - JD(1) = = 2447495,5 - 2429309,5 = 18186 dní.

Zvieratníkové súhvezdia a znamenia, kalendár

Ako vieme z pozorovania, počas roka má Slnko pri prechode poludníkom rôznu výšku, čo spôsobuje striedanie ročných období. Je zapríčinené sklonom rotačnej osi Zeme k normálnej rovine, v ktorej obieha okolo Slnka (ekliptika) o $23^\circ 26'$ (pozri obr.). Pri svojom obehu sa Slnko premieta do rôznych súhvezdi. Už v starovekom Babylone rozdeleni ročný beh Slnka medzi hviezdami do 12 zvieratníkových súhvezdi: Baran, Býk, Blíženci, Rak, Lev, Panna, Váhy, Škorpión, Strelec, Kozorožec, Vodnára a Ryby. Ich znaky sú uvedené na obrázku. Tieto súhvezdia prevzala do svojej výzbroje astrológia, podľa ktorej je pre človeka určujúca pre jeho osud poloha Slnka medzi hviezdami pri jeho narodení.

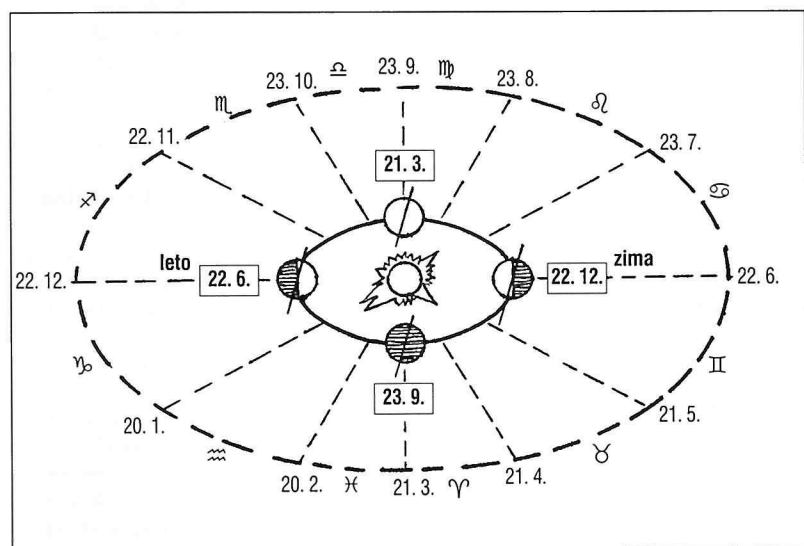
Dnes už následkom *precesie* nie sú totožné zvieratníkové znamenia a súhvezdia. Precesným pohybom sa mení poloha zemskej osi v priestore. Posúva sa po povrchu kužela a jeden obeh trvá 25750 rokov. Pre astrológiu je daný dátum spojený s polohou Slnka v nejakom znamení, pre astronómii v nejakom súhvezdí. V antike boli obidva pojmy totožné, dnes sa líšia následkom precesie cca o 30° . 21. marca Slnko vstupuje do znamenia Barana, zatiaľ čo v tom čase sa nachádza v súhvezdí Rýb.

Podobným problémom je problém kalendára. Snahuje, aby napr. slnovo-vrat pripadal na rovnaký dátum. Ako sme už uviedli v minulom čísle, čas medzi dvomi prechodom Slnka cez jarný bod – tropický rok trvá 365,24220 stredných sln. dní.

Náš kalendár je odvodený z kalendára, ktorý zaviedok Caesar r. 45 pred n.l.: 3 za sebou idúce roky mali 365 dní, štvrtý, priestupný, 366 dní. Stredná dĺžka juliánskeho roku je 365,25 dní. Rozdiel oproti tropickému roku činí 0,0078 dňa, čo spôsobí, že za 128 rokov sa čas slnovratov posunie o 1 deň.

V roku 1582 bol tento rozdiel už 10 dní. Pápež Gregor XIII. nariadił, aby po 4. októbre 1582 nasledoval 15. október a v budúcnosti z celých storočí iba tie boli prestupné, ktorých počet storočí je deliteľný štyrmä. Teda roky 1700, 1800, 1900 nie sú prestupné, roky 1600 a 2000 áno. Stredná dĺžka gregoriánskeho roku je 365,2425 dňa, t.j. rozdiel je 0,0003 dňa. Na 1 deň narastie až za 3000 rokov.

Milan Rybanský



Súhvezdia letnej oblohy

Súhvezdia letnej oblohy môžeme pozorovať nad južným obzorom začiatkom astronomického leta okolo polnoci, teda prakticky hneď po zotmení. Za letné súhvezzia považujeme súhvezzia nachádzajúce sa v oblasti oblohy s rektascenziou od 16 do 22 hodín. Tak, ako aj pri súhvezdiach ostatných ročných období, nezaradujeme sem súhvezzia cirkumpolárne a u nás nevychádzajúce.

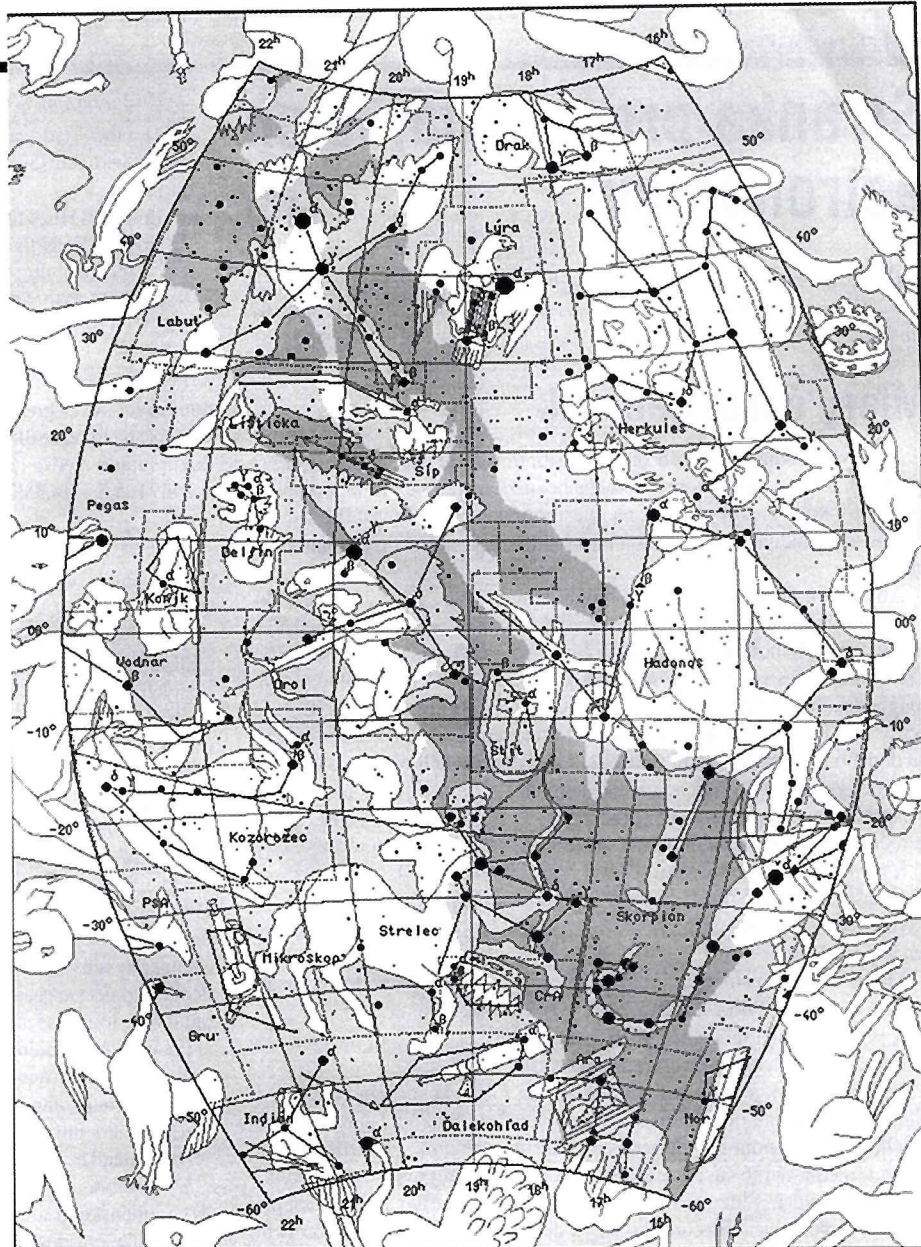
Letná obloha sa vyznačuje množstvom hviezd, pretože touto oblasťou prechádza Mliečna cesta. V dôsledku toho, že stred Galaxie leží tiež v tejto časti oblohy, Mliečna cesta je tu veľmi výrazná. Ekliptika sa na letnej oblohe dostáva najhlbšie pod svetový rovník, lebo Slnko touto časťou oblohy zdanivo prechádza v zime.

Zvieratníkové súhvezdia v tejto časti oblohy sú Škorpión, Strelec a Kozorožec. Ekliptika však prechádza aj súhvezdím Hadonos, ktoré ale nezaradujeme medzi zvieratníkové.

Škorpión (Scorpius, Sco) je podľa mytológie spojený s riekou Eridanus a s tragédiou Faetóna. Faetón bol synom Helia a Klymeny, nebol však nesmrteľný ako jeho otec. Epafos mu naznačil, že Helios nie je jeho otcom. Matka poslala Faetóna za otcom, aby mu dokázal, že to nie je pravda. Helios povedal: „Ty si môj syn, na dôkaz toho ti splním jedno želanie.“ Faetón sa chcel povozíť na jeho zlatom koči s okrídlenými koňmi. Otec Helios vystríhal syna pred takým nebezpečným želaním, ale Faetón stál na svojom. Nasadol do koča a kone sa rozbehli strmhlav po oblohe. Zrazu sa pred nimi zjavil veľký škorpión. Faetón sa zlakol, pustil uzdu a vypadol zo koča dole hlavou. Hesperijské telo Faetóna pochovali na brehu rieky Eridanus. Súhvezzie Škorpión a Eridanus priporúčajú ľudom tragickú smrť Faetóna, ktorý nepočúval rady svojho otca Heliosa. Súhvezdie Eridanus nájdeme na zimnej oblohe a vychádza u nás len svoju časťou.

Súhvezzie **Strelec** (Sagittarius, Sgr) je veľmi bohaté na jasné aj slabé hviezdy, pretože v tomto smere leží stred Galaxie, ktorá tu vytvára husté mraky Mliečnej cesty. V tejto oblasti možno pozorovať množstvo hviezdomok a hmlovín. Podľa mytológie sa súhvezzie spája s kentaurom (polomuž-polokôň) Cheirónom. Ako najmúdrejší zo všetkých kentaurov bol učiteľom všetkých mýtickej hrdinov, ktorí sa preslávili svojimi činmi v bitkách so strašnými obľudami.

Tretie zvieratníkové súhvezzie tejto časti oblohy je **Kozorožec** (Capricornus, Cap). Toto súhvezzie je spájané s Panom – bohom lesov, lovov a pastierov, ktorý mal rohy, capie nohy a dlhé fúzy. Napriek tomu, že mal rád ľudí, ktorí ho zbadal, dostával panický strach. Aj jeho matka od neho utiekla, a preto žil sám v horách Arkádie. Za pomoc pri zápase s otcom Kronosom o vládu nad svetom ho Zeus premenil na súhvezzie.



Podľa súhvezdia Kozorožec je pomenovaný aj obratník, teda rovnobežka na južnej pologuli ohraňujúca oblasť povrchu Zeme, kde ešte Slnko môže prechádzať zenitom. V dobe, keď názov obratníka bol zavedený, Slnko sa počas zimných slnovratov nachádzalo v tomto súhvezdí. Dôsledkom precesie sa v súčasnosti tento bod nachádza v súhvezdí Strelec. Nazývame ho zimný slnovratový (solsticiálny) bod. Je to bod ekliptiky majúci rektascenziu 18 hodín.

Ak by sme v prehliadke letnej oblohy pokračovali na sever od Škorpióna, tak narazíme na rozsiahle súhvezzie **Hadonos** (Ophiuchus, Oph). Súhvezzie je, aj keď nepriamo, nazvané na počesť historickej osobnosti – lekára a architekta Imhotepa, ktorý sa podobal na boha lekárstva Asklepius, syna boha Apolóna. Pod vedením kentaura Cheiróna sa stal Asklepios vzdelaným lekárom, nielenže liečil chorých ľudí, ale aj mŕtvyh vracať medzi živých. Tým si však pohnieval Hádesa (vládcu mŕtvyh duší) a Zeusa, pretože narušil zákon a poriadok na Zemi. Rozhnevaný Zeus ho zabil bleskom v okamihu, keď chcel vzkriesiť polovníka Orliona. Ludia aj Asklepius zaradili medzi bohov

ako boha liečiteľstva a začali ho zobrazovať s čašou, okolo ktorej je ovinnutá zmija. Tento obraz sa stal emblémom farmakológie a pretrval dodnes. Za pomoc, ktorú Asklepios preukazoval ľuďom, ho Zeus premenil na súhvezzie Hadonosa a umiestnil na oblohu.

Asklepiov pomocník – had sa tiež dostal na oblohu.

Had (Serpens, Ser) sa rozprestiera na západ aj na východ od Hadonosa. Západná časť sa nazýva Hlava hada (Serpens Caput) a končí sa na jarnej oblohe pod súhvezdím Severnej koruna. Východná časť súhvezzia predstavuje chvost Hada (Serpens Cauda). V súhvezdí Hada bohyňa Héra zvečnila jednu zo zmijí, ktorú poslala do kolísky Herkula, aby ho zabil. Preto sa Herkules nachádza blízko súhvezdia Hadonosa. Tvárou je obrátený k zmiji a je pripravený ju zaškrtiť.

Súhvezzie **Herkules** (Hercules, Her) leží severne od Hadonosa. Okrem spojitosťi so súhvezdím Had je v bájkach spojený s niekoľkými ďalšími súhvezdiami (Levom, Škorpiónom, Hydrou a inými). Herkules bol synom Alkmény a boha Zeusa. Aby sa stal nesmrteľný, musel 12 rokov slúžiť čárovi Eurysteovi a vykonať

12 hrdinských činov. Zeus svojho milovaného syna za všetky útrapy prežit na zemi premenil na súhvezdie Herkula. Vzhľadom na rozsah tohto článku nie je možné podrobnejšie opísať celú báj. Niektoré z hrdinských činov Herkula sú spomínané v mýtoch súvisiacich s inými súhvezdiami.

Vráťme sa však bližšie k ekliptike. Východne od súhvezdia Hadonosa nájdeme súhvezdie **Orol** (Aquila, Aql). Toto súhvezdie v mytológii súvisí s výraznou skupinkou hviezd ležiacich v Mliečnej ceste severne od Orla. Je to súhvezdie **Šíp** (Sagitta, Sge). Mytológia spája súhvezdie Orla a Šípa s postavou titana Prometheus, veľkého ochrancu ľudí, ktorý im daroval oheň. Naučil ich varíť, obrábať pluhom zem, dobyvať rudu, pretvárať ju na železo a robiť z neho rôzne náradie. Prometheus skrotil divé ovce a kozy a ukázal ľuďom, ako majú využívať mlieko a mäso. Naučil ich liečiť choroby. Za pomáhanie ľuďom Zeus potrestal Prometheus tak, že ho dal prikovať ku skale na dalekom Kaukaze, kde mu orol každý deň vyzobával pečeň, ktorá cez noc dorastala, aby mal orol na druhý deň čo žrať. Kedže Prometheus vedel tajomstvo o Dievej moci, Zeus ho mučil, aby to tajomstvo prezradil. Napriek mukám, ktoré podstúpil, nikdy to nezlomil jeho ducha. Prometheus oslobođil Hercules, ktorý zabil orla svojim šípom a rozobil okovy, ktorími bol pripútaný ku skale. Cez letné noci vidíme na oblohe Hercula, pozorajúceho sa na krvilačného orla, nad ktorým je šíp. Nie je tu súhvezdie Prometheus, na ktorého však ľudia nikdy nezabudli, lebo im daroval oheň.

Iná povest o súhvezdí Šíp hovorí, že je to šíp boha Apolóna, ktorým zabil strašného draka Pytóna.

V okolí súhvezdia Orol nájdeme ďalšie tri

malé súhvezdia. Najvýraznejšie z nich je súhvezdie Delfín, ležiace severovýchodne od súhvezdia Šíp. Východným smerom sa nachádza súhvezdie Koník. Západne od súhvezdia Orol, medzi Orlom a Hadonosom, nájdeme súhvezdie Štíť.

Delfín (Delphinus, Del) na oblohe vytvára zoskupenie hviezd v tvare detského šarkana. Bajka hovorí o bohovi mora Poseidonovi, ktorému sa zapáčila Amfitrita, dcéra morského boha Nerea. Ona sa ale pred ním ukryla do jaskyne pri titanovi Atlantovi. Poseidon dlho nemohol nájsť jej skrýšu, pomohol mu delfín, ktorého za túto službu premenil na súhvezdie a umiestnil na oblohu.

Koník (Equuleus, Equ) je najmenšie súhvezdie oblohy. Koník predstavuje mladšieho brata Pegasa. Kastorovi, ktorý mal rád kone, ho daroval boh Hermes.

Štíť (Scutum, Sct) je pravdepodobne najmenej známe súhvezdie našej oblohy. Toto súhvezzie nemá súvis s mytológiou, zaviedol ho J. Hevelius na počesť poľského kráľa Jána Sobieskeho. Pôvodne sa súhvezzie volalo Štíť Sobieskeho a štyri jasnejšie hviezdy predstavovali jeho štyroch synov.

Smerom na sever od súhvezdia Orol nájdeme ďalšie nevýrazné a málo známe súhvezdie. Je ním **Líštička** (Vulpes, Vul). Toto súhvezzie zaviedol na oblohu J. Hevelius r. 1687. V gréckej mytológii je líška spájaná s postavou Kefala, ktorý oslobođil Téby od divej teumeskéj líšky, pretože Tébania jej museli každý mesiac obetovať jedného chlapca.

Ak sa pohľadom presuvenime ďalej na sever, narazíme na výrazné zoskupenie hviezd v Mliečnej ceste v tvare kríža, ktoré predstavuje súhvezzie **Labuť** (Cygnus, Cyg). Západne od nej určite neprehliadneme skupinku slabších

hviezd s jednou z najjasnejších hviezd oblohy – Vegou. Je to súhvezdie **Lýra** (Lyra, Lyr).

Súhvezdia Lýra a Labuť sú spojené bájkou o legendárnom spevákovi Orfeovi. Orfeus, syn riečneho boha Oiagra a múzy Kalliope, mal výnimočný vzťah k hudbe. Matka ho dala k učiteľovi – múdremu kentaurovi Cheirónovi, ktorý vedel, že sa stane veľkým spevákom, a preto ho učil spievať a hrať na lýre. Ešte kraje spieval a hral po svadbe s Eurydikou, no ich šťastie netrvalo dlho. Eurydiku uštipila do nohy zmaja a zomrela. Orfeus sa vo veľkom žiali vybral do kráľovstva mŕtvych duší, aby mu Hádes vrátil jeho ženu. Vzal si lýru a zahrál na nej tak pekne, že obmákčil srdce Háda, ktorý mu slúbil, že si môže ženu odviesť, ale nesmie sa obzrieť za seba, kým nevyjde na svetlo. Orfeus však nevydržal, obzrel sa a tieň jeho ženy sa rozplynul. Odtedy akoby prestal žiť, no ostal verný svojej žene. Zabili ho trácke ženy, lebo ho považovali za čudáka. Bohovia premenili veľkého speváka na snehobielu labuť a prenesli ho na oblohu. Zlatú lýru Orfea bohovia tiež prenesli na nebo ako súhvezzie Lýra.

Na letnú oblohu zasahuje dosť veľkou časťou aj súhvezdie Vodnáre, ktoré však zaradujeme medzi jesenné súhvezzia. Nad obzor sa počas leta u nás ešte dostávajú aj súhvezdia Mikroskop a Južný kríž. Spomenieme ich v časti o súhvezdiach južnej oblohy.

Výrazným obrazcom letnej oblohy je tzv. letný trojuholník, ktorý je tvorený trojicou najjasnejších hviezd zo súhvezdia Labuť, Lýra a Orol, teda Deneb, Vega a Altair.

Súhvezdia letnej oblohy pozorujeme menej ako súhvezdia iných ročných období, pretože ich pozorovanie časovo obmedzuje krátke letné noci.

Beata Zimníkova /
Peter Zimníkova

Letná škola v Nórsku

Leto sa ešte ani poriadne nezačalo a jedna vynikajúca letná škola sa už skončila. Mala som to šťastie, že som sa na nej mohla zúčasniť. Už sám názov *Prenos žiarenia a žiarivá hydrodynamika* prezrádza, že nešlo o žiadne „leháro“! Škola sa konala v dňoch 1. 6. – 11. 6. 1999 priamo v hlavnom meste Nórskeho kráľovstva, v Osle. Usporiadali ju Inštitút teoretickej astrofyziky Univerzity v Oslo (UIO) v spolupráci s European Solar Magnetometry Network.

V pondelok 31. mája 1999 sa v Inštitúte teoretickej astrofyziky UIO začali schádzat študenti takmer z celého sveta, aby hned v utorok ráno od 8.30 mohli začať nasávať vedomosti z oblasti prenosu žiarenia v hviezdnych atmosférah. Z východnej Európy nás bolo päť a z toho štyri dievčatá. Začali sme úvodom do teórie prenosu žiarenia, prednášal Rob Rutten z Univerzity v Utrechtu. Rozdali nám pomerne hrubé skriptá s učivom a tenučké skriptá s cvičeniami a po prednáškach a obediajšej prestávke, hor sa k pracovným staniciam na blok praktických cvi-

čení. Tu sa vyskytol menší problém, predpokladalo sa totiž, že všetci študenti majú IDL v mašíku...

Na druhý deň Rob pokračoval v aplikáciách prenosu žiarenia a po obebe sa pokračovalo prezentáciou študentov. Vo štvrtok ráno nás privítal Mats Carlsson z Inštitútu teoretickej astrofyziky UIO, s úsmevom na tvári a ďalšími dvoma tiež nie najstenšími skriptami. Reč sa teraz zvrta na numerické metódy v prenose žiarenia a po obebe opäť dostali slovo študenti. (Našlo sa aj zopár komedianov, takže z triedy sa občas ozvýval hlasný smiech.) V piatok ráno nás čakali novúčické skriptá z diagnostiky a spolu s nimi prednášajúci Philip Judge z High Altitude Observatory v Boulderi. Hoci víkend už klopal na dvere, všetci sme poobedňajšie „cviká“ z numerických metod brali poctivo.

V sobotu a nedeľu sme sa (v skupinkách aj jednotlivco) rozbehli do centra Oslo. Myslím, že nikto nevynechal obrovské Frammuseet, v ktorom je návštevníkom sprístupnená Amundsenova loď Fram (Vpred) a nádherná expozícia z jej polárnych výprav. Neobišli sme ani Vikingskipshuset, múzeum, v ktorom sú vystavené štyri vikingeské lode. Najväčší dojem na mňa však urobilo múzeum nórskeho ľudového umenia, Norsk Folkemuseum. Bol to obrovský skansen, v ktorom boli vystavené nórské chalúpky

a domy od stredoveku až po začiatok nášho storočia. Mnohé z nich boli dobovo zariadené a kde-to sme stretli aj sprievodkyne či sprievodcov v tradičných krojoch. Veľkým prekvapením pre mňa však bolo, ked' som v tomto múzeu zistila, že jedným zo starých nórskych jedál sú lokše! Na rozdiel od nás ich jedia suché a bez pečenej husi či kačice.

A po víkende zasa do školy. Pondelok sme strávili ešte nad diagnostikou slnečnej plazmy, ale už od utorka sme sa začali venovať žiarivej hydrodynamike v podaní Johna Castora z Lawrence Livermore Laboratories. Dva týždne ubehli ako voda a nadišiel čas rozlúčky. V piatok poobede (cvičenia boli výnimočne skratene na polovicu!) sme sa zišli v triede, aby sme podakovali vyučujúcim a rozlúčili sa. Všetci študenti dostali diplom, ktorý potvrdil, že sme úspešne absolvovali túto školu.

Letná škola mala naozaj vysokú úroveň, len škoda, že učíva bolo tak veľa a času tak málo. Niekoľko som mala pocit, že fólie na meotare sa menia rýchlosťou svetla. Ešteže mi ostalo tých päť kľ výborných skript... Zistila som, že takéto letné školy sú najmä pre našich študentov vynikajúcim možnosťou, ako získať nové kontakty a skúsenosti, ktoré im niekedy naše pracoviská (nie ich vinou) bohužiaľ, nemôžu poskytnúť.

Alena Kulínová

Testovanie teleskopov MEADE v Sobotišti

Po návštive akcií „ZMAS – Modrová 97“, a MARS Partizánske 98 som bol zavedavý na pozorovateľňu v Sobotišti, o ktorej som dosiaľ iba počul a čítal. Keďže máme k dispozícii na vyskúšanie výborný 8" teleskop Schmidt-Cassegrain Meade LX 10 a 3,5" Maksutov-Cassegrain ETX, taktiež od výrobcu Meade, dohodli sme sa s pánom Štefečkom o spoločnom pozorovaní v Sobotišti 19. júna.

Odchádzali sme z Bratislavы za slnečného polojasného dňa s nádejami vidieť (aspoň chvíľami) peknú tmavú, mestským svetlom značky Siemens neprejasenú nočnú oblohu nad Sobotištom. Žiaľ, priateľia meteorológovia nám „nezabezpečili“ jasné oblohu. Tmavá obloha sice bola – ale od mračkov.

Tak sme smutní poskladali a rozložili teleskopy v spoločenskej miestnosti pozorovateľne tak, aby sme aspoň „nasucho“ cez okno ešte za dňa porovnali ostrosť obrazu teleskopov Meade. Pri Super-Plössl 31,8 mm širokouhlých okulároch teleskopov LX 10 a ETX sa striedali predsedia SZAA pán Štefeček, finančník klubu pán Potúček a ďalších asi 16 prítomných nadšencov pozorovateľov. Účastníci stretnutia mali možnosť aspoň v ruke držať (keď nie vyskúšať) také špeciality, ako „off-axis guider“, úzkopásmový hmlový filter O-III a H na oblasť 460 až 525 nm, štvorfarebné filtre, mesačný neutrálny filter, fókálnu redukciu a ďalšie špeciálne príslušenstvo Meade.

Bonbónikom stretnutia mohlo byť praktické skúšanie kvality CCD kamery Meade Pictor 208 XT v spojení s 8" Schmidt Cassegrainom na deep-sky objektoch nočnej oblohy v Sobotišti. Počasie nás však donutilo obmedziť testovanie CCD kamery iba na cca 1,5 km vzdialenosť stôžiaru vysokého napäťia. Napriek tomuto handicapu však účastníkov zaujali ukážky spolupráce Pictora LX 208 s notebookom, spôsob operácií s CCD kamerou ako postup chladenia čipu CCD, kalibrácia, histogram, zaostrovanie, „flat-field a dark-frame“ snímky, protokol o snímku a ďalšie zvláštnosti.

Škodou večera zostala zamračená obloha, ktorá znemožnila vidieť hviezdy nad Sobotištom. Hádam opäť nabudúce v Sobotišti, ale dúfajme, že bude počasie viac priať týmto skúškam teleskopov Meade na MARSe v Partizánskom medzi 12. a 18. júlom tohto roku.

František Závodský

PREDÁM astronomický super teleskop Ritchey-Chrétien 265/2700 v optickom, sklo uzávretom tubuse dĺžky 73 cm, na duralovej parafaktickej montáži s elektr. hodinovým pohonom (bronz. silimák). Duralový výtaž so sklapacím flip-mirror zrkadielkom pre pohotovú fotografiu. Hladáčik 8 x 50. Váha 30 kg. Cena 29 500 Sk, tel.: 07/434 22 320.

KÚPIM ďalekohľad Somet binar 25x100. fero1@pobox.sk, tel.: 07-444 50 902.

PREDÁM vojenský triéder s vláknovým krízom. Cena 700 Sk. Martin Mančuška, Žerotínova bašta 17, 940 56 Nové Zámky, tel.: 0817/400 137.

KÚPIM Encyklopédium astronómie a časopisy Kozmos – ročníky 1994 až 1997 a Říše hvězd – ročníky 1994 až 1998. Cena dohodou. Tomáš Vozár, Horovce č. 10, 020 62. Tel.: 0825/469 81 61, volat po 19. hodine.

KÚPIM Encyklopédium astronómie. Cena nerozhoduje. Peter Fidler, Lefantovce 199, 951 45.

PRODÁM Schmidt-Cassegrain Meade LX 10, s doplňujúcim výbavou – deklinačný motor, hľadáček 8x50, polárny hľadáček, Magellan I (navádiaci systém), rosnice, 1 rok starý, malo používaný za 45 000 Kč. Pouze jako celek. Aleš Waksman, U Zahradárskej kolonie 809/2, 142 00, Praha 4-Libuš, E-mail: aw@iol.cz.

PREDÁM: Kvalitný Newton 150/1200, šnekový prevod polárnu os s otvorom, montáž na menší typ ďalekohľadu do 150 mm, el. pohon – vidlicový systém – kvalitný motorový prevod, masívnu prevodovku a rôznu mechaniku. Optika: 2 ks objektívov Poloker 210/415. Ceny dohodou. Cyril Hodas, Rosina 174, 013 22 Žilina.

CO z Hale-Bopp odhaluje pôvod kométi

Keď sa kométa Hale-Bopp priblížila k Slnku na vzdialenosť asi 1 AU, jej emisia CO sa vyrovnanala monožstvu CO, ktoré za deň vyprodukuje 5,5 miliardy áut.

Výsledky spektroskopických meraní CO z NASA pomôžu astronómom zistiť, kde sa Hale-Bopp, ale aj iné kométy sformovali. Ak porovnáme množstvo vodného ľadu a CO v kométe, nedávne pozorovania nasvedčujú tomu, že sa vytvorila v oblasti medzi Jupiterom a Neptúnom.

„Kométy sú pre nás veľmi dôležité, pretože sú zamrznutými pozostatkami z čias formovania našej slnečnej sústavy a ich štúdiom sa môžeme dozvedieť vela o tom, ako sme sa sem dostali,“ hovorí Dr. DiSanti z Catholic University a Goddard Space Flight Center, Greenbelt, Md. „Pozorovania Hale-Bopp naznačujú, že kométy nachádzajúce sa v Oortovom oblaku boli pôvodne časťou dávneho proto-planetárneho disku slnečnej sústavy. Dlhú sa uvažovalo, že kométy pravdepodobne vznikali v chladnom, hustom mraku plynu a prachu, ktorý existoval ešte predtým, ako sa sformoval proto-planetárny disk. Ak by bolo tak, pozorovali by sme ovplyvnenú emisiu oxidu uhľnatého z Hale-Bopp. 12 % koncentrácia CO ľadu voči vodnému ľadu, svedčí o tom, že tiež kométy vznikali niekde medzi dráhami Jupitera a Neptúna. Dúfame, že výskum tejto kométy nám pomôže odhaliť aj čo sa diaľo, keď sa formovali obrie planéty.“

Tieto nové výsledky ohlásil tím astronómov z Goddardu, Catholic University of America, Rowan University, Iona College a Notre Dame University. Vedci použili infračervený spektrometer na trojmetrovom ďalekohľade observatória na Mauna Kea na Havajských ostrovoch – NASA Infrared Telescope Facility.

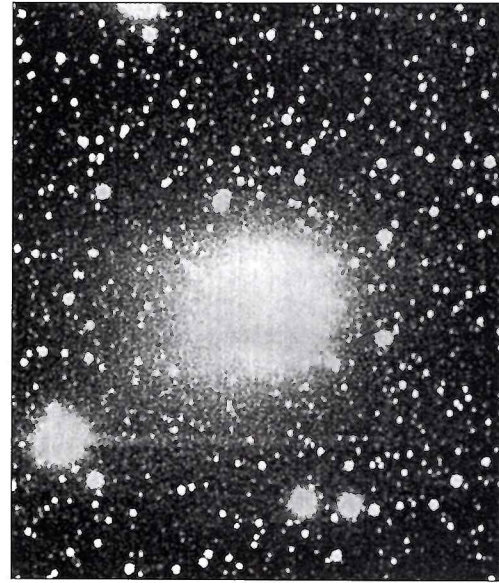
Kométy sú hrudy ľadu a prachu s priemerom niekoľko kilometrov až niekoľko desiatok kilometrov. Proto-planetárny disk bol vďaka žiareniu rodiaceho sa Slnka teplejší ako oblak, z ktorého sa vyvinul. Vdeci preto veria, že kométy, ktoré vznikli v proto-planetárnom disku, budú obsahovať viac vodného ľadu ako zamrznutého CO, pretože voda zamíra pri vyšších teplotách ako CO. Potom, čo sa tieto kométy sformovali, gravitačné sily obričkých planét na periférii našej slnečnej sú-

stavy ich vypudili von, do chladných oblastí na chádzajúcich sa biliónom kilometrov od Slnka, kde vytvorili takmer sférický oblak, nazývaný Oortov oblak. Z času na čas gravitačné poruchy od okolitých hviezd pošľú kométu z tohto oblaku, ako posla z našej minulosti, späť do slnečnej sústavy.

Keď sa kométa priblížila k Slnku, vplyvom slnečného žiarenia (tepla) sa z jej povrchu začne uvoľňovať materiál (vznikne koma); neskôr, vďaka tlaku slnečného žiarenia a vetra, sa vytvorí dobre známy chvost kométy. Molekuly plynu v kome kométy absorbujú slnečné žiarenie, a potom ho opäť vyžiaria. V dôsledku charakteristických spektier rôznych molekúl môžeme zistiť prítomnosť a množstvo oxidu uhľnatého v kométe. Keď sa kométa ešte viac priblíží k Slnku, slnečné žiarenie začne rozbiť rôzne chemické zlúčeniny jej v kome. Takto vznikne ďalší, sekundárny zdroj CO (tzv. distributed source), ktorý zráža určovanie pôvodného CO ľadu prítomného v jadre kométy. Dr. Dello Russo z Catholic University a Goddardu hovorí: „Hale-Bopp bola taká jasná, že sme ju mohli pozorovať ešte dostatočne ďaleko od Slnka, kým sa neaktivoval sekundárny zdroj CO. Boli sme tak schopní merať emisiu CO priamo z jadra kométy a mohli sme určiť pomer CO k vode. Neskôr, keď sa kométa priblížila a boli aktivované oba zdroje, naše merania odhalili charakteristický priestorový podpis sekundárneho zdroja CO.“

„Je tu však ešte jedna skupina komét, ktoré by sa, čo do zloženia, mohli viač podobať chladnému, hustému mraku, z ktorého sa vyvinul disk slnečnej sústavy. Objekty Kuiperovho pásu ležia ďaleko za dráhou Pluta a pravdepodobne sú to pozostatky okrajových oblastí proto-planetárneho disku. Kuiperov pás sa považuje za zásobáreň komét s krátkymi orbitálnymi periódami a nízkymi sklonmi dráh k rovine ekliptiky. Leží ďaleko od Slnka, čiže táto časť disku bola určite menej ovplyvnená žarením mladého Slnka a ľady v objektoch Kuiperovho pásu sa asi viac podobajú tým z pôvodného mraku, z ktorého sa potom sformovala slnečná sústava,“ hovorí Dr. Mumma z Goddardu. „Ďalšie merania môžu tento rozdiel odhaliť.“

Podľa NASA News –ak–



Snímka kométy Hale-Bopp je „sumou“ troch expozícií, ktoré boli pôvodne podkladom pre farebný obrázok. Umelým zvýšením kontrastu sa na nej podarilo odhaliť skutočne veľkú komu, ktorá má priemer nad 3 oblúkové minúty. Vľavo dole je jasná hvieza a jej odraz, ktorý sa pri spracovaní zvýraznil. Zdroj ESO. (Pozri 3. str. ob.)



Kométa Hale-Bopp: ešte vždy obrovská

Ešte i dnes, dva roky potom, ako kométa Hale-Bopp preletela blízko Zeme a po oblete Slnka sa čoraz rýchlejšie vzdáluje k aféliu, je táto obryňa medzi kométami pozorovateľná pozemskými prístrojami. 3,5 metrový New Technology Telescope (NTT) na La Silla (ESO) získal v polovici júna tri snímky tejto komety zo vzdialenosťi 1295 miliónov kilometrov (8,66 AJ), teda nedaleko obežnej dráhy Saturna. Jasnosť vzdáľujúcej sa komety odhadli vedci na 12,5 magnitúdy, čo je 400-krát nižšia hodnota, ako tá, ktorú ešte môžeme rozlísiť voľným okom.

Na fotografii, poskladanej z troch snímkov, naexponovaných cez tri rozličné filtre, vidite, vzhľadom na vzdialenosť od Slnka, neobyčajne veľkú komu komety Hale-Bopp. Priemer viditeľnej časti komy dosahuje 1,1 milióna kilometrov, je teda desaťkrát väčšia ako Saturn! Nikdy doteraz neobola objavená kométa, ktorá by mala v takej veľkej vzdialenosťi takú obrovskú komu.

Pozorovatelia dokázali rozlísiť na komu dokonca aj malé štruktúry; nepodarilo sa však zaznamenať ani jeden výtrysk. Komu tvorí zväčša prach, uvoľnený z jadra komety počas týždňov najväčšieho priblíženia k Slnku. Vedci predpokladajú, že prach sa z jadra tejto obrovskej komety (priemer sa

odhaduje na 40 až 70 km) ešte vždy uvoľňuje, pričom do okolitého priestoru ho vynáša energia tryskajúcich plynov, na ktoré sa menia obnažené, aj pod slabnúcimi lúčmi Slnka ešte vždy rozmaďajúce ľady plynov, najmä CO a CO₂. Objem materiálu, dodávaného do komy však postupne klesá.

Najväčší priemer dosiahla koma komety Hale-Bopp začiatkom roka 1997, v blízkosti Slnka: vtedy ho odhadli na 2 až 3 milióny kilometrov. Komu iných komét iba zriedka mávajú priemer väčší ako niekoľko stotisíc kilometrov. Vedci zatiaľ nevedia, či mimoriadne veľká koma Hale-Bopp súvisí s mimoriadnou veľkosťou jej jadra. Veľkosť jadra väčšiny komét nepresahuje priemer niekoľkých kilometrov. Časť vedcov sa prikláňa k názoru, že väčší objem uvoľneného materiálu súvisí s nepomerne väčšou plochou povrchu jadra; iní upozorňujú aj na možnosť, že by nezvyklá aktivita jadra mohla byť podmienená aj väčším objemom exotických ľadov v obnažovanom povrchu.

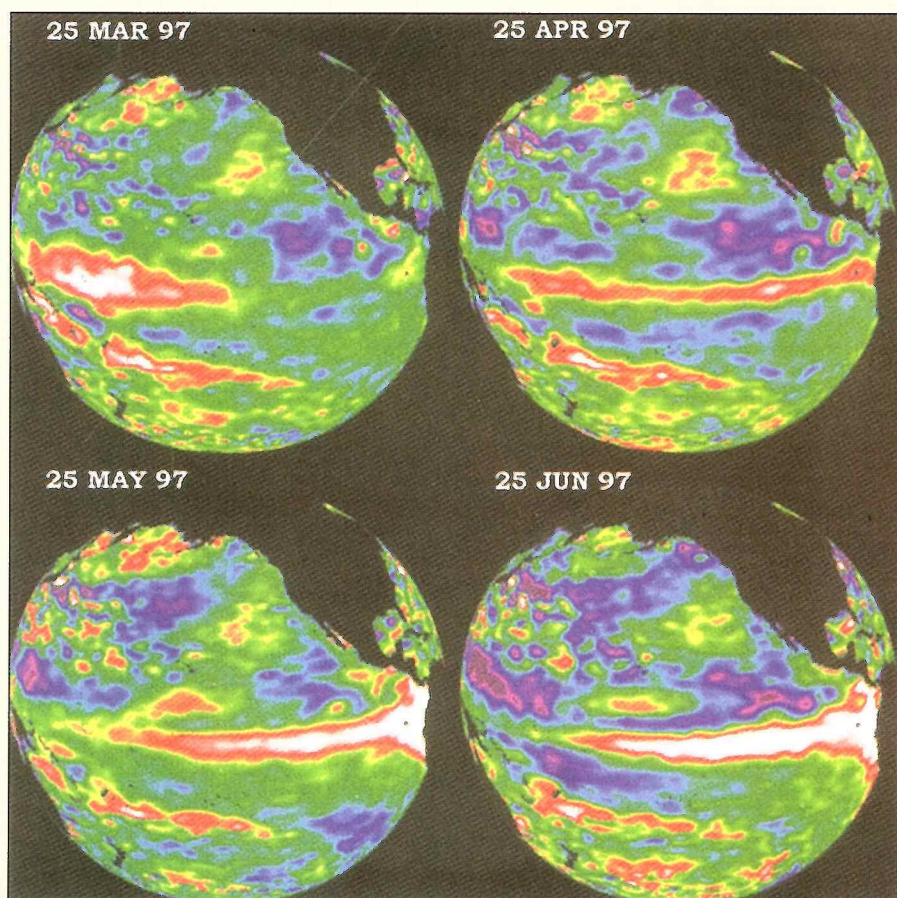
O niekoľko rokov však jadro nadobro zamrzne, pretože slabučké svetlo Slnka nedokáže „prebudí“ ani ľady s najnižšou teplotou topenia. Vtedy veľké pozemské teleskopy, NTT a VLT po prvýkrát nasnímajú aj komou nezahalené jadro komety Hale-Bopp.

Teleskopy ESO sledujú Hale-Bopp už niekoľko rokov, od chvíle jej objavy, až po dnes. V auguste 1998 sa podarilo detegovať metanol a kyanid vodíka v rekordnej vzdialnosti. Emisie molekúl týchto látok sú však momentálne príliš slabé na to, aby sa dali detegovať. Ďalšie pozorovania sú však v plnom prúde.

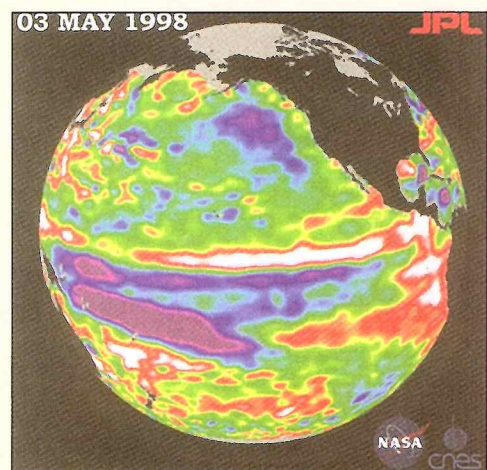
Podľa ESO Press Release –eg-

Obrázky k článku o fenoméne El Niño

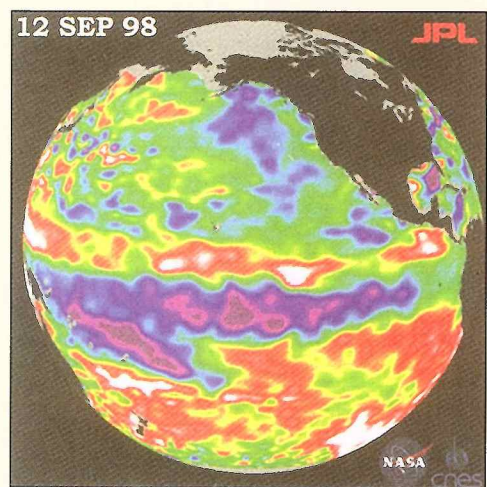
(strany 27–28)



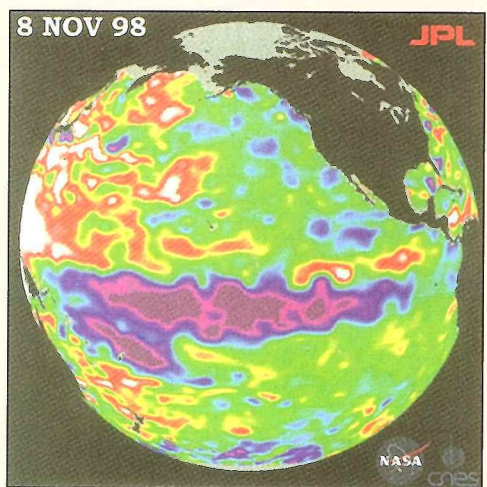
Obr.4



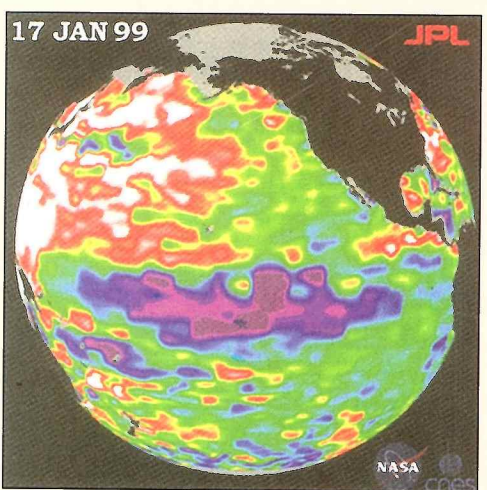
Obr.6



Obr.7



Obr. 8



Obr. 9